

QE
727
B25s
1852
v.1
plates
II





fQE
727
B253
1852
v. 1
plates
IZ

62

SYSTÈME SILURIEN

du

CENTRE DE LA BOHÈME

par

JOACHIM BARRANDE,

Ancien élève de l'école Polytechnique, Ancien sous-précepteur de Monsieur le Comte de Chambord, Membre correspondant de l'Académie Impériale des sciences de Vienne, membre de la Société géologique de France, de la Société Royale des sciences de Prague, du Musée Bohême, du Lotos, etc.

*C'est ce que j'ai vu.
Le témoin au juge.*

I^{ère}. Partie: Recherches Paléontologiques.

Vol. I. Planches.

Crustacés: Trilobites.

N^o La suite des Recherches paléontologiques occupera le Vol. II. et une partie du Vol. III.

1852.

Chez l'auteur et éditeur

à Prague,	à Paris,
Kleinseite Nr. 419 Chatekgasse.	Rue Mézière Nr. 6 Faubg. St. Germain.

Observation.

Tous les Trilobites de M. Hawle, ancien Capitaine du Cercle de Beraun, étant réunis à notre collection, avant la publication de ce volume, les seuls exemplaires qui ne soient pas en notre possession, parmi ceux qui sont figurés sur nos planches, sont ceux qui sont indiqués comme appartenant au Musée Bohême, ou à la collection de Mr. le conseiller aulique. Chev. de Sacher-Masoch, à Prague.

Nomenclature.

Fig. 1. *Dalmanites Haussmanni*. Brongn. sp.

La tête occupe toute la surface placée au dessus de la ligne **K P S1 S1 P K**.
Le thorax est compris entre les lignes **S1 S1** et **S2 S2** prolongées sur toute la largeur du corps.

Le pygidium est la partie située au dessous de la direction **S2 S2** prolongée.

La trilobation est marquée par les deux lignes **S1 S1 S2 S3** qui, de chaque côté, indiquent les sillons dorsaux, déterminant entr'eux l'axe du corps. En dehors de chacune de ces lignes, à droite et à gauche, sont les lobes latéraux, de la tête, du thorax et du pygidium.

Eléments de la tête.

Le contour extérieur est formé par la ligne **K L A A L K**.

- ab. ab.** Limbe.
- a. a.** bourrelet du limbe.
- b. b.** rainure du limbe.

Le contour intérieur est tracé par la ligne **K P S1 S1 P K**.

Le glabellé est comprise entre les sillons dorsaux **S1 S1**—**S1 S1** qui se réunissent devant le front **f f**.

Sillons de la glabellé.

- 1. 1. Sillons antérieurs.
 - 2. 2. Sillons moyens.
 - 3. 3. Sillons postérieurs.
 - 4. Sillon occipital.
- i i i.** Impressions auxiliaires ou fossettes. } latéraux.

Lobes de la glabellé.

- f f.** 1. 1. Lobe frontal.
 - c1—c1.** Lobes antérieurs.
 - c2—c2.** Lobes moyens.
 - c3—c3.** Lobes postérieurs.
 - e e.** Anneau occipital.
- o. 6. 7. 8. 9.** Grande suture dont le sommet (9. 9.) occupe la station frontale.

La joue fixe est la surface comprise entre le sillon dorsal **S1 S1** la grande suture et le bord postérieur **S1 P K**, de chaque côté de la tête.

- 5. 5. Sillon postérieur de la joue.
- h h.** Bord postérieur de la joue.
- h k.** Pointe génale.
- 6. 8. 7.** Lobe palpébral.
- o.** Centre de figure de l'oeil, ou du lobe palpébral.

Les joues mobiles, dans cette espèce, sont unies au front par le limbe frontal **a b**. Chacune occupe la surface située en dehors et au dessus de la grande suture.

- 6. 7. 8. **d.** Surface visuelle de l'oeil.
- A.** Projection antérieure) du
- L.** . . . latérale } centre
- P.** . . . postérieure) de l'œil

Eléments du thorax.

L'axe est compris entre les sillons dorsaux **S1 S2**—**S1 S2**.

- t. m. m. t.** Segment du thorax.
- m. m.** Anneau de l'axe.

- o. o.** Rainure ou gorge de l'anneau.
- n.** Genou articulaire de l'anneau.

Les lignes **x. y. x. y.** divisent la plèvre en deux parties.

- V. x. p. y.** Partie interne
 - x. y. t.** Partie externe ou talus
 - V. x.** Δ . Bande antérieure
 - u.** Rainure ou sillon
 - r. y. t.** Bande postérieure
 - Δ . Biseau ou facettes
 - t.** Pointe.
- } de la Plèvre.

Eléments du Pygidium.

L'axe est compris entre les sillons dorsaux **S2. S3.**—**S2 S3**

- m. m.** Anneau de l'axe.
- o. o.** Rainure entre les anneaux.
- S2. Δ .** Demi-côte articulaire.
- Δ .** Biseau ou facettes.
- v. x.** Côte divisée suivant sa longueur, par le sillon sutural.
- u. u.** Rainure ou sillon intercostal.
- z.** Appendice axial, rudimentaire.
- l. l. l. l.** Limbe du contour.

La ligne longitudinale **x. x. S3.** sépare le lobe latéral en deux parties: l'une interne presque horizontale, et l'autre externe plus ou moins inclinée, ou **Talus**.

Fig. 2. (*Même espèce.*) Section longitudinale suivant l'axe du corps.

- | | | |
|--------------------------------------|------------------------------|-----------------------------------|
| a. b. Limbe frontal. | d. H. Hypostôme. | e. Anneau occipital. |
| a. Bourrelet du limbe. | X. Cavité céphalique. | m. m. m. Anneaux de l'axe. |
| b. Rainure du limbe. | G. Glabellé. | |
| a. d. Doublure sous-frontale. | 4. Sillon occipital. | |

Fig. 3. (*Même espèce.*) Section de quelques anneaux de l'axe, fortement grossis.

- | | | |
|------------------------------|----------------------------------|---------------------------------|
| n. Genou articulaire. | m. Anneau proprement dit. | d. Doublure de l'anneau. |
| o. Gorge ou rainure. | | |

Fig. 4. (*Même espèce.*) Tête vue en dessous.

- | | | |
|--|--|---|
| K. d. d. d. K. Doublure sous-frontale des joues et des pointes génales. | a. d. a. b. enfoncement dans la doublure sous-frontale. | o. Corps central. |
| a. b. a. Suture hypostomale. | m. Section de la pointe génale. | i. i. Impressions musculaires. |
| | a. n. a. Hypostôme. | c. e. Bords latéraux. |
| | e. e. Ailes. | n. Bord buccal, orné de pointes. |

Fig. 5. (*Même espèce.*) Pygidium vu du côté intérieur.

- | | | |
|--------------------------------------|------------------------------|--|
| d. d. d. d. Doublure du test. | n. Genou articulaire. | |
|--------------------------------------|------------------------------|--|

Fig. 6. (*Même espèce.*) Section transversale du Pygidium. (Fig. 5)

- | | | |
|----------------------------|------------------------------|-----------------------------|
| m. m. Axe. | x. t. Talus. | d. Doublure du test. |
| m. t. Lobe latéral. | x. m. Partie interne. | |

Fig. 7. *Proectus Bohemicus*. Corda.

<i>Elémens de la tête.</i>		i. i. i. Impressions auxiliaires ou fossettes.	h. h. Bord postérieur (de la
D. A. A. D. Contour extérieur.		f. 1. 1. f. Lobe frontal.	5. 5. Silillon postérieur (joue fixe.
D. D. Contour intérieur.		c1. c1. Lobes antérieurs.	ω. d. α. Joue mobile.
a. a. Bourrelet du limbe.		c2. c2. Lobes moyens.	O. Centre de figure de l'oeil.
b. b. Rainure du limbe.		c3. c3. Lobes postérieurs.	A. Projection antérieure (du centre
S. S1. Silillons dorsaux, déterminant la glabellule.		n. c. e. n. Anneau occipital.	L. Projection latérale. (de
1. 1. Silillons antérieurs.		n. n. Nodules de l'anneau occipital.	P. Projection postérieure) l'oeil.
2. 2. Silillons moyens.		ω. 6. 7. 8. α. Branche faciale de la grande suture.	D. D. Angle général, portant une pointe rudimentaire.
3. 3. Silillons postérieurs.			

Fig. 8. (*Même espèce.*) Section longitudinale de la tête, suivant l'axe.

a. b. Limbe frontal.	a. d. Doublure sous-frontale.	G. Glabellule.
a. Bourrelet du limbe.	d. H. Hypostôme.	4. Joue occipital.
b. Rainure du limbe.	X. Cavité céphalique.	e. Anneau occipital.

Fig. 9. *Eroneus palifer*. Beyrich.

<i>Elémens de la tête.</i>		4. 4. Silillon occipital.	5. Silillon postérieur de la joue fixe.
D. A. A. D. Contour extérieur.		f. 1. 1. f. Lobe frontal.	ω. D. α. Joue mobile.
D. D. Contour intérieur.		c1. c1. Lobes antérieurs.	A. Projection antérieure. (du centre
S. S1. Silillons dorsaux, déterminant la glabellule.		c2. c2. Lobes moyens.	L. Projection latérale. (de
1. 1. Silillons antérieurs.		c3. c3. Lobes postérieurs.	P. Projection postérieure) l'oeil.
2. 2. Silillons moyens.		c. e. Anneau occipital.	D. D. Angle général, aigu.
3. 3. Silillons postérieurs.		ω. 6. 7. 8. α. Branche faciale de la grande suture.	

Fig. 10. (*Même espèce.*) Tête vue en dessous.

a. q. α. Sommet rostral de la grande suture.	a. a. α. α. Doublure sous-frontale.	O. Corps central.
a. b. a. Suture hypostomale.	d. d. Doublure de la joue mobile.	i. i. Impressions musculaires.
αa—αa. Sutures jumelles de jonction.	a. b. a. n. Hypostôme.	c. c. Bords latéraux.
	e. e. Ailes.	n. Bord buccal.

Fig. 11. *Asaphus platycephalus*. Stokes. (*Isotelus gigas*). Dekay.

<i>Tête vue en dessous.</i>		o. f. f. Hypostôme fourchu.	d. d. Doublure du test céphalique.
c. b. Suture médiane de jonction.		o. Corps central.	D. D. Angles généraux.
a. b. a. Suture hypostomale.		f. f. Branches de la fourche.	

Fig. 12. *Acidaspis Prévostii*. Barr.

<i>Pygidium.</i>		A. A. Pointes principales.	c. c. c. c. Pointes secondaires externes.
n. Genou articulaire de l'axe.		b. b. b. b. Pointes secondaires internes.	
e. e. Bourrelets du premier segment.			

Fig. 13. *Phacops Sternbergi*. Corda.

<i>Elémens d'un segment thoracique, suivant le type de la plèvre à silillon.</i>		m. q. m. Anneau de l'axe.	x. y. t. Partie externe ou talus.
		m. m. Nodules de l'anneau, très-peu prononcés.	y. y. Δ. Bande antérieure (de la
n. n. Genou articulaire.		v. r. t. Plèvre à silillon.	r. y. t. Bande postérieure (de la
o. o. Rainure de l'anneau.		v. x. y. r. Partie interne de la plèvre.	u. Silillon ou rainure (de plèvre
			Δ. Biseau ou fossette.)

Fig. 14. *Le même segment vu du côté interne.*

n. n. Genou articulaire.	v. r. t. Plèvre.	n. Silillon.
o. o. Gorge ou rainure.	v. x. Bande antérieure.	d. Doublure de la plèvre.
m. q. m. Anneau de l'axe.	r. y. Bande postérieure.	

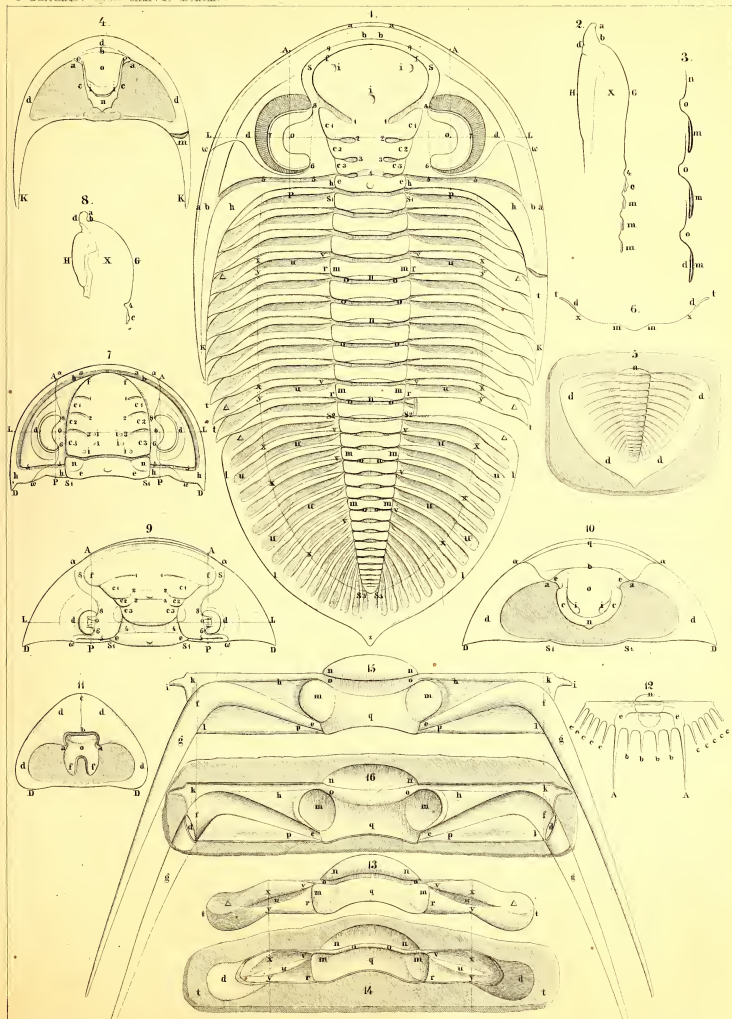
Fig. 15. *Acidaspis Buchi*. Barr.

<i>Elémens d'un segment thoracique, suivant le type de la plèvre à bourrelet.</i>		m. m. Extrémités de l'anneau, projetées en avant et enfilées en nodule.	p. i. Bande postérieure.
		h. i. g. p. Plèvre à bourrelet.	c. f. Bourrelet principal de la plèvre.
n. n. Genou articulaire.		h. k. i. p. Partie interne de la plèvre.	f. g. Pointe principale de la plèvre.
o. o. Gorge ou rainure.		k. i. g. Partie externe.	i. Pointe secondaire à l'extrémité du bourrelet secondaire de la bande antérieure.
m. q. m. Anneau de l'axe.		h. k. Bande antérieure.	

Fig. 16. *Le même segment vu du côté interne.*

Les mêmes élémens sont indiqués par les mêmes lettres que dans la figure précédente, en y ajoutant:

d. d. Section de la pointe principale.



Les planches 2A — 2B et 3 sont destinées à montrer le cours des diverses sutures observées sur l'enveloppe céphalique des Trilobites, dans les genres qui sont l'objet de nos études. Ces planches doivent faciliter l'intelligence du chapitre consacré aux sutures, et que nous prions le lecteur de vouloir bien consulter. (p. 113.) Les divers genres sont disposés sur les planches, suivant l'ordre et les groupes établis sur le tableau ci-dessus. (p. 126.) — Nous avons indiqué la forme et l'étendue de la doublure du test céphalique, dans les têtes vues en dessous.

NB. Les notations A. L. D. P. S. a. o. correspondent à celles de la Pl. 1.

Le sommet de la grande suture occupe sa station I, ou station faciale, dans les genres suivants.

Fig.

Groupe I.**Remopleurides radians.** Barr.

1. Tête vue en dessus. La grande suture contourne la glabella.
2. Même tête vue en dessous, montrant l'hypostôme en place et la doublure du test.

Groupe II.**Nileus armadillo.** Dalm.

3. Tête vue en dessus.
4. Même tête vue en dessous, montrant l'hypostôme en place, d'après Angelin. (*Pal. Succ. I*)

Symphysurus palpebrosus. Dalm. sp.

5. Tête vue en dessus.

Homalonotus Bekayi. Cord. sp.

6. Tête vue en dessus.
7. Tête vue en dessous, montrant les sutures jumelles de jonction et la doublure du test.

Encrinurus punctatus. Emmerich.

8. Tête vue en dessus, d'après un exemplaire provenant de Dudley et portant de longues pointes génales.

Cromus intercostatus. Barr.

9. Tête vue en dessus.

Phacops fecundus. Barr.

10. Tête vue en dessus.
11. Tête vue en dessous, montrant l'hypostôme en place et la doublure du test.

Phacops Volborthi. Barr.

12. Tête vue en dessus.

Dalmanites Hausmanni. Brongn. sp.

13. Tête vue en dessus.
14. Tête vue en dessous, montrant l'hypostôme en place et la doublure du test.

Dalmanites socialis. Barr.

15. Tête vue en dessus.
16. Tête vue en dessous, montrant l'hypostôme en place et la doublure du test.

Fig.

Groupe III.**Asaphus expansus.**

17. Tête vue en dessus.
18. Tête vue en dessous, montrant l'hypostôme en place, la suture de jonction médiane et la doublure du test.

Asaphus nobilis. Barr.

19. Tête vue en dessus. Le sommet de la grande suture, sous la forme d'une ogive, atteint le bord frontal.

Asaphus extenuatus. Wahl. sp.

20. Tête vue en dessus, d'après Angelin. (*Pal. Succ. I*) La forme ogivale de la grande suture devient très-aigüe.

Asaphus platycephalus. Stokes.

21. Tête vue en dessus. Le sommet de la grande suture est extrêmement rapproché du bord frontal, sur une très-grande étendue.
22. Tête vue en dessous, montrant l'hypostôme en place, la suture de jonction médiane, et la doublure du test.

Asaphus tyrannus. Murch.

23. Tête vue en dessus. Le sommet de la grande suture occupe la station II, ou *station marginale*.

Ogygia dilatata. Brönn. sp.

24. Tête vue en dessous. Le sommet de la grande suture occupe la station I, ou *station faciale*. (*Sars. Isis*)

Ogygia Buchi. Brongn. sp.

25. Tête vue en dessus. La grande suture occupe sa station II ou *station marginale*. (*Salter Dec. 2*)
26. Tête vue en dessous, montrant l'hypostôme en place, d'après Salter. (*Dec. 2*) Les sutures jumelles de jonction et la doublure du test, sont indiquées selon les apparences les plus vraisemblables.

Cheirurus gibbus. Beyr.

27. Tête vue de côté, montrant une des sutures jumelles de jonction, et le cours de la grande suture.
28. Tête vue en dessous, montrant l'hypostôme en place, les sutures de jonction et la doublure du test.

NB. *Cheirurus claviger*, qui appartient à ce groupe, se trouve sur la planche suivante 2B. fig. 1.

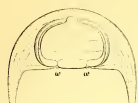

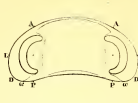




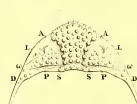
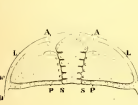


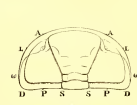








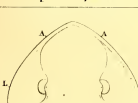

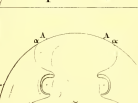

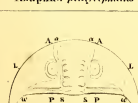

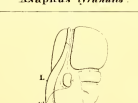
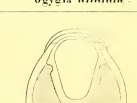
1  <i>Remopleurides radicans.</i>	2  <i>Remopleurides radicans.</i>	3  <i>Nileus armadillo.</i>	4  <i>Nileus armadillo.</i>
5  <i>Symphysurus palpebrosus.</i>	6  <i>Homalonotus DeKayi.</i>	7  <i>Homalonotus DeKayi.</i>	8  <i>Encrinurus punctatus.</i>
9  <i>Cromus interstutus.</i>	10  <i>Phacops fecundus.</i>	11  <i>Phacops fecundus.</i>	12  <i>Phacops Teilhardi.</i>
13  <i>Dalmanites Honamanni.</i>	14  <i>Dalmanites Honamanni.</i>	15  <i>Dalmanites succata.</i>	16  <i>Dalmanites socialis.</i>
17  <i>Asaphus espinosus.</i>	18  <i>Asaphus espinosus.</i>	19  <i>Asaphus nobilis.</i>	20  <i>Asaphus attenuatus.</i>
21  <i>Asaphus platycephalus.</i>	22  <i>Asaphus platycephalus.</i>	23  <i>Asaphus tyrannus.</i>	24  <i>Ogygia dilatata.</i>
25  <i>Ogygia Buchi.</i>	26  <i>Ogygia Buchi.</i>	27  <i>Cheirurus gibbus.</i>	28  <i>Cheirurus gibbus.</i>

Fig.

Nia. Les notations: A. L. D. P. S. α . ω . correspondent à celles de la planche 1.

Cheirurus claviger. Beyr.

1. Tête vue en dessus, montrant le limbe frontal entre la glabelle et le sommet de la grande suture, qui occupe la station marginale. — Cette espèce appartient

au même groupe que *Cheirurus gibbus*, qui se trouve sur la planche précédente, 2A fig. 28.

Le sommet de la grande suture occupe sa station II, ou station marginale, dans les genres suivants.

Groupe IV.

Paradoxides Bohemicus. Boeck. sp.

2. Tête vue en dessus, montrant les branches faciales de la grande suture.
3. Tête vue en dessous, montrant l'hypostôme en place et la doublure du test.

Deiphon Forbesi. Barr.

4. Tête vue de côté, montrant le cours de la grande suture et l'une des sutures jumelles de jonction.

Ampyx Rouaulti. Barr.

5. Tête vue en dessus, montrant les branches faciales de la grande suture.

Ampyx nasutus. Dalm.

6. Tête vue en dessous, montrant le sommet de la grande suture, dans sa station marginale.

Acidaspis mira. Barr.

7. Tête vue en dessus. Les branches faciales de la grande suture sont inclinées à environ 45°, par rapport à l'axe.

Acidaspis Hoernesii. Barr.

8. Tête vue en dessus. Les branches de la grande suture sont presque parallèles à l'axe depuis le bord frontal jusqu'à l'oeil.

Acidaspis crenata. Emmr.

9. Tête vue en dessous, montrant les sutures jumelles de jonction.

Groupe V.

Trinucleus ornatus. Sternb. sp.

10. Tête vue en dessus. La grande suture est tracée sur l'arête du limbe, dans toute son étendue et elle n'apparaît qu'à l'angle géral, en passant du contour externe au bord interne de la tête.

Dionide formosa. Barr.

11. Tête vue en dessus. La grande suture suit le même cours que dans *Trinucleus ornatus*.

Harpes ungula. Sternb. sp.

12. Tête vue de côté. La grande suture court sur l'arête du limbe dont elle contourne la pointe, sans apparaître sur la surface supérieure.

Le sommet de la grande suture occupe sa station III, ou station rostrale, dans les genres suivants.

Groupe VI.

Bronteus campanifer. Beyr.

13. Tête vue en dessus.
14. Tête vue en dessous, montrant le sommet de la grande suture dans sa station rostrale, les sutures jumelles de jonction, l'hypostôme et la doublure du test.

Proetus Bohemicus. Cord.

15. Tête vue en dessus.
16. Tête vue en dessous, montrant le sommet rostral de la grande suture, les sutures jumelles de jonction et la doublure du test.

Cyphaspis Burmeisteri. Barr.

17. Tête vue en dessus.

Cyphaspis elegantula. Angel. sp. Proet.

18. Tête vue en dessous, montrant le sommet rostral de la grande suture, les sutures jumelles de jonction etc.

Illaenus Bouchardi. Barr.

19. Tête vue en dessus.
20. Tête vue en dessous, montrant le sommet rostral de la grande suture, les sutures jumelles de jonction et la doublure du test.

Arionellus ceticephalus. Barr.

21. Tête vue en dessus.

Ellipsocephalus Hoffi. Schlot. sp.

22. Tête vue en dessus.

Conocephalites Sulzeri. Schlot. sp.

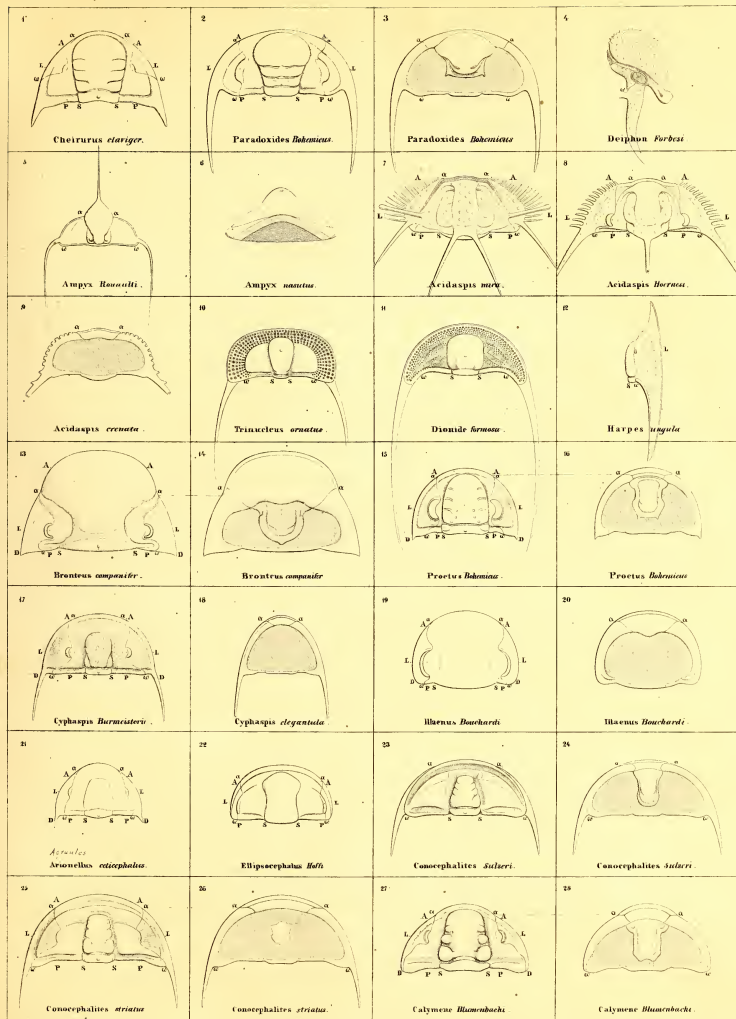
23. Tête vue en dessus. Les branches faciales de la grande suture se maintiennent sur le bord géral.
24. Tête vue en dessous, montrant le sommet rostral de la grande suture, les sutures jumelles de jonction, l'hypostôme en place et la doublure du test.

Conocephalites striatus. Emmr.

25. Tête vue en dessus.
26. Tête vue en dessous, montrant le sommet rostral de la grande suture, les sutures jumelles de jonction, l'hypostôme en place et la doublure du test.

Calymene Blumenbachi. Brongn.

27. Tête vue en dessus.
28. Tête vue en dessous, montrant le sommet rostral de la grande suture, les sutures jumelles de jonction, l'hypostôme et la doublure du test. (*Hypostôme d'après J. W. Salter.*)



Nos. Les Notations **A. L. D. P. S.** *α. ω.* correspondent à celles de la Pl. 1.

Fig.

Zethus bellatulus. Dalm. sp.

1. Tête vue en dessus. (*d'après Volborth. Russ. Tritob.*)

La station du sommet de la grande suture est inconnue dans les genres suivants.

Groupe VII.

Hydrocephalus carens. Barr.

4. Tête vue dessus; les joues mobiles manquent.

Lichas scabra. Beyr.

5. Tête vu en dessus.

Sao hirsuta. Barr.

6. Tête vue en dessus.

Olenus gibbosus. Wahl. sp.

7. Tête vue en dessus.

Olenus (Pell.) scurabaoides. Wahl. sp.

8. Tête vue en dessus.

Fig.

Amphion Fischeri. Eichw. sp.

2. Tête vue en dessus.
3. Tête vue en dessous, montrant l'hypostôme en place.

Triarthrus Becki. Green.

9. Tête vue en dessous. Les joues mobiles manquent.

Phillipsia globoiceps. Phill. sp.

10. Tête vue en dessus.

Arethusina Konincki. Barr.

11. Tête vue en dessus.

Aeglina rediviva. Barr.

12. Tête vue en dessous.

Sphaerexochus mirus. Beyr.

13. Tête vue de côté.

Stauropcephalus Murchisoni. Barr.

14. Tête vue de côté.

Formes principales des yeux des Trilobites.

15. a. 1^{re} Type. Section verticale, grossie, d'un œil de *Phacops* ou de *Dalmanites*. Les lentilles percent à travers la cornée opaque. Nous avons indiqué les prismes, qui paraissent correspondre à chaque lentille. (p. 135.)

15. b. 2^{me} Type. Section verticale grossie, de l'œil d'un *Asaphus*. Les lentilles sont couvertes par une cornée générale, qui n'est point percée par elles, mais seulement soulevée ou bosselée. Ces lentilles sont toujours plus petites que dans le 1^{er} type. La figure indique les prismes qui correspondent à chacune d'elles.

Yeux conformés suivant le 1^{er} type.

Forme conoïde tronquée. (p. 141.)

16. a. Œil de *Phacops latifrons*, grossi.
16. b. 3 séries verticales de lentilles. Dans la partie supérieure de la figure, les lentilles ont conservé tout leur relief, tandis que dans la partie inférieure, il ne reste que leur noyau. On voit l'encadrement hexagonal.

16. c. Section verticale de l'œil, suivant l'une des rangées de lentilles.

17. a. Œil de *Phacops fecundus*. Var. *major*. Age adulte très-développé. Les lentilles sont bien conservées.

17. b. 3 rangées verticales de lentilles. La cornée, dans les intervalles entre les lentilles, est fortement enflée.

17. c. Section verticale suivant l'une des rangées de lentilles, dont le relief est égalé par celui de la cornée. (p. 514.)

18. a. Œil de *Dalmanites Hausmanni* (p. 538. Pl. 24). Les lentilles sont bien conservées.

18. b. 3 rangées verticales de lentilles. Chacune de celles-ci est entourée de 6 grains disposés en hexagone.

18. c. Section verticale suivant une des rangées de lentilles.

19. a. Œil de *Dalmanites socialis*. (p. 552. Pl. 26.) Les lentilles ont été dissoutes et on ne voit que les cupules sur lesquelles elles reposaient, au sommet des prismes.

19. b. 3 rangées verticales de cupules vides.

19. c. Section verticale, montrant le relief des cupules.

Yeux conformés suivant le 2^{me} type.

Forme panoramique.

20. a. Œil de *Acidaspis Verneului* (p. 710. Pl. 38.) grossi, vu du côté externe et montrant la plus grande face de la paroi visuelle.

20. b. Le même œil vu du côté interne et montrant la petite face de la paroi visuelle. La base de l'œil et le lobe palpébral sont ornés de tubercules.

20. c. Quelques rangées de lentilles.

20. d. Section verticale, suivant une rangée de lentilles.

Forme annuloïde.

21. a. Œil de *Iliaenus tauricornis*, vu par derrière.

21. b. Le même œil, vu par le front. Ces deux figures sont empruntées au mémoire du Prof. *Kutorga*.

22. a. Œil de *Bronteus Brongiarti*. (p. 866. Pl. 46.)

22. b. rangées courbes de lentilles.

22. c. Section verticale suivant une rangée de lentilles.

Forme ovoïde sessile.

23. a. Œil de *Acidaspis Leonhardi*, vu du côté externe, c. à d. montrant la paroi réticulée. (p. 720. Pl. 37.)

23. b. id. côté interne, ou lobe palpébral.

23. c. rangées courbes de lentilles.

23. d. Section verticale suivant une rangée de lentilles.

Forme ovoïde pédonculée.

24. a. Œil de *Acidaspis mira*, (p. 735. Pl. 39.) vu par la face externe et inférieure, c. à d. montrant la paroi réticulée.

24. b. Le même œil, vu de profil et par derrière, montrant le lobe palpébral et la branche faciale de la grande suture, qui le contourne.

Forme aplatie.

25. a. Tête de *Aeglina rediviva* (p. 665. Pl. 34) vue de côté et montrant l'œil en face.

25. b. Section verticale de l'œil, suivant une des rangées de lentilles.

26. a. Tête de *Phacops Volborthi* (p. 524. Pl. 23) vue de côté et montrant l'œil noyé dans le test.

26. b. Section verticale suivant une des rangées de lentilles.

Nota. L'œil de *Phacops Volborthi* est conformé, sous le rapport de sa structure, suivant le 1^{er} type.

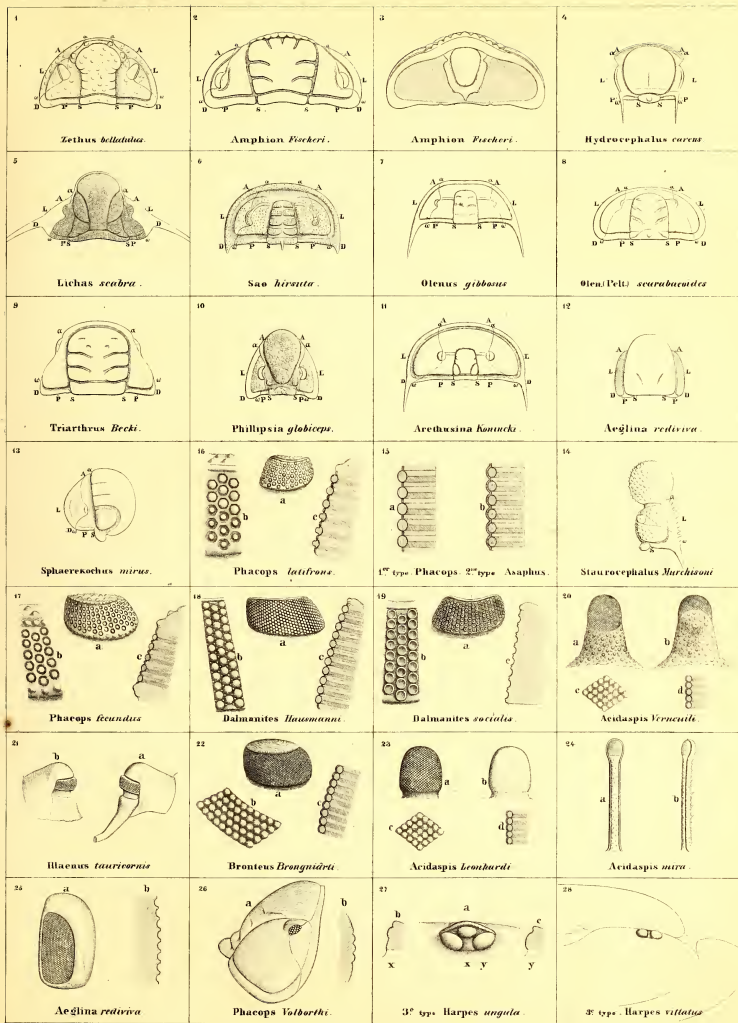
Yeux conformés suivant le 3^{me} type.

27. a. Œil de *Harpes unguata*, (p. 347. Pl. 8-9) composé de 3 stemmates.

27. b. Section verticale par le milieu du stemmate supérieur.

27. c. Section verticale à travers l'un des stemmates inférieurs.

28. Œil de *Harpes vittatus*, (p. 349. Pl. 9) composé de deux stemmates.





Types génériques de la plèvre à sillon.

(Suite Pl. 5) (voir le texte p. 176.)

Les planches 4 et 5 exposent la série des segmens thoraciques qui caractérisent tous les genres ayant la plèvre à sillon. Ces genres sont disposés suivant l'ordre établi dans le tableau de la classification. (p. 340) Pour chacun d'eux, nous figurons les segmens d'une ou de plusieurs espèces, afin de montrer les principales diversités de forme, entre les limites d'un même type générique. Comme exemple de l'extrême variété qui existe, sous ce rapport, entre les espèces d'un même genre, nous avons représenté les segmens de 9 *Paradoxides* de Bohême. En comparant cette série de segmens le lecteur remarquera, que dans la plupart des cas, ces éléments primitifs du corps pourraient seuls suffire pour distinguer l'une de l'autre les espèces congénères.

Nous figurons pour chaque espèce deux segmens consécutifs, afin de faire voir leurs rapports de position. Ils sont pris vers le milieu du thorax, dans un individu étendu.

La fig. **a.** montre les deux segmens vus par le dos. Sur la plèvre droite, nous avons figuré le test, lorsqu'il nous est connu, et dans le cas contraire, son empreinte intérieure sur la roche. Sur la plèvre gauche, nous montrons, vers le bout, l'empreinte de la doublure du test, lorsque nous avons pu distinguer clairement son étendue sur le

moule. Dans ce cas, la figure suppose qu'on a enlevé sur cette extrémité, non seulement le test, mais encore sa doublure et la roche moulée dans le vide qui les sépare dans certaines espèces. — Les chiffres placés à gauche de la fig. **a.** indiquent le rang des deux segmens figurés, à partir de la tête du Trilobite. Le chiffre situé à droite, et enfoncé entre des crochets exprime le rapport entre la figure et les dimensions observées. L'absence de ce dernier chiffre indique la grandeur naturelle. La fig. **b.** est la section d'un segment par le milieu, dans le sens perpendiculaire à l'axe du corps. L'étendue de la doublure y est marquée, quand elle est connue.

La fig. **c.** représente la section médiane des deux anneaux de l'axe, dans le sens de la longueur du corps. Bien que ces anneaux soient réellement en contact dans la nature, afin qu'on puisse mieux apercevoir leur forme sur une petite échelle, nous avons laissé un léger intervalle entre la doublure de l'anneau recouvrant et le genou articulaire de l'anneau recouvert. Le test a été figuré par un trait noir, sous lequel la roche est indiquée par une teinte plate.

La fig. **d.** montre la section des deux plèvres, suivant la ligne tracée sur la figure **a.**

Fig.	Genres et espèces	Axe et plèvre droite	Plèvre gauche	Page	Planche
1	<i>Harpes unguata</i> . Stern. sp.	Test conservé.	Test—impression de la doublure.	347	8. 9.
2	<i>Remopleurides radians</i> . Barr.	Test conservé.	Impression de la doublure.	359	43.
3	<i>Paradoxides Bohemicus</i> . Boeck. sp.	Moule interne.	Moule int. — impr. de la doublure.	367	10.
4	<i>Paradoxides spinosus</i> . Boeck. sp.	id. id.	id. id.	370	11. 12. 13.
5	<i>Paradoxides rotundatus</i> . Barr.	id. id.	id. id.	371	14.
6	<i>Paradoxides Lyellii</i> . Barr.	id. id.	id. id.	—	8.
7	<i>Paradoxides imperialis</i> . Barr.	id. id.	id. id.	373	13.
8	<i>Paradoxides Sacheri</i> . Barr.	id. id.	id. id.	369	9.
9	<i>Paradoxides rugulosus</i> . Cord.	id. id.	id. id.	374	9. 13.
10	<i>Paradoxides orphanus</i> . Barr.	id. id.	id. id.	373	13.
11	<i>Hydrocephalus carens</i> . Barr.	id. id.	id. id.	377	49.
12	<i>Suo hirsuta</i> . Barr.	id. id.	id. impr. de la doublure.	384	7.
13	<i>Arionellus ceticephalus</i> . Barr.	Test transformé en oxide de fer.	id. id.	405	10.
14	<i>Ellipsiocephalus Hoffi</i> . Schlöt. sp.	Moule interne.	id. id.		
15	<i>Olenus gibbosus</i> . Wahl. sp.	id. id.	id. Ces figures étant faites d'après des segmens isolés, sur des fragmens de schiste noir aluminifère d'Andrarum, il peut rester un doute sur l'espèce.		
16	<i>Olen. (Peltura) scarabeoides</i> . Wahl. sp.	id. id.	id. impr. de la doublure.	419	13. 14. 26.
17	<i>Triarthrus Becki</i> . Green.	id. id.	id.	452	16.
18	<i>Conceptualites Sulzeri</i> . Schlöt. sp.	id. id.	id. impr. de la doublure.	438	15.
19	<i>Proetus Bohemicus</i> . Cord.	Test conservé.	Test conservé.	471	17.
20	<i>Proetus sculptus</i> . Barr.	id. id.	id.	—	—
21	<i>Proetus (Phact.) Archiaci</i> . Barr.	id. id.	id.	—	—
22	<i>Phillipsia globiceps</i> . Phill. sp.	id. exemplaire de Visé en Belgique (de Koninek).	id.	—	—
23	<i>Phillipsia Derbyensis</i> . Mart. sp.	id. (nouve observation).	Moule interne.	—	—
24	<i>Paradoxides inflatus</i> . Cord.	Moule interne.	id.	372	13.

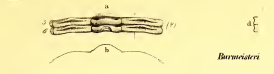
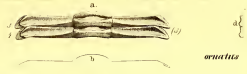
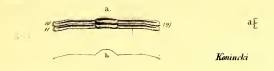
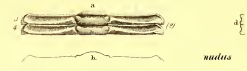

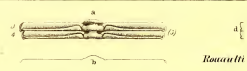

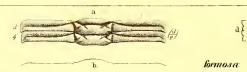

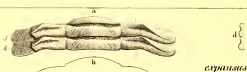
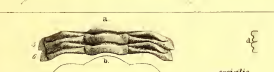
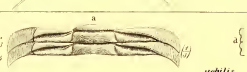





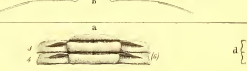

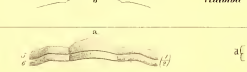



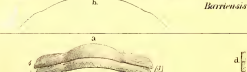
1.		<i>angula</i>	13.		<i>atropalata</i>
2.		<i>rudolphi</i>	14.		<i>Hoffi</i>
3.		<i>Bohemicus</i>	15.		<i>gibbosus</i>
4.		<i>spinatus</i>	16.		<i>axarbovici</i>
5.		<i>rotundifolia</i>	17.		<i>Bocki</i>
6.		<i>Lyelli</i>	18.		<i>Sulzeri</i>
7.		<i>imperialis</i>	19.		<i>Bohemicus</i>
8.		<i>Sachsi</i>	20.		<i>sculptus</i>
9.		<i>regularis</i>	21.		<i>Archieri</i>
10.		<i>asphatus</i>	22.		<i>gibbosa</i>
11.		<i>ovatus</i>	23.		<i>Debeyensis</i>
12.		<i>hirata</i>	24.		<i>inflatus</i>

Types génériques de la plèvre à sillon.

(suite) (voir le texte p. 167.)

Le lecteur est prié de consulter l'explication de la Pl. 4, où nous avons donné toutes les indications générales, nécessaires pour l'intelligence des figures relatives aux segments caractéristiques.

Fig.	Genres et espèces.		Axe et plèvre droite	Plèvre gauche	Page	Planche.
1	<i>Cyphaspis</i>	<i>Burmeisteri.</i> Barr.	Test conservé	Test conservé. — Impr ^o de la doublure.	484	18.
2	<i>Arethusina</i>	<i>Konincki</i> Barr.	id.	id. id.	495	18.
3	<i>Harpides</i>	<i>hospes.</i> Beyr.	(<i>Documens incomplets.</i> Beyr.)	(<i>Documens incomplets.</i>)	—	—
4	<i>Phacops</i>	<i>Sternbergi.</i> Cord.	Test conservé.	Test conservé. — Impr ^o de la doublure.	510	20.
5	<i>Dalmanites</i>	<i>Hausmanni.</i> Brongn. sp.	id.	id. id.	538	23. 24.
6	<i>Dalm.</i>	<i>socialis.</i> Barr.	Moule interne.	Moule interne — id.	552	26. 27.
7	<i>Dalm.</i>	<i>Phillipsi.</i> Barr.	id.	id. id.	557	22. 26.
8	<i>Catymene</i>	<i>Blumenbachi.</i> Brongn.	Test conservé.	Test conservé. id.	566	19.
9	<i>Catym.</i>	<i>Baylei.</i> Barr.	id.	id. id.	573	19. 43.
10	<i>Homatonot.</i>	<i>delphinocephalus.</i> Green sp.	id. (<i>exemplaire de Lockport en Amérique.</i> — de Verneuil)	id. id.	—	—
11	<i>Lichas</i>	<i>scabra.</i> Beyr.	Test conservé.	id. impr ^o de la doublure.	596	28.
12	<i>Lich.</i>	<i>palmata.</i> Barr.	id.	id. id.	599	28.
13	<i>Trinucleus</i>	<i>ornatus</i> Sternb. sp.	id.	id. id.	624	29. 30.
14	<i>Ampyx</i>	<i>nudus.</i> Murch. sp.	Moules. (<i>Angleterre</i> — Salter.)	moules id.	—	—
15	<i>Amp.</i>	<i>Rouaulti.</i> Barr.	Test conservé.	Test conservé. id.	638	30.
16	<i>Dionide</i>	<i>formosa.</i> Barr.	Moule interne.	moule interne	641	42.
17	<i>Asaphus</i>	<i>expansus.</i> Wabl. sp.	Test conservé (<i>exempl. de Suède</i> — Marklin.)	Test conservé — Impr ^o de la doublure.	—	—
18	<i>As.</i>	<i>nobilis.</i> Barr.	Moule interne.	moule int. id.	657	31. 32. 35.
19	<i>Symphysurus</i>	<i>palpebrosus.</i> Dalm. sp.	Test conservé.	Test conservé.	—	—
20	<i>Ogygia</i>	<i>Buchi.</i> Brongn. sp.	Moule interne (<i>exempl. d'Angleterre</i> — Salter.)	moule int. Impr ^o de la doublure.	—	—
21	<i>Ægiua</i>	<i>rediviva.</i> Barr.	id.	id. id.	665	34.
22	<i>Iliaenus</i>	<i>crassicauda.</i> Wahl. sp.	Test conservé. (<i>exempl. de Suède</i> — Marklin.)	Test conservé.	—	—
23	<i>Iliaen.</i> (Bum.)	<i>Barriensis.</i> Murch. sp.	id. (<i>fragmens de Dudley Angl.</i> Fletcher.)	id. id.	—	—
24	<i>Nileus</i>	<i>armadillo.</i> Dalm.	id. (<i>exempl. de Suède.</i> Marklin.)	id. id.	—	—

1 Cypripis  <i>Bismarcki</i>	13 Tenuiculus  <i>ornatus</i>
2 Archiasius  <i>Krauski</i>	14 Amplex  <i>nudus</i>
3 Harpisus  <i>harpes</i>	15 Amplex  <i>Krauski</i>
4 Phaeops  <i>Stenbergi</i>	16 Dacorde  <i>formosa</i>
5 Dahmania  <i>Bismarcki</i>	17 Asaphus  <i>cristatus</i>
6 Dahmania  <i>sociata</i>	18 Asaphus  <i>robustus</i>
7 Dahmania  <i>Pillipsi</i>	19 Symplysius  <i>pallidus</i>
8 Calymene  <i>Blumenbachi</i>	20 Oggia  <i>Baehki</i>
9 Calymene  <i>Berlii</i>	21 Argluna  <i>velutina</i>
20 Homalonus  <i>delphinophylus</i>	22 Ilbenus  <i>crassicauda</i>
11 Lichas  <i>schuberi</i>	23 Ilbenus  <i>Bismarcki</i>
22 Lichas  <i>palmata</i>	24 Nileus  <i>armatilla</i>

Types générique de la plèvre à bourrelet.

(voir le texte p. 167)




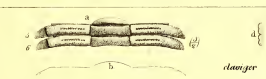









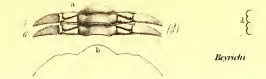
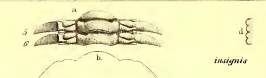




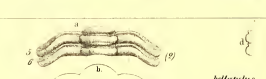



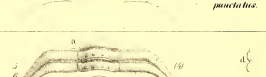


Le lecteur est prié de consulter l'explication de la Pl. 4, où nous avons donné toutes les indications générales, nécessaires pour l'intelligence des figures relatives aux segments caractéristiques.

Nous donnons pour chaque genre le segment d'une ou de plusieurs espèces, afin de faire connaître les principales diversités de forme, entre les limites d'un même type générique. Comme exemple de l'extrême variété qui peut exister parmi les espèces congénères, nous avons figuré les

segments de 13 *Cheirurus*, dont 12 de Bohême et 1 de Russie. Nous les avons disposés de manière à présenter la série continue des modifications que subit la plèvre dans ce genre, entre les deux limites extrêmes: *Cheir. claviger* et *Cheir. gibbus*. Comparer le texte (p. 760). —

Les genres: *Zethus*, *Amphion*, *Encriurus* et *Cromus* ne nous étant connus que par des matériaux très-incomplets, doivent être considérés comme classés provisoirement dans la catégorie de la plèvre à bourrelet.

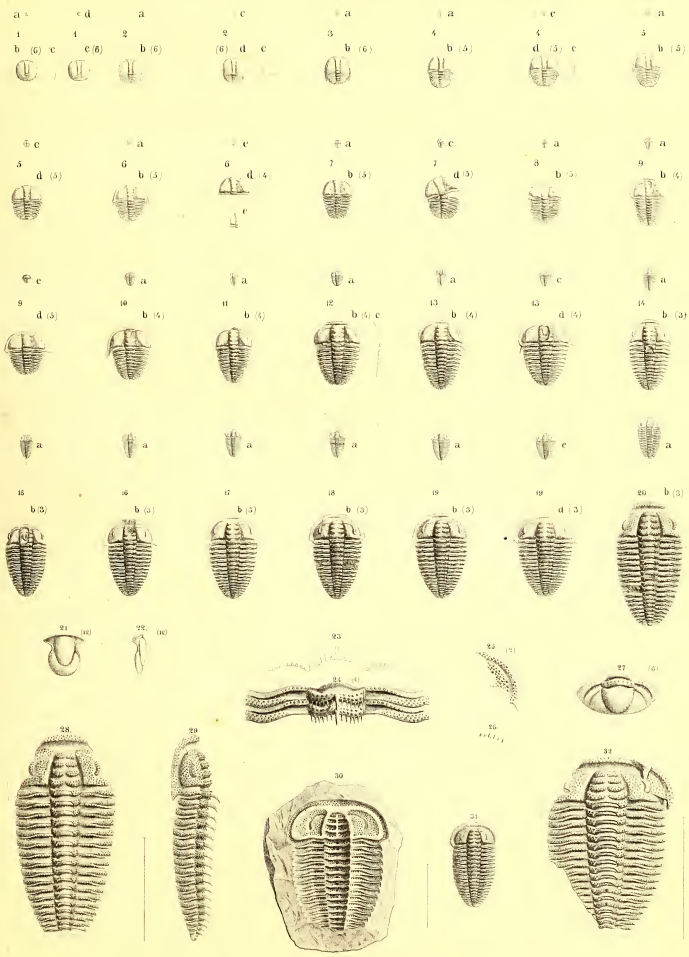
FIG.	Genres et espèces		Axe et plèvre droite	Plèvre gauche	Page	Planche
1	<i>Acidaspis Hoernesii</i> .	Barr.	Test conservé.	Test conservé.	723	38.
2	<i>Acid. Verneuili</i> .	Barr.	id.	id.	710	38.
3	<i>Acid. mira</i> .	Barr.	id.	id.	735	39.
4	<i>Cheirurus claviger</i> .	Beyr.	Moule interne.	Moule interne. Impression de la doublure.	772	40. 42.
5	<i>Cheir. scuticauda</i> .	Barr.	id.	id. id.	781	40.
6	<i>Cheir. tumescens</i> .	Barr.	id.	id. id.	779	40.
7	<i>Cheir. globosus</i> .	Barr.	id.	id. id.	776	35. 40.
8	<i>Cheir. Sembützki</i> .	Eichw. sp.	Test conservé.	id. id.	760	—
9	<i>Cheir. obtusatus</i> .	Cord.	id.	id. id.	786	41.
10	<i>Cheir. pauper</i> .	Barr.	id.	id. id.	799	41.
11	<i>Cheir. Quenstedti</i> .	Barr.	id.	id. id.	790	40. 42.
12	<i>Cheir. Hauckei</i> .	Barr.	id.	id. id.	787	42.
13	<i>Cheir. Sternbergi</i> .	Boeck. sp.	id.	id. id.	795	41.
14	<i>Cheir. Beyrichi</i> .	Barr.	id.	id. id.	789	42.
15	<i>Cheir. insignis</i> .	Beyr.	id.	id. id.	782	41.
16	<i>Cheir. gibbus</i> .	Beyr.	id.	id. id.	792	40. 41. 42.
17	<i>Placoparia Zippeli</i> .	Boeck sp.	Moule interne.	moule interne. Impr? de la doublure.	803	29.
18	<i>Sphaerexochus mirus</i> .	Beyr.	Test conservé.	Test conservé. id.	808	42.
19	<i>Stauvocephalus Murchisoni</i> .	Barr.	id.	id. id.	812	43.
20	<i>Zethus bellatulus</i> .	Dalm. sp.	id.	id. id.	817	—
21	<i>Dindymene Haidingeri</i> .	Barr.	id.	id. id.	819	43.
22	<i>Amphion Fischeri</i> .	Eichw. sp.	id.	id. id.	820	—
23	<i>Encriurus punctatus</i> .	Brünn sp.	id.	id. id.	823	—
24	<i>Cromus Beaumonti</i> .	Barr.	id. le biseau de la plèvre est invisible.	id. id.	826	43.
25	<i>Bronteus Brongniarti</i> .	Barr.	id.	id. id.	866	42. 46.
26	<i>Bront. Edwardsi</i> .	Barr.	id.	id. id.	882	42.

1		<i>Acridaspis</i>	<i>Acrididae</i>
2		<i>Acid</i>	<i>Acrididae</i>
3		<i>Acid</i>	<i>Acrididae</i>
4		<i>Cheturus</i>	<i>Acrididae</i>
5		<i>Choir</i>	<i>Acrididae</i>
6		<i>Choir</i>	<i>Acrididae</i>
7		<i>Choir</i>	<i>Acrididae</i>
8		<i>Choir</i>	<i>Acrididae</i>
9		<i>Choir</i>	<i>Acrididae</i>
10		<i>Choir</i>	<i>Acrididae</i>
11		<i>Choir</i>	<i>Acrididae</i>
12		<i>Choir</i>	<i>Acrididae</i>
13		<i>Choir</i>	<i>Acrididae</i>
14		<i>Choir</i>	<i>Acrididae</i>
15		<i>Choir</i>	<i>Acrididae</i>
16		<i>Choir</i>	<i>Acrididae</i>
17		<i>Choir</i>	<i>Acrididae</i>
18		<i>Choir</i>	<i>Acrididae</i>
19		<i>Choir</i>	<i>Acrididae</i>
20		<i>Choir</i>	<i>Acrididae</i>
21		<i>Choir</i>	<i>Acrididae</i>
22		<i>Choir</i>	<i>Acrididae</i>
23		<i>Choir</i>	<i>Acrididae</i>
24		<i>Choir</i>	<i>Acrididae</i>
25		<i>Choir</i>	<i>Acrididae</i>
26		<i>Choir</i>	<i>Acrididae</i>

Sao hirsuta. Barr. p. 384. — Etage C.

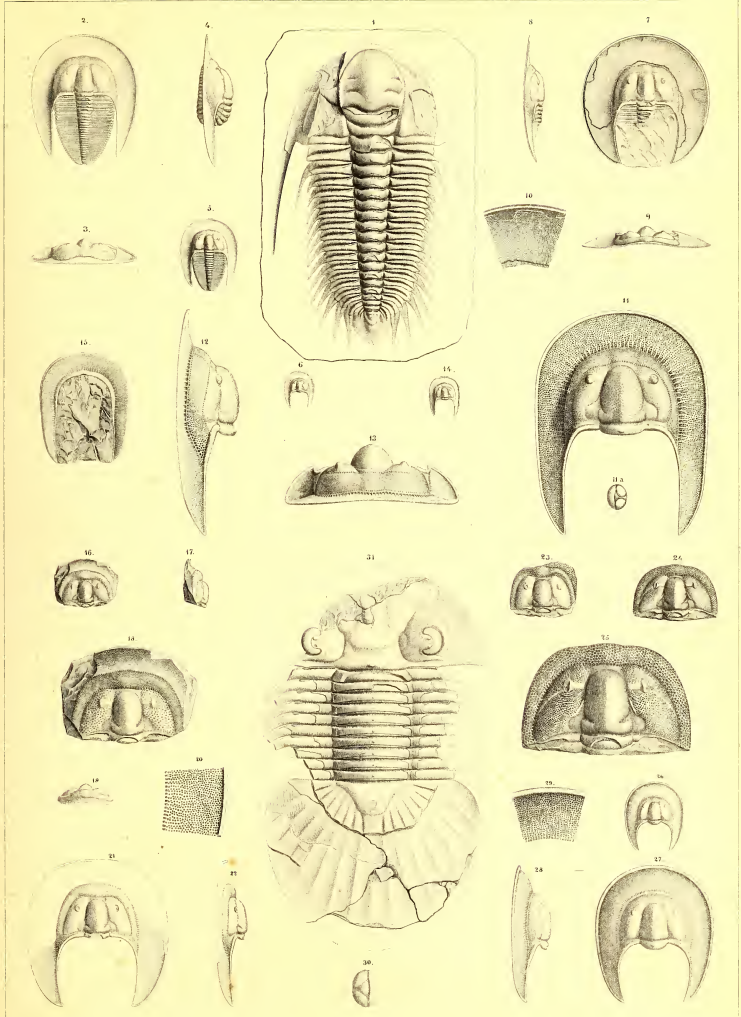
Individus disposés en série, suivant l'âge croissant. — La figure supérieure (a ou c) montre la grandeur naturelle de l'exemplaire représenté avec grossissement dans la figure inférieure correspondante. (b ou d.) Le grossissement est indiqué par le chiffre placé entre deux crochets. Tous les individus proviennent de Skrey.

Fig.	Segmens		Fig.	Segmens	
	libres	soudés		libres	soudés
1^{ère}. Période de développement.					
1. a) 1 ^{er} Degré. Deux individus dont le thorax n'est pas séparé de la tête. Dans d'autres exemplaires non figurés, la glabelle est moins nettement limitée vers l'arrière. c Profil longitudinal.	0	0	17. b 17 ^e Degré. Forme longue.	15	3
2. b 2 ^e Degré. Forme large. — Le thorax est indiqué. d id. forme longue. e id. profil longitudinal.	0	3	18. b 18 ^e Degré. Forme longue. Le nombre des segmens du corps entier est complet.	16	3
3. b 3 ^e Degré. Pointes gēnales et pleurales bien conservées.	0	4 à 5	19. b. 19 ^e Degré. Forme longue. Le nombre des segmens libres ou thoraciques est complet. d id. Forme large.	17	2
4. b 4 ^e Degré. Forme longue. d id. Forme large. e id. Profil longit.	2	2 à 4	2^{ème}. Période de développement.		
5. b 5 ^e Degré. Thorax plus long que la tête. — Forme longue. d id. — Forme large.	3	3	20. 20 ^e Degré. Forme longue. Tous les segmens du thorax et du pygidium sont très-distincts. Il ne manque à l'individu que la taille et les ornemens de l'âge adulte.	17	2
6. b 6 ^e Degré. Forme large. d id. Tête isolée montrant les grains principaux et primitifs. e id. vue de profil.	4	3 à 4	21.) Hypostôme vu de face et de profil. 22.)		
7. b 7 ^e Degré. Forme longue. d id. Forme large.	5	3 à 5	23. Profil d'un segment thoracique suivant sa longueur.		
8. b 8 ^e Degré. Forme large. Apparition du limbe frontal.	6	3 à 4	24. 6 ^e et 7 ^e segmens thoraciques, restaurés avec tous leurs ornemens d'après divers exemplaires.		
9. b 9 ^e Degré. Forme longue. Hypostôme en place d id. Forme large.	7	4	25. Joue mobile, isolée, montrant la pointe gēnale dans un adulte.		
10. b 10 ^e Degré. Forme large. Hypostôme en place.	8	3	26. Quelques tubercules spiniformes de la tête, grossis.		
11. b 11 ^e Degré. Forme longue.	9	3 à 4	27. Pygidium isolé, appartenant à un adulte.		
12. b 12 ^e Degré. Forme large. c id. Profil longitudinal montrant les épines sur le sommet des anneaux de l'axe thoracique.	10	3 à 4	28. Adulte de la plus grande taille, dépourvu des joues mobiles et du pygidium.		
13. b. 13 ^e Degré. Forme longue. Apparition de la granulation gēnērale. d. id. Forme large. Hypostôme en place.)	11	2 à 3	29. id. vu de profil, restauré d'après divers fragmens et montrant tous les ornemens du test.		
14. b 14 ^e Degré. Forme longue.	12	2 à 4	30. Impression ou moule externe d'un individu de forme large, montrant la trace des ornemens.		
15. b 15 ^e Degré. Forme longue.	13	2 à 4	31. Individu de forme longue, n'ayant pas encore acquis tout le développement de sa taille.		
16. b 16 ^e Degré. Forme longue.	14	3	32. Individu de forme large, de la plus grande taille connue.		



M. J. Barr. 1850

- | Fig. | Page—Étage. | Fig. | Page—Étage. |
|--|-------------|---|-------------|
| <p>Paradoxides Lyelli. Barr. . . 917—C</p> <p>1. Exemple presque complet, montrant 16 segmens thoraciques. <i>Ginets.</i></p> <p>Harpes unguia. Sternb. sp.
(voir Pl. 9) . . . 347—E</p> <p>2. Individu étendu, légèrement restauré, montrant 26 segmens thoraciques. <i>Dlauha Hora.</i></p> <p>3. Tête vue de front.</p> <p>4. Individu enroulé. <i>Dlauha Hora.</i></p> <p>5. Jeune individu montrant seulement 24 segmens; l'extrémité du corps est invisible. <i>Dlauha Hora.</i></p> <p>6. Tête isolée, de la plus petite taille connue. <i>Dlauha Hora.</i></p> <p>Harpes Naumanni. Barr. . . 917—E</p> <p>7. Tête et fragment du thorax. <i>Lodenitz.</i></p> <p>8. <i>id.</i> vus de profil.</p> <p>9. Même tête vue de front.</p> <p>10. Fragment du limbe grossi (2) montrant les perforations. Le test a été enlevé le long des bords.</p> <p>Harpes venulosus. Cord.
(voir Pl. 9) . . . 350—^E/_F</p> <p>11. Tête isolée d'un grand individu. <i>Konieprus.</i></p> <p>11. a Oeil droit grossi.</p> <p>12. Même tête vue de profil.</p> <p>13. Même tête vue de front.</p> <p>14. Tête isolée, de la plus petite taille connue. <i>Konieprus.</i></p> <p>15. Impression du limbe isolé, montrant sa paroi inférieure.</p> | | <p>Harpes crassifrons. Barr. . . 354—E</p> <p>16. Fragment de la tête. Sculpture faible.</p> <p>17. <i>id.</i> vu de profil, montrant la forte concavité du limbe.</p> <p>18. <i>id.</i> grossi. (2.) <i>Rochers de Kozel.</i></p> <p>19. <i>id.</i> vu de front.</p> <p>20. Fragment du limbe grossi. (3)</p> <p>21. Fragment montrant la partie postérieure de la tête et du limbe. <i>Collines de Listice.</i></p> <p>22. Fragment. Sculpture moyenne. <i>Kozel.</i></p> <p>23. Fragment. — Sculpture très-forte. <i>Kozel.</i></p> <p>24. <i>id.</i> grossi. (2.)</p> <p>Harpes et Orbignyanus. Barr. 355—G</p> <p>26. Tête isolée. <i>Dvoretz.</i></p> <p>27. <i>id.</i> grossie. (2)</p> <p>28. <i>id.</i> vue de profil.</p> <p>29. Fragment du limbe grossi. (4)</p> <p>30. Oeil gauche, grossi.</p> <p>Bronteus patifer. Beyr.
(voir Pl. 45.) . . . 859—F</p> <p>31. Individu étendu, montrant 10 segmens thoraciques. Dans l'original la tête et le pygidium sont ployés à 90° par rapport au thorax. <i>Konieprus. (Coll. Haute.)</i></p> | |



- | Fig. | Page—Etage. | Fig. | Page—Etage. |
|--|--|---|--|
| <p>Harpes unguata. Stern. sp.
(voir Pl. 8) . . . 347—E</p> | | <p>Harpes reticulatus. Cord. . . 353—F</p> | |
| 1. | Individu grossi (2) et légèrement restauré, montrant 26 segmens thoraciques. <i>Dlanha Hora.</i> | 20. | Tête isolée, adulte. <i>Maenian.</i> |
| 2. | <i>id.</i> vu de profil. | 21. | <i>id.</i> vue de profil. |
| 3. | Individu enroulé vu en dessous. <i>Dlanha Hora.</i> | 22. | Fragment du limbe grossi (2). |
| 4. | Oeil gauche grossi. | 23.) | Tête d'un jeune individu, <i>Maenian.</i> |
| 5. | Hypostôme vu de face, grossi (2). | 24.) | |
| 6. | <i>id.</i> vu de profil. <i>Dlanha Hora.</i> | <p>Harpes Montagnei. Cord. . . 352—F</p> | |
| <p>Harpes vittatus. Barr. . . . 349—E</p> | | 25. | Tête isolée, adulte. <i>Konieprus.</i> |
| 7. | Tête isolée, adulte. <i>Lochkow.</i> | 26. | <i>id.</i> vue de profil. |
| 8. | <i>id.</i> vue de profil. | 27. | Fragment du limbe grossi (2). |
| 9. | Fragment du limbe grossi. (2) | 28.) | Hypostôme vu de face et de profil. <i>Maenian.</i> |
| 10. | Oeil gauche grossi fortement. | 29.) | |
| <p>Harpes venulosus. Cord.
(voir Pl. 8) . . . 350 ^E/_F</p> | | <p>Paradoxides Sacheri. Barr. 369—C ✓</p> | |
| 11. | Tête isolée, de moyenne taille. <i>Konieprus.</i> | 30. | Exemplaire unique, montrant 19 segmens au thorax. <i>Ginets. (Coll. Sacher.)</i> |
| 12. | <i>id.</i> vue de profil. | <p>Paradoxides rugulosus. Cord.
(voir Pl. 13.) . . 374—C ✓</p> | |
| 13. | Fragment du limbe, grossi (2). Le test a été enlevé sur une des extrémités et montre les petits cônes remplissant les perforations de la doublure. | 31. | Exemplaire montrant 16 segmens thoraciques. L'original est un peu ployé dans la roche. <i>Skrey.</i> |
| 14. | Quelques perforations du test fortement grossies. | | |
| 15. | <i>id.</i> Section verticale suivant a. b. montrant les deux troncs de cône formant les perforations. | | |
| 16. | Quelques segmens thoraciques grossis. (2) Granulation. <i>Konieprus.</i> | | |
| 17.) | Hypostôme vu de face et de profil. <i>Konieprus.</i> | | |
| 18.) | | | |
| 19. | Tête dont le limbe est accidentellement mutilé. <i>Konieprus.</i> | | |

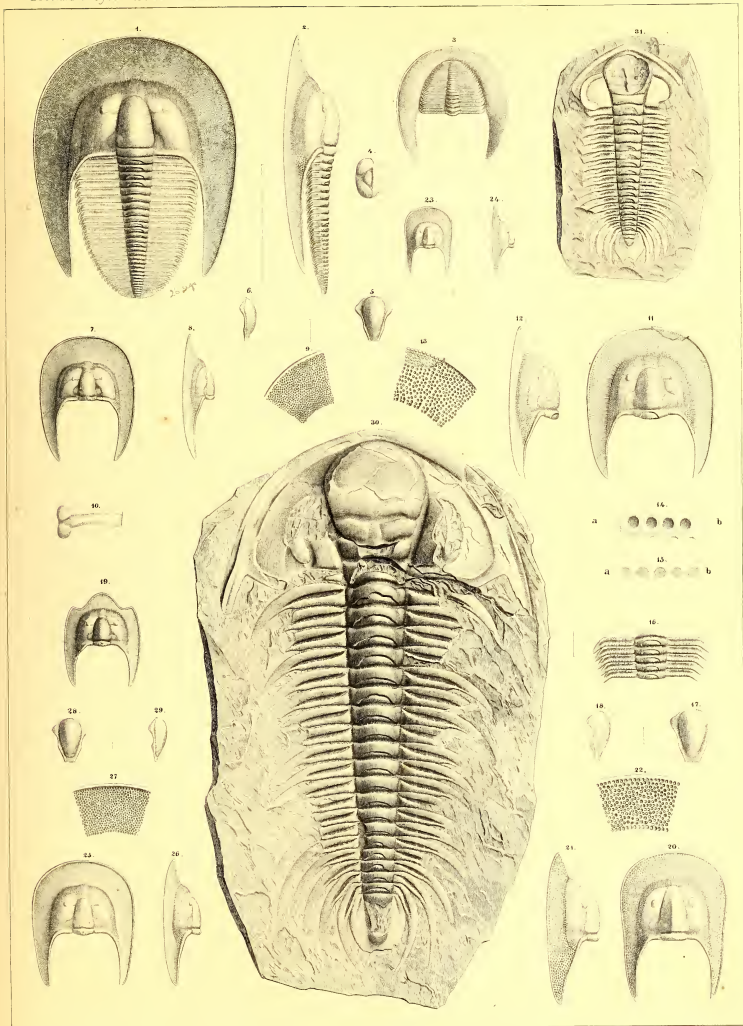


Fig.

Page—Étage.

Arionellus ceticephalus. Barr.

(voir Pl. 11.) . 404—C

N^{ts}. Les figures indiquées par la lettre **a.** représentent la grandeur naturelle des jeunes individus que l'on voit grossis, dans la figure correspondante **b.** Tous les exemplaires figurés proviennent de *Skrey*.

Jeunes individus.

1. Montrant 7 segmens thoraciques.
2. *id.* 9 *id.*
3. *id.* 10 *id.*
4. *id.* 11 *id.*
5. *id.* 16 *id.*
6. Tête isolée, adulte, sans test, montrant 4 paires de sillons sur le moule intérieur de la glabelle.
7. Glabelle grossie (2) et dont la surface est finement scrobiculée. Test en décomposition.
- 8.) Pygidium isolé d'un adulte.
- 9.)
10. Individu à 16 segmens thoraciques, de forme large, incomplètement développé, sans test.
11. *id.* de forme longue, *id.* *id.*
- 12.) Hypostôme vu de face et de profil, grossi (4).
- 13.)
14. Individu de forme longue, complètement développé. Moule interne.
15. *id.* vu de profil.
16. 2 segmens du même individu, grossis, montrant la trace de l'articulation? entre l'anneau et la plèvre, et la cavité conique à l'origine de celle-ci, dans le sillon dorsal. (voir Pl. 167 et 186.)
17. Individu d'âge moyen, ayant ses pointes génales.
18. Individu développé, de forme large, conservé avec son test, et les ornemens de sa surface.
19. 3^e et 4^e segmens du même individu, grossis (2), montrant la trace de l'articulation? sur le test, ainsi que les ornemens de celui-ci.
20. Individu de forme large, privé de ses joues mobiles et de son test, montrant 4 paires de sillons sur le moule de la glabelle.
21. Individu adulte, enroulé.

Fig.

Page—Étage.

Paradoxides Bohemicus.

Boeck. sp. . 367—C

22. Individu adulte, moule interne. La partie des plèvres qui est ornée de stries indique l'étendue de la doubleure. *Ginets.*
23. Impression externe, creuse, d'un individu d'âge moyen, montrant l'hypostôme en place. *Ginets.*
24. Jeune individu, ayant 20 segmens thoraciques. *Ginets.*
25. Très-jeune individu montrant le grand développement des pointes du second segment. *Ginets.*

Ellipsocephalus Hoffi. Schl. sp. 413—C

26. Individu adulte, moule interne.
27. *id.* vu de profil. *Welka près Ginets.*
28. Deux segmens thoraciques grossis (2).
- 29.) Pygidium grossi (2) d'après un autre individu, montrant des stries fines.
- 30.)

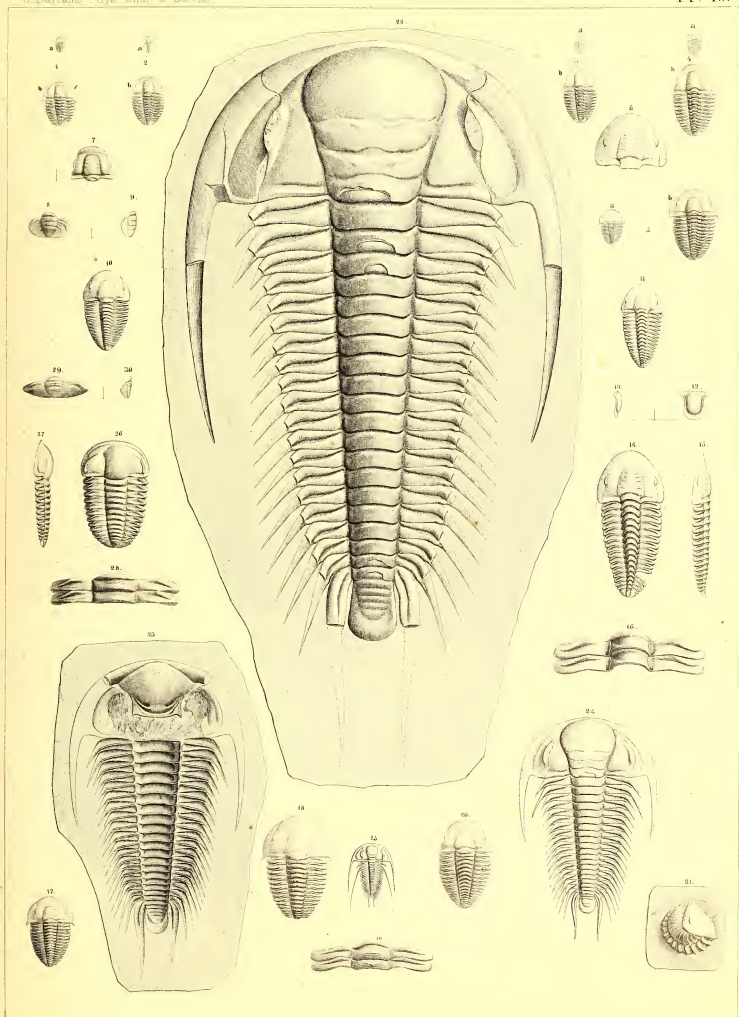


Fig.

Page—Étage.

Paradoxides spinosus. Boeck sp.

(voir Pl. 12. 13.) . 370—C

1. Individu de la plus grande taille, montrant 18 segments thoraciques. On aperçoit sur la première plèvre quelques restes du bord postérieur de la tête. La seconde plèvre est notablement plus longue que la première et la troisième. Le test a été complètement dissous dans les schistes. — Cet exemplaire provient de *Kauršimets*, bande de *Skrey*. La longueur calculée de l'individu entier dépasserait 0^m. 26; celle du fragment est de 0^m. 19, non compris les pointes.

Conocephalites Emurichi. Barr.

428—C

2. Individu adulte, de forme large, privé de ses joues mobiles. 14 segments thoraciques. Moule interne.
3. *id.* vu de profil. *Ginets*.
4. Individu complet, de forme longue. *Ginets*.
5. *id.* vu de profil.
6. Individu enroulé, grossi (2). *Ginets*.

Fig.

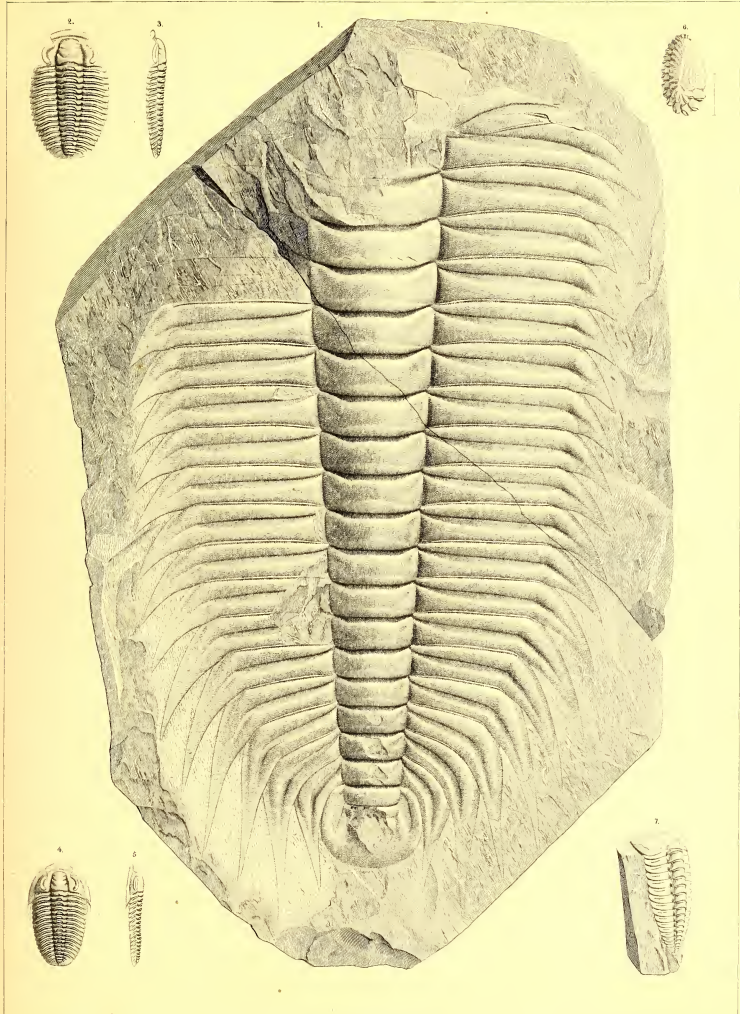
Page—Étage.

Arionellus ceticephalus. Barr.

(voir Pl. 10.) . 405—C

7. Individu de la plus grande taille, forme longue; moule interne. On voit sur l'extrémité de chaque anneau de l'axe une arête en relief, paraissant correspondre à une articulation, entre l'anneau et la plèvre. (p. 167.)

A l'origine de chaque plèvre, dans le sillon dorsal, on aperçoit une cavité conique. *Skrey*. (p. 186.)



Jon. Peters lith. Prag.

Druck v. Fr. Ed. Sandner.

Fig.

Page—Etage.

Paradoxides spinosus. Boeck. sp.

(voir Pl. 11. 13.) . 370—C

1. Individu adulte, de forme large, moule interne montrant 18 segmens thoraciques. Les rides sur la surface des plèvres paraissent dues à une compression oblique. La partie striée, sur chaque pointe pleurale, indique l'étendue de la doublure. *Skrey.*
2. Glabellle isolée, provenant de la même localité, et appartenant aussi à un individu de forme large. Les joues mobiles manquent.
3. Glabellle isolée, appartenant à un individu de forme longue et provenant de *Ginets.*
4. *id.* Profil longitudinal.
5. Jeune individu, complet, de forme large, ayant 18 segmens au thorax, et les pointes du second segment très-développées. *Ginets.*
6. Jeune individu complet, de forme longue, ayant 18 segmens thoraciques, et les pointes du second segment très-longues. *Ginets.*
7. Très-jeune individu, de la plus petite taille connue, ayant 18 segmens au thorax. Les pointes du second segment dépassent l'extrémité du corps. *Ginets.*
- 8.) Pygidium isolé, appartenant à un individu de forme
- 9.) longue. *Skrey.*
10. *id.* appartenant à un individu de forme large et montrant l'impression de la doublure. *Skrey.*
- 11.) *id.* appartenant aussi à un exemplaire de forme large,
- 12.) mais moins prononcée. *Skrey.*
- 13.) Hypostôme isolé montrant les stries ou nervures qui
- 14.) ornent la surface de cette pièce. *Skrey.*

Fig.

Page—Etage.

Paradoxides desideratus. Barr. 375—C ✓

- 15.) Pygidium isolé, orné de pointes latérales. Il est possible que ce fragment appartienne à l'espèce *Parad.*
- 16.) *imperialis* (Pl. 13. Fig. 19.) qui provient de la même localité, *Ginets.*

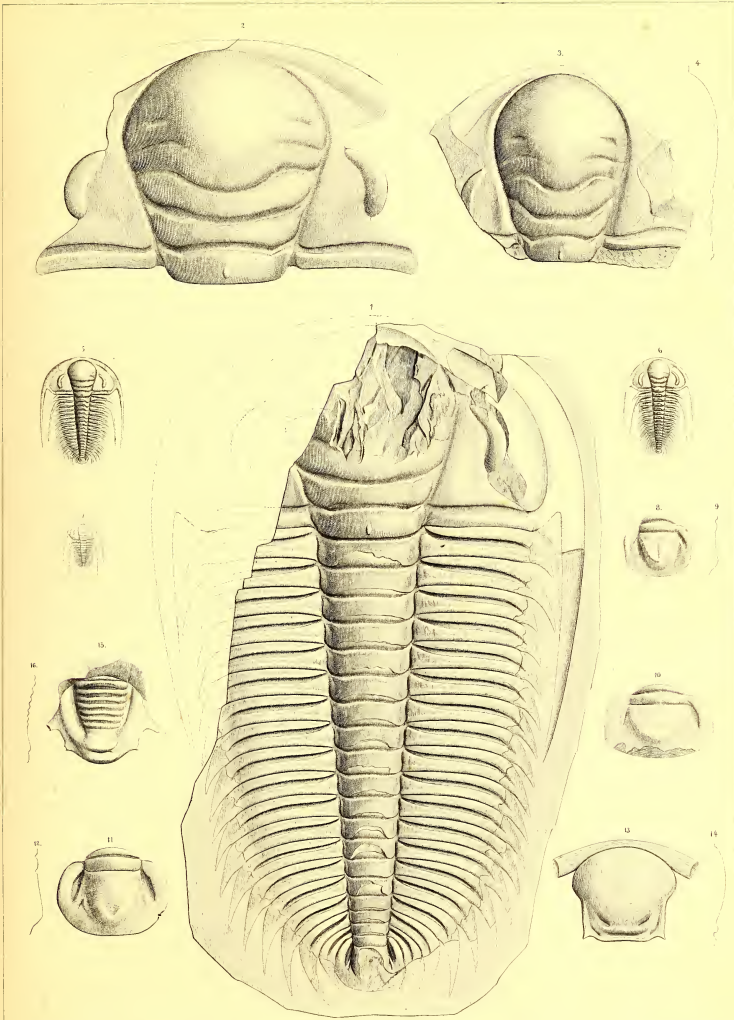


Fig.

Page—Étage.

Paradoxides spinosus. Boeck. sp.
(voir. Pl. 11. 12.) . 370—C

1. Individu adulte, de forme longue, dépouillé du test, montrant 18 segmens thoraciques. L'extrémité des plèvres est striée sur toute l'étendue de la doublure. *Skrey.*
2. Demi-segment d'un autre individu, provenant de *Ginetz* et montrant la granulation fine de la paroi dorsale reproduite sur le moule interne, à cause de la ténuité du test.

Paradoxides rugulosus. Cord.
(voir Pl. 9.) . 374—C

3. Glabellé isolée, de forme large, dépouillée du test, et de toute trace d'ornemens. *Slap*, bande de *Skrey.*
4. *id.* de forme longue, moule interne conservant l'empreinte du test, et montrant simultanément des stries et des grains fins. Même localité.
5. Fragment de forme large, grossi (4). *Skrey.* (*Coll. Haule.*)
6. Individu incomplet, de forme longue, montrant le pygidium. *Skrey.*
7. Segment grossi (2). La plèvre porte, sur son bord postérieur, une échancrure prononcée. *Skrey.*
- 8.} Hypostome privé de son limbe, et orné de nervures
- 9.} ou stries saillantes. — *Slap*, bande de *Skrey.*

Paradoxides expectans. Barr. 918—C

10. Pygidium isolé, dont le contour indique l'existence de 4 pointes. Un autre exemplaire, trouvé depuis que cette planche a été imprimée, montre ces quatre pointes très-bien conservées.

Paradoxides orphanus. Barr. 373—C

11. Fragment montrant une partie de la tête et trois plèvres, parmi lesquelles on distingue la seconde, portant une longue pointe filiforme. *Skrey.*
12. Profil de la glabellé.
13. Segment grossi (2) et restauré, montrant la conformation des plèvres.

Paradoxides pusillus. Barr. 374—C

14. Tête isolée grossie (5). *Skrey.*
15. Même tête vue de profil.

Fig.

Page—Étage.

Paradoxides inflatus. Cord. 372—C ✓

16. Individu complet, grossi (4). Les derniers segmens sont peu distincts. *Skrey.* (*Coll. Haule.*)
17. Le même vu de profil.
18. Segment grossi (8).

Paradoxides imperialis. Barr. 373—C ✓

19. Fragment du thorax, sans test. L'extrémité des plèvres montre l'impression de la doublure. *Ginetz.*

Conocephalites coronatus.
Barr. . 424—C ✓

20. Tête isolée. Moule intérieur conservant la trace de tous les ornemens. Par suite de la chute de la doublure sous-frontale, qui porte les pointes génales, l'angle géral paraît arrondi. *Skrey.*
- 21.} *id.* vue de front et de profil.
- 22.}
23. Individu complet, ayant 15 segmens thoraciques. La doublure sous-frontale est en place, ainsi que les pointes génales. Pygidium fracturé.
24. *id.* vu de profil. *Skrey.* (*Coll. Haule.*)
25. Pygidium d'après un autre individu. *Skrey.*
26. Fragment de l'empreinte externe du test céphalique, d'après la tête fig. 20.

N^{ts}. Pour bien comprendre les diverses apparences de l'angle géral dans cette espèce, il faut la comparer avec *Conoc. Sutseri* Pl. 13 et 14, et remarquer surtout la Fig. 23. Pl. 14.

Conocephalites Sutseri. Schlot. sp. ✓
(voir Pl. 14 et 26.) . 419—C

27. Individu de forme longue, privé de la doublure sous-frontale, qui porte les pointes génales. *Ginetz.*

Ellipsocephalus Germari. Barr. 415—C ✓

28. Individu montrant 14 segmens thoraciques, dont les deux premiers ont les plèvres mutilées. Le pygidium est replié sous le thorax. *Slap*, bande de *Skrey.*
29. Pygidium du même individu.

N^{ts}. La même espèce, avec 14 segmens thoraciques, se trouve aussi à *Welka* près *Ginetz.*

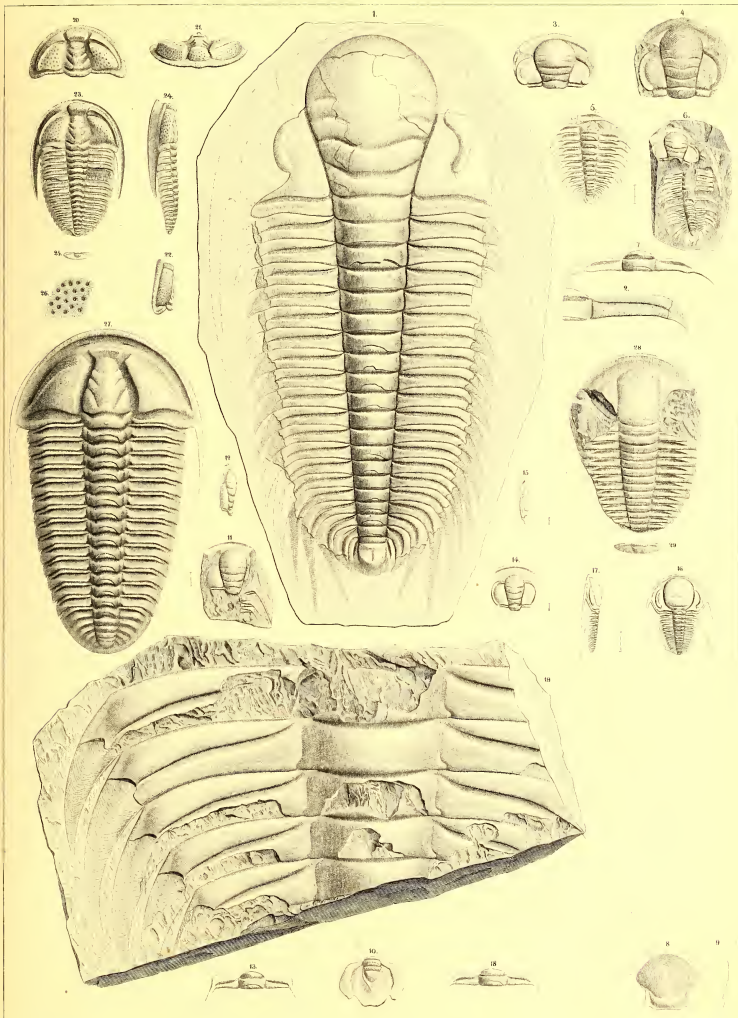


Fig. Page—Etage.
Conocephalites striatus. Emm.
 (voir Pl. 29) . 426—C

1. Individu complet, de forme large, sans test, ayant 14 segmens thoraciques. Sur l'empreinte concave de la doublure sous-frontale, on voit la trace de la suture rostrale, aboutissant aux sutures de jonction. Comparer avec la figure 26. Pl. 2 B. *Ginets*.
2. Segment isolé.
3. Fragment montrant l'hypostôme dans l'intérieur de la glabelle. *Ginets*.
4. Granulation générale, fortement grossie.
5. Réseau des nervures ornant les joues, fortement grossi.
6. Pygidium isolé. *Ginets*.
7. Jeune individu, dont la glabelle a une forme plus cylindroïde. *Skrey*.

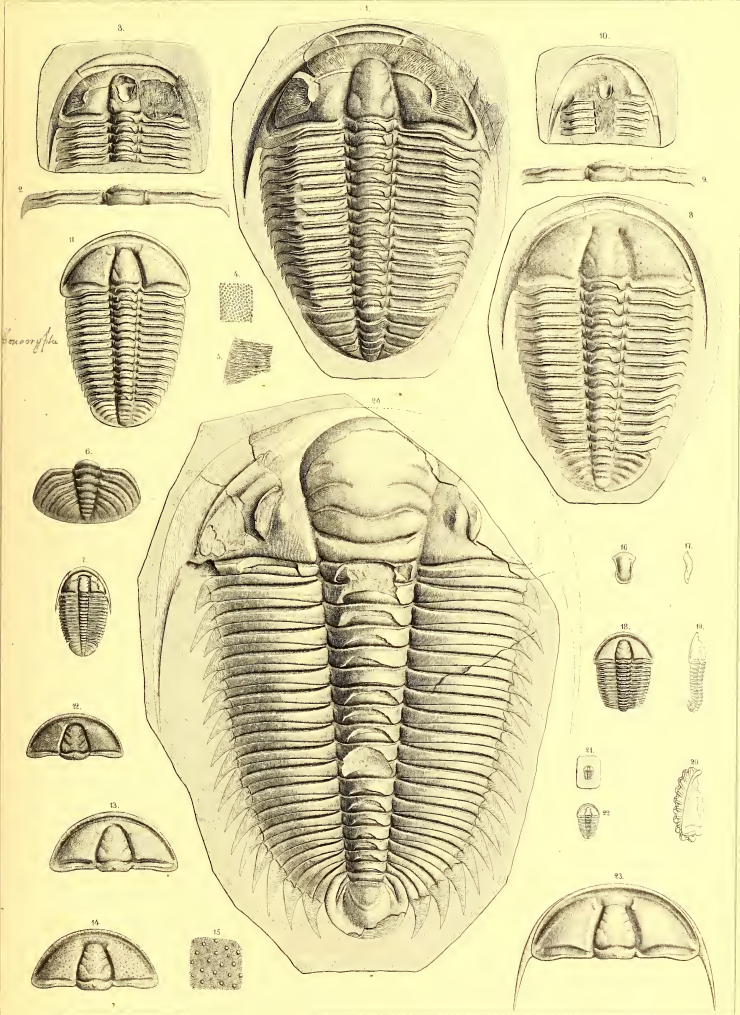
Conocephalites Sulzeri. Schlot. sp.
 (voir Pl. 13 et 26.) . 419—C

8. Individu complet, de forme large, sans test, ayant 14 segmens thoraciques. Sur l'empreinte de la doublure sous-frontale, on voit la trace du sommet rostral de la grande suture et des sutures de jonction. Comparer avec la figure 23 ci-après, et avec les figures 23. 24. Pl. 2. B. *Ginets*.
9. Segment isolé, montrant la granulation générale figurée d'après l'impression externe du test. *Ginets*.
10. Fragment montrant l'hypostôme en place. *Ginets*.
11. Individu complet, de forme large, sans test, ayant 14 segmens thoraciques. Par suite de la chute de la doublure sous-frontale, qui porte les pointes génales, l'angle génel est arrondi. Comparer avec la fig. 23 ci-après, et avec les figures de la même espèce Pl. 2. B. Les gros grains du test sont très-apparens sur le moule interne, tandis que les grains fins ne se montrent que sur le moule externe. *Ginets*.

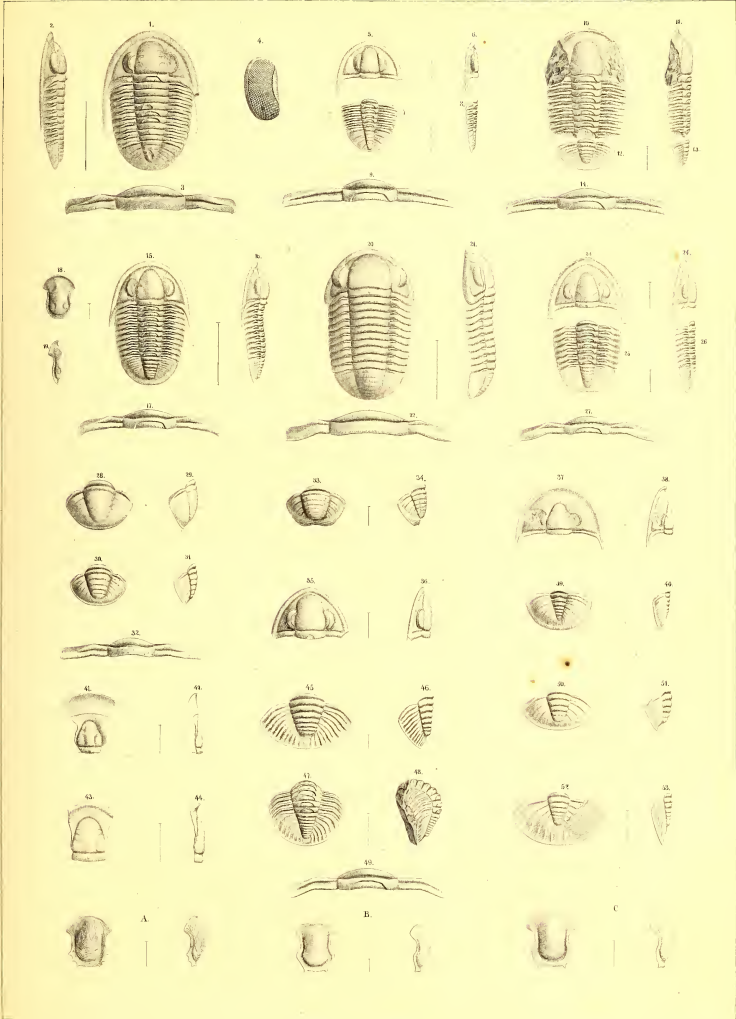
Fig. Page—Etage.

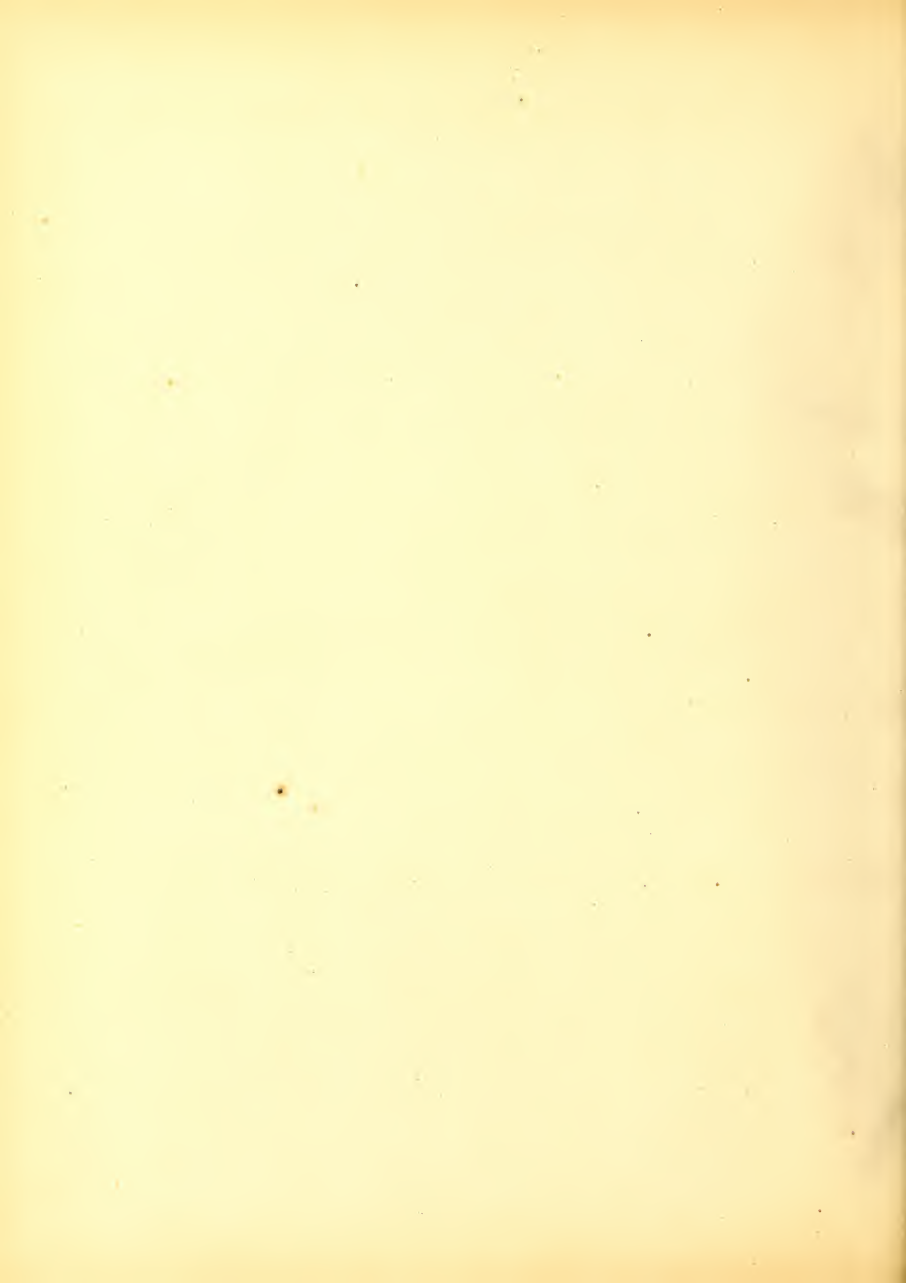
12. Tête isolée, jeune, montrant une granulation forte et très-serrée, sur le test transformé en ocre jaune. *Skrey*.
 13. Tête isolée, dont la granulation très-fine, peu serrée, est privée de gros grains. Test transformé en ocre jaune. *Skrey*.
 14. Tête isolée sur laquelle on voit à la fois les gros grains et la granulation fine. Test converti en ocre jaune. *Skrey*.
 15. Fragment de la surface du moule intérieur d'une tête très-développée, non figurée, montrant les gros grains isolés, et la granulation générale, très-fine. *Skrey*.
 - 16.) Hypostôme isolé, vu de face et de profil. *Skrey* et
 - 17.) *Ginets*.
 18. Jeune individu, montrant le premier degré de l'enroulement double. *Skrey*.
 19. *id.* vu de profil.
 20. Individu dans l'état d'enroulement double. *Ginets*.
 21. Très-jeune exemplaire, tronqué à l'arrière. *Ginets*.
 22. Le plus petit individu connu, qui permette de compter 14 segmens au thorax. *Ginets*. (voir Pl. 26.)
 23. Tête isolée, sans test, montrant les pointes génales en place, et la grande suture. Comparer avec la figure 8 ci-dessus, et avec les figures 23. 24. Pl. 2. B. *Ginets*.
- Paradoxides rotundatus.** Barr. 371—C ✓
24. Individu presque complet, sans test, montrant 17 segmens thoraciques. L'étendue de la doublure du test est indiquée par la surface striée, à l'extrémité des plèvres et au contour du pygidium. *Ginets*.

Verzeichniss der Stein- & Bleis

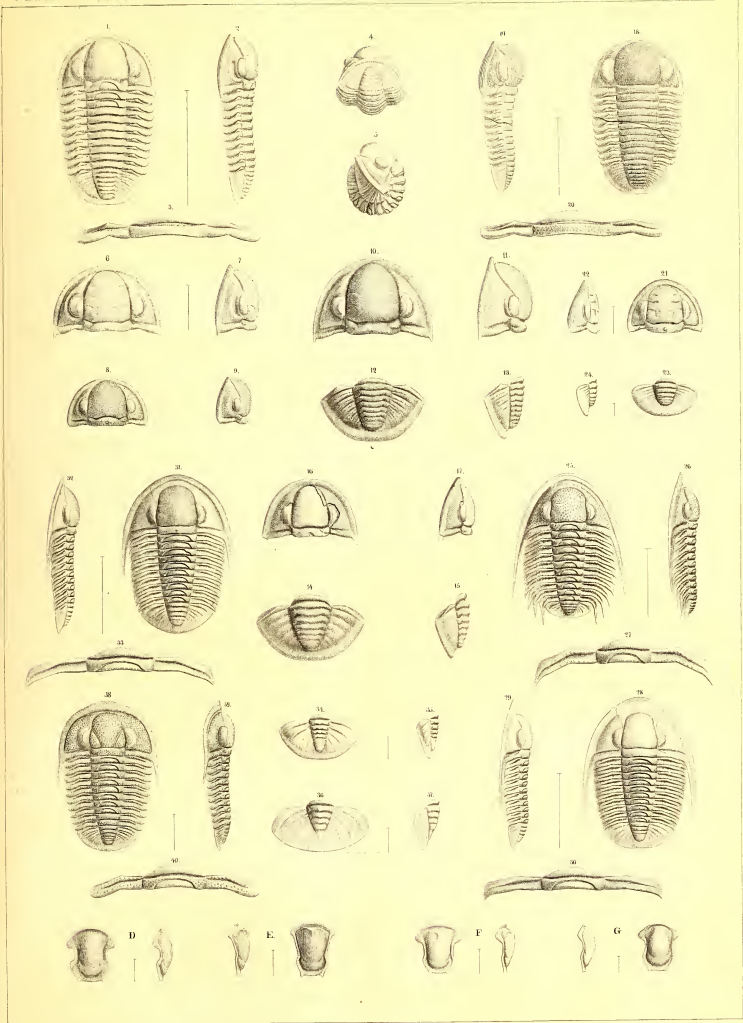


- | Fig. | Page—Étage. | Fig. | Page—Étage. |
|------|--|------|--|
| | Proctus sculptus. Barr. 438—G | | Proctus retroflexus. Barr. 445—F |
| 1. | Individu complet, adulte, conservé avec son test, montrant 9 segmens thoraciques, grossi (2). <i>Hostin.</i> | 33. | Pygidium isolé, conservant son test; grossi (2). |
| 2. | Le même vu de profil. | 34. | Le même vu de profil. <i>Maienian.</i> |
| 3. | Segment grossi (4), montrant la sculpture du test. | | Proctus serus. Barr. 447—F |
| 4. | Oeil fortement grossi, indiquant le relief des lentilles. | 35. | Tête isolée, convertie de son test, grossie (2). |
| | Proctus superstes. Barr. 441—H | 36. | La même vue de profil. <i>Maienian.</i> |
| 5. | Tête isolée, sans test, grossie (2). | | Proctus micropygus. Cord. 445— ^E F |
| 6. | La même vue de profil. | 37. | Tête isolée, grossie (5). <i>Lochkov.</i> |
| 7. | Fragment du thorax et pygidium grossi (2). | 38. | id. vue de profil. (<i>Coll. Hawle.</i>) |
| 8. | Le même vu de profil. | 39. | Pygidium isolé grossi (5). <i>Lochkov.</i> |
| 9. | Segment grossi (6). <i>Mlubočep</i> près <i>Prague</i> . (<i>Musée Bohême.</i>) | 40. | id. vu de profil. |
| | Proctus frontalis. Cord. 440—F | | Proctus Ascanius. Cord. 447—F |
| 10. | Fragment de la tête et du thorax grossi (6). | 41. | Glabelle isolée, grossie (2). |
| 11. | id. vu de profil. | 42. | La même vue de profil. <i>Tetin.</i> |
| 12. | Pygidium grossi (6). | | Proctus tusor. Barr. 448—F |
| 13. | Le même vu de profil. | 43. | Glabelle isolée, grossie ($\frac{1}{2}$). |
| 14. | Segment grossi (12). <i>Konieprus</i> (<i>Coll. Hawle.</i>) | 44. | La même vue de profil. <i>Konieprus.</i> |
| | Proctus Ryckholtii. Barr. 439—E | | Proctus inaequicostatus. Barr. 449—F |
| 15. | Individu adulte, complet, ayant 10 segmens thoraciques grossi (2). <i>Dlavha Hora.</i> | 45. | Pygidium isolé, grossi (3). <i>Konieprus.</i> |
| 16. | id. vu de profil. | 46. | Le même vu de profil. |
| 17. | Segment grossi (4). | | Proctus gracilis. Barr. 449— ^{SF} G |
| 18. | Hypostôme trouvé en place, dans un autre individu; | 47. | Fragment du thorax et pygidium, grossi (2). <i>Konieprus.</i> |
| 19. | vu de face et de profil. <i>Dlavha Hora.</i> | 48. | Le même vu de profil. |
| | Proctus myops. Barr. 442—F | 49. | Segment grossi (4). |
| 20. | Individu complet, ayant 10 segmens thoraciques; grossi (2). <i>Maienian.</i> (<i>Coll. Hawle.</i>) | | Proctus fallax. Barr. 450—F |
| 21. | Le même vu de profil. | 50. | Pygidium isolé, couvert de son test. |
| 22. | Segment grossi (4). | 51. | Le même vu de profil. <i>Konieprus.</i> |
| | Proctus unguitoides. Barr. 443—F | | Proctus latens. Barr. 451—F |
| 23. | Tête isolée, adulte, grossie (2). | 52. | Pygidium isolé, montrant le test et sa doublure grossi ($\frac{1}{2}$). |
| 24. | id. vue de profil. <i>Maienian.</i> | 53. | Le même vu de profil. <i>Maienian.</i> |
| 25. | Fragment du thorax et pygidium d'après un jeune individu, grossi (3). <i>Maienian.</i> | | Hypostômes de Proctus. |
| 26. | Le même vu de profil. | A.) | Ces pièces ont été trouvées isolées, dans des strates qui renferment diverses espèces de ce genre. |
| 27. | Segment grossi. (6) | B.) | |
| | Proctus orbitatus. Barr. 444—F
(voir Pl. 16 et 27) | C.) | |
| 28. | Pygidium isolé, adulte, sur lequel la segmentation est peu marquée. | | |
| 29. | id. vu de profil. <i>Maienian.</i> | | |
| 30. | Pygidium isolé, d'âge moyen, plus distinctement segmenté. | | |
| 31. | id. vu de profil. <i>Maienian.</i> | | |
| 32. | Segment grossi (4), d'après un fragment du thorax non figuré. <i>Maienian.</i> | | |





- | Fig. | Page—Etage. | Fig. | Page—Etage. |
|---|---|--|---|
| Proctus Bohemicus. Cord. 452—F | | Proctus Lovéni. Barr. 458—G | |
| 1. | Individu étendu, légèrement restauré, montrant 10 segmens thoraciques, conservé avec son test; grossi ($\frac{1}{2}$). <i>Konieprus</i> . | 25. | Individu complet, conservé avec son test et montrant 10 segmens thoraciques, grossi (2). |
| 2. | Le même vu de profil. | 26. | Le même vu de profil. <i>Hostin</i> . |
| 3. | Segment grossi (3). | 27. | Cinquième segment grossi (4). |
| 4. | Individu complet, enroulé, ayant la glabelle très-enflée. | Proctus Iepidus. Barr. 466— $\left\{ \begin{array}{l} F \\ G \end{array} \right.$ | |
| 5. | id. vu de profil. <i>Konieprus</i> . | 28. | Individu complet, conservé avec son test, montrant 10 segmens thoraciques; grossi (2). |
| 6. | Tête isolée parfaitement conservée avec son test, grossie ($\frac{3}{4}$) et montrant les impressions auxiliaires sur la glabelle. | 29. | Le même vu de profil. <i>Duoretz</i> . |
| 7. | id. vu de profil. <i>Konieprus</i> . | 30. | Segment grossi (4), montrant la sculpture du test. |
| 8. | Tête isolée, ayant le test assez fortement granulé, le limbe étroit, la glabelle saillante. | Proctus intermedius. Barr. 464—E | |
| 9. | id. vue de profil. <i>Konieprus</i> . | 31. | Individu complet, conservé avec son test, montrant 10 segmens thoraciques, grossi (2). Granulation et stries réunies sur la glabelle. |
| 10. | Tête isolée, très-grande. | 32. | Le même vu de profil. <i>Dlauha Hora</i> . |
| 11. | id. vue de profil. <i>Konieprus</i> . | 33. | Segment grossi (4). |
| 12. | Pygidium isolé, très-grand. Test fortement granulé. | Proctus moestus. Barr. 461—F | |
| 13. | id. vu de profil. <i>Konieprus</i> . | 34. | Pygidium isolé, conservé avec son test, grossi (2). |
| 14. | Pygidium isolé, sans test. Le sillon sutural n'est pas marqué sur les côtes. | 35. | Le même vu de profil. <i>Konieprus</i> . |
| 15. | id. vu de profil. <i>Konieprus</i> . | Proctus natator. Barr. 460—F | |
| Proctus orbitatus. Barr. | | 36. | Pygidium isolé, conservé avec son test; grossi (2). |
| (voir Pl. 15 et 27). 444—F | | 37. | Le même vu de profil. <i>Muénian</i> . |
| 16. | Tête isolée montrant une partie du test. | Cyphaspis depressa. Barr. 492—E | |
| 17. | La même vue de profil. <i>Muénian</i> . | 38. | Individu presque complet, un peu redressé, conservant son test; grossi (2). <i>Collines de Listice</i> . |
| Proctus tuberculatus. Barr. 456—F | | 39. | Le même vu de profil. |
| 18. | Individu légèrement restauré, conservant son test, montrant 10 segmens thoraciques, grossi (2). | 40. | Segment grossi (8). |
| 19. | Le même vu de profil. <i>Muénian</i> . | Hypostômes de Proctus. | |
| 20. | Segment grossi (4). | D.) Ces pièces ont été trouvées isolées, dans des strates | |
| Proctus neglectus. Barr. 454—F | | E.) renfermant les débris de plusieurs espèces du même | |
| 21. | Tête isolée, conservée avec son test, montrant les impressions auxiliaires; grossie (2). | F.) genre. | |
| 22. | id. vue de profil. <i>Konieprus</i> . | G.) | |
| 23. | Pygidium isolé. <i>Konieprus</i> . | | |
| 24. | id. vu de profil. | | |



- Fig. Page—Étage.
- Proctus venustus.** Barr. . . . 467—E
1. Individu adulte, complet, conservé avec son test, montrant 10 segmens thoraciques (grossi 3).
 2. id. vu de profil. *Dlauha Hora*.
 3. Segment grossi (6), montrant la sculpture très-fine du test.
 4. Individu non adulte, complet, grossi (2), ayant seulement 9 segmens thoraciques.
 5. id. vu de profil. *Dlauha Hora*.
 6. Segment grossi (4). Stries fines.
- Proctus curtus.** Barr. 462—F
7. Pygidium isolé, conservé avec son test.
 8. Le même vu de profil. *Muicnian*.
- Proctus cremita.** Barr. . . . 462—F
9. Pygidium isolé, conservé avec son test.
 10. Le même vu de profil. *Konieprus*.
- Proctus Memnon.** Cord. . . . 459—G
11. Glabelle isolée, conservée avec son test. (*Coll. Hawle*.)
 12. La même vue de profil. *Tetia*.
- Proctus decorus.** Barr. . . . 468—E
13. Individu adulte, complet, conservé avec son test, montrant 10 segmens thoraciques; grossi ($\frac{3}{4}$).
 14. id. vu de profil. *Lodenitz*.
 15. Segment grossi (3) montrant la sculpture du test.
- Jeunes individus.*
16. à 5 segmens thoraciques. *Lodenitz*.
 17. à 6 id. id. *ib.*
 18. à 7 id. id. *ib.*
 19. à 8 id. id. *ib.*
 20. à 9 id. id. *Borek*.
 21. à 10 id. id. *Lodenitz*.
- Proctus Asynamax.** Cord. . . . 470—F
22. Tête isolée, conservée avec son test, grossie (2).
 23. La même vue de profil. *Konieprus*.
- Proctus (Phaet.) planicauda.**
Barr. . 474—F
24. Glabelle isolée, montrant des grains et des stries sur son test; grossie ($\frac{3}{4}$).
 25. id. vue de profil. *Muicnian*.
 26. Joue isolée des mêmes banes.
 27. Pygidium isolé d'un jeune individu, ayant 2 pointes de chaque côté; grossi (2).

- Fig. Page—Étage.
28. Le même vu de profil. *Muicnian*.
 29. Autre pygidium ayant 3 pointes de chaque côté. *Muicnian*.
 30. Pygidium isolé d'un adulte, ayant 4 pointes de chaque côté.
 31. Segment du même grossi (4), montrant la sculpture. *Muicnian*.
- Proctus insons.** Barr. 461—F
32. Glabelle isolée, conservée avec son test; grossie (2).
 33. La même vue de profil. *Konieprus*.
- Proctus complanatus.** Barr. 463—F
34. Glabelle isolée, conservée avec son test. Le limbe frontal et sa rainure sont très-développés.
 35. id. vue de profil. *Muicnian*.
 36. Pygidium isolé, conservé avec son test.
 37. id. vu de profil. *Muicnian*.
 38. Individu légèrement restauré, montrant 10 segmens thoraciques. Le limbe frontal et sa rainure sont peu développés.
 39. id. vu de profil. *Muicnian*.
 40. Segment grossi (2).
 41. Glabelle isolée, grossie (2), montrant des grains et des stries sur le lobe frontal. *Muicnian*.
- Proctus (Phaet.) Archiaci.** Barr. 471—E
42. Individu complet, étendu, conservé avec son test, montrant 10 segmens thoraciques; grossi ($\frac{3}{4}$).
 43. id. vu de profil. *Dlauha Hora*.
 44. Segment grossi (3).
 45. Individu complet, enroulé. *Dlauha Hora*.
- Proctus (Phaet.) striatus.** Barr. 476—E
46. Individu complet, conservé avec son test, montrant 10 segmens thoraciques; grossi (2).
 47. Le même vu de profil. *Dlauha Hora*.
 48. Segment du thorax grossi (4).
 49. id. du pygidium grossi (6).
- Proctus heteroctylus.** Barr. . 451—F
50. Pygidium isolé, grossi (4). *Lochkov*.
 51. Le même vu de profil. (*Coll. Hawle*.)
- Hypostômes de Proctus.**
- H) Ces pièces ont été trouvées isolées, dans des banes renfermant les débris de diverses espèces du même genre.
- I)
- K)

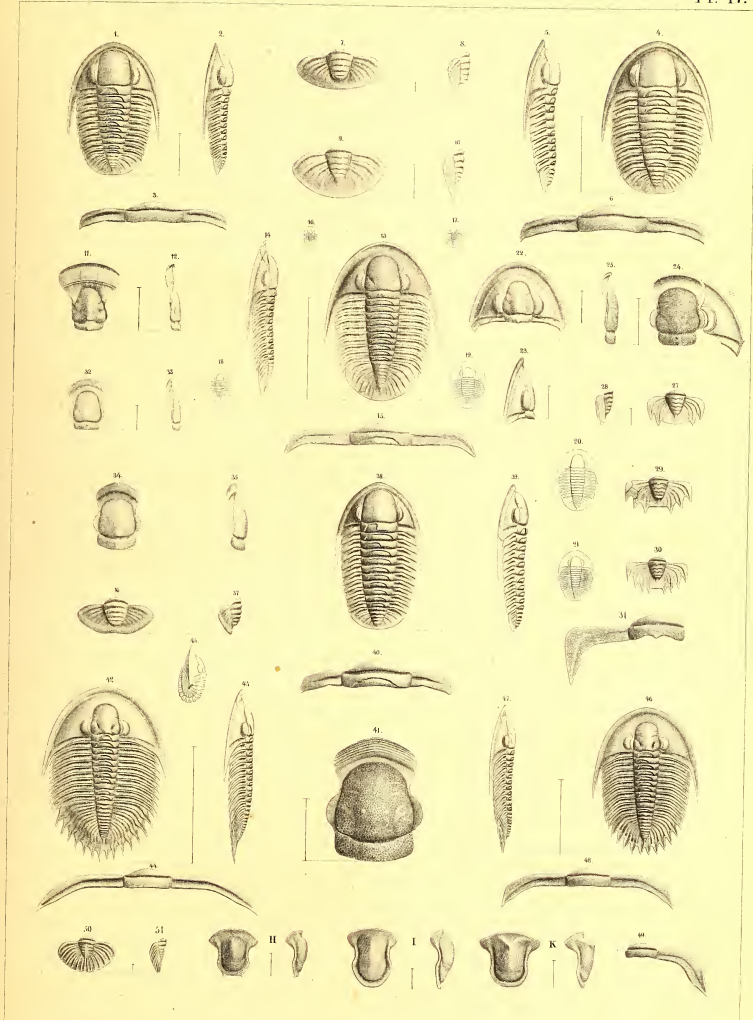


Fig.

Page—Étage.

Fig.

Page—Étage.

Arethusina Konicki. Barr. 495 } ^D col. _E

Individus complets, disposés en série suivant l'âge croissant.

N^o. Nous possédons des individus non figurés, qui ont 2, 3, 4, 5, 6 segments au thorax.

- 1. Individu à 7 segments thoraciques. *Lodenitz.*
- 2. 8 id. id. *ib.*
- 3. 9 id. id. *ib.*
- 4. 10 id. id. *ib.*
- 5. 11 id. id. *ib.*
- 6. 12 id. id. *ib.*
- 7. 13 id. id. *ib.*
- 8. 14 id. id. *ib.*
- 9. 15 id. id. *ib.*
- 10. 16 id. id. *ib.*
- 11. 17 id. id. *Lodenitz.*
- 12. 18 id. id. *ib.*
- 13. 19 id. id. *Wohrada.*
- 14. 20 id. id. *ib.*
- 15. 21 id. id. *ib.*
- 16. 22 id. id. *ib.*

La tête de cet exemplaire est restaurée, et la figure est grossie (4).

- 17. id. vu de profil.
- 18. Segment grossi. (4)
- 19. Individu enroulé, grossi (2).
- 20. Oeil grossi fortement pour montrer la réticulation.
- 21. Tête vue de front. *Wohrada.*

Arethusina nitida. Barr. . . 498—E

- 22. Pygidium isolé, conservé avec son test.
- 23. Le même vu de profil. *Rochers de Kozel.*

Phillipsia parabola. Barr. . . 477—D

- 24. Tête isolée, de forme large, conservant une partie de son test. *Königshof.*
- 25. Section suivant l'axe.
- 26. Fragment de la glabelle grossi (2), pour montrer la sculpture du test.
- 27. Tête isolée, de forme longue, sans test; grossie (2). *Königshof.*
- 28. Fragment du thorax avec le pygidium, grossi (2).
- 29. id. vu de profil. *Königshof.*

Telephus fractus Barr. . . 890—D

- 30. Tête isolée, incomplète? conservée avec son test.
- 31. id. vue de profil. *Königshof.*
- 32. La même vue de front, grossie (2).
- 33. Pygidium isolé, dépourvu de son test.
- 34. id. vu de profil. *Königshof.*

Cyphaspis Hatti. Barr. . . . 483—E

- 35. Individu complet, conservé avec son test, et montrant 17 segments thoraciques; grossi (2).
- 36. Le même vu de profil. *Dlauha Hora.*
- 37. Segment grossi (4).

Cyphaspis Barrandei. Cord. 486 } ^F _G

- 38. Individu complet, conservé avec son test et montrant 11 segments au thorax.
- 39. id. vu de profil. *Hostin G.*
- 40. Segment grossi (2). La plèvre gauche présente le test qui est enlevé sur la plèvre droite.
- 41. Tête isolée, conservée avec le test.
- 42. Id. vue de profil. *Maienian. F.*
- 43. Jeune individu complet, enroulé, conservé avec le test, et montrant 9 segments au thorax; vu de front.
- 44. id. vu de côté. *Hostin G.*
- 45. Fragment de tête, montrant 4 tubercules spiniformes prédominans, sur la glabelle. *Maienian F.*
- 46. Fragment montrant la longueur de l'un des tubercules spiniformes. *ibid. F.*
- 47. Glabelle isolée, sur laquelle on ne reconnaît que trois tubercules prédominans, *ibid. F.*
- 48. Glabelle isolée, sur laquelle les tubercules prédominans sont réduits à 2. *ibid. F.*

Cyphaspis Cerberus. Barr. . . 489—F

- 49. Tête isolée, pourvue de son test.
- 50. id. vue de profil. *Maienian.*
- 51. Tête isolée, plus petite, vue de front. *ibid.*

Cyphaspis convexa. Cord. . . 490—G

- 52. Tête isolée, conservée avec le test, grossie (2).
- 53. id. vue de profil. *Ducroets.*

Cyphaspis Davidsoni. Barr. . . 490—F

- 54. Tête isolée, conservée avec son test, grossie (2).
- 55. id. vue de profil.
- 56. id. grandeur naturelle, vue de front. *Maienian. (Coll. Harle.)*

Cyphaspis humillima. Barr. 492—E

- 57. Glabelle isolée, conservée avec son test, grossie (2).
- 58. La même vue de profil. *Collines de Listice.*

Cyphaspis novella. Barr. . . 491—E

- 59. Glabelle isolée, conservée avec son test, grossie (3).
- 60. La même vue de profil. *Dlauha Hora.*

Cyphaspis Burmeisteri. Barr. . . 484 } ^D col. _E

Individus complets, en série suivant l'âge décroissant.

- 61. Individu adulte conservé avec son test, montrant 15 segments au thorax, grossi (2).
- 62. id. vu de profil.
- 63. id. de grandeur naturelle. *Dlauha Hora.*
- 64. Individu à 14 segm. thorac. *ibid.*
- 65. id. 13 id. *ibid.*
- 66. id. 12 id. *ibid.*
- 67. id. 11 id. *ibid.*
- 68. id. 10 id. *Lodenitz.*
- 69. id. 7 id. *ibid.*
- 70. id. enroulé à 13 id. vu de côté.
- 71. id. vu de front. *Dlauha Hora.*

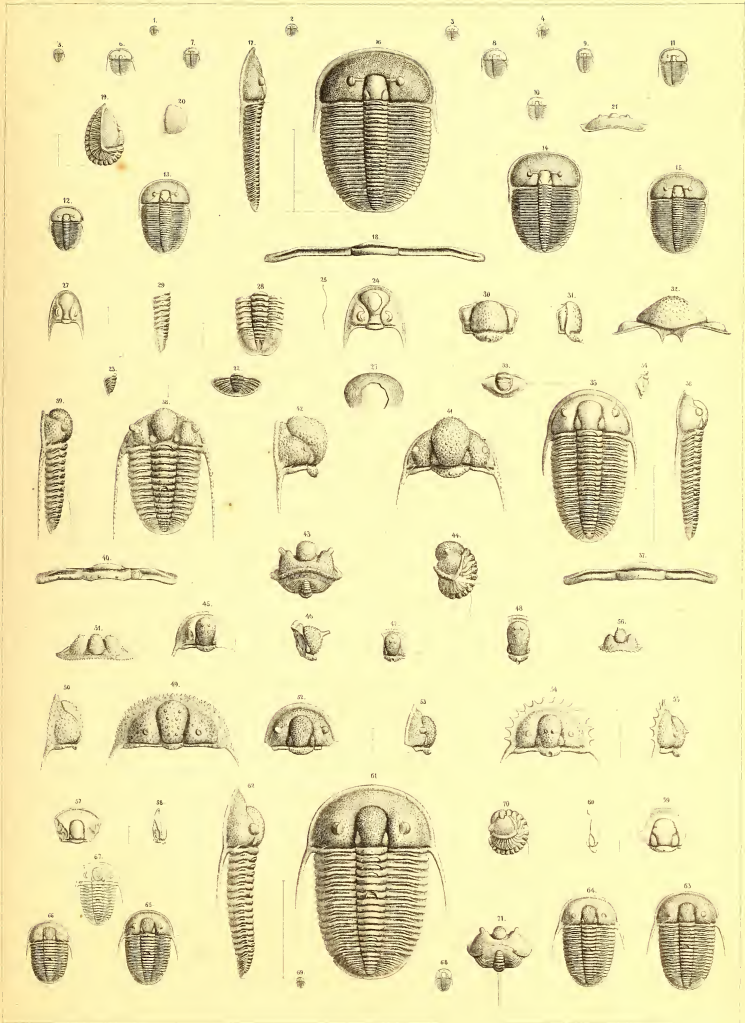


Fig.

Page—Étage.

Calymene putchra. Barr. . . 575—D

1. Individu incomplet, de forme longue, montrant l'impression interne du test, ayant 13 segmens au thorax; provenant des schistes très-micacés. *Zahoržan*.
2. Individu presque complet, de forme large, ayant 13 segmens au thorax. *ibid*.
3. Individu montrant l'impression de l'hypostôme en place. *ibid*.
4. Tête isolée, conservée avec son relief dans les quartzites, montrant en place la pointe générale. *Wesela*.
5. La même, vue de profil, montrant la série d'épines dentiformes, qui ornent l'arête inférieure du limbe général.
6. Joue mobile isolée, provenant des schistes, portant la paroi visuelle réticulée et montrant les ornemens du test; grossie (2). *Zahoržan*.
7. } Hypostôme vu de face et de profil. *Wesela*.
8. }
9. Pygidium isolé, conservé avec tout son relief dans les quartzites, et montrant l'impression interne du test. *Wesela*.

Calymene Blumenbachi. Brongn.566— $\left\{ \begin{array}{l} E \\ F \end{array} \right.$

10. Tête incomplète, dépourvue de son test. *Kaukoloua Hora. E.*

Calymene diademata. Barr. . . 567—E

11. Fragment montrant les 13 segmens du thorax et le pygidium. *St. Iwan*.
12. Tête isolée, privée des joues mobiles, conservant des fragmens du test.
13. id. vue de front.
14. id. vue de profil. *St. Iwan*.
15. } Hypostôme vu de face et de profil. *ibid*.
16. }
17. Joue mobile isolée; *ibid*.
18. Pygidium isolé, dépourvu du test.
19. id. vu de profil. *St. Iwan*.

Fig.

Page—Étage.

Calymene interjecta. Cord.(voir Pl. 43) . . 570— $\left\{ \begin{array}{l} F \\ G \end{array} \right.$

20. Individu incomplet, imparfaitement enroulé, et dépourvu du test. *Lužetx G.*
21. Tête isolée, dépourvue des joues mobiles et du test; vue de profil. *Lužetx G.*

Calymene parvula. Barr. . . 571—D ✓

22. Individu complet, dépourvu du test, montrant 13 segmens au thorax, et provenant des quartzites.
23. id. vu de profil. *M^{rs}. Drabow.*
24. Pygidium isolé, de la plus grande taille connue. *ibid*.
25. Individu complet, enroulé. *ibid*.

Calymene tenera. Barr. . . . 574—E

26. Tête isolée, dépourvue des joues mobiles, conservant une partie de son test. *Dlauha Hora.*
27. Pygidium isolé, montrant une partie de son test; *ib*.

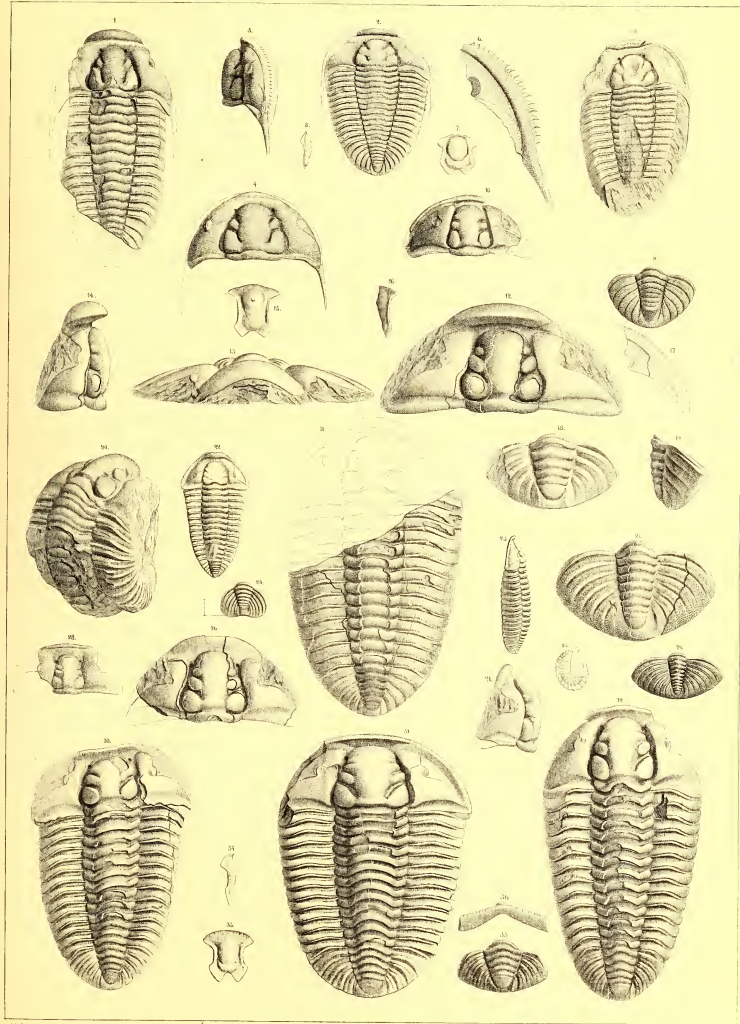
Calymene Baylei. Barr.

(voir Pl. 43) . . 573—E

28. Fragment de la tête, couvert de son test. *Dlauha. Hora.*
29. Pygidium isolé, conservé avec son test. *ibid*.

Calymene incerta. Barr. . . . 568—D ✓

30. Individu presque complet, de forme moyenne, dépourvu des joues mobiles et du test, montrant 13 segmens au thorax et provenant des schistes très-micacés de *Zahoržan*.
31. Individu presque complet, de forme large, dépourvu du test, ayant 13 segmens; *ibid*.
32. Individu presque complet, de forme longue, dépourvu du test, ayant 13 segmens; *ibid*.
33. } Hypostôme vu de face et de profil. *ibid*.
34. }
35. Pygidium isolé, *ibid*.
36. id. vu par le bord postérieur.



- | Fig. | Page—Étage. | Fig. | Page—Étage. |
|--|--|--|---|
| Phacops cephalotes. Cord. . . 509—G | | Phacops Sternbergi. Cord. . . 510—G | |
| 1. | Individu complet, enroulé, conservant une partie de son test, montrant 11 segmens thoraciques. | 18. | Individu d'âge moyen, complet, conservé avec son test, montrant 11 segmens thoraciques. <i>Hostin.</i> |
| 2. | id. vu de côté. | 19. | Individu adulte, presque complet, ayant 11 segmens au thorax, et la plus grande partie de son test. <i>ibid.</i> |
| 3. | id. vu en dessous. | 20. | Fragment vu de profil, montrant les 11 segmens du thorax et la doublure au contour du pygidium. <i>ibid.</i> |
| 4. | id. vu de front. <i>Tetin.</i> | 21. | Tête isolée, vue de profil. <i>ibid.</i> |
| 5. | Fragment grossi de la surface visuelle d'un adulte; <i>ibid.</i> | 22. | Fragment de la glabelle, montrant la sculpture de la doublure sous-frontale. <i>ibid.</i> |
| 6. | Fragment grossi d'un œil en décomposition, montrant un point noir au centre de chaque cupule. <i>ibid.</i> | 23. | Fragment de la surface visuelle, grossi; <i>ibid.</i> |
| 7.) | Hypostôme vu de face et de profil. <i>ibid.</i> | 24.) | Hypostôme vu de face et de profil. <i>ibid.</i> |
| 8.) | | | |
| 9. | Tête isolée, vue en dessous; montrant la sculpture de la doublure sous-frontale. <i>ibid.</i> | 25.) | Tête isolée, vue en dessous, montrant la position de l'hypostôme. <i>ibid.</i> |
| 10. | Tête isolée, d'âge moyen, vue en dessous. | | |
| 11. | Glabelle de la même tête, montrant l'épistôme en place. | 27. | Tête isolée, conservée avec son test, et présentant par exception des pointes génales rudimentaires. <i>ibid.</i> |
| 12. | id. vue de profil. <i>Tetin.</i> | 28. | Tête isolée, de la plus grande taille connue, montrant une partie de son test. |
| 13. | Fragment montrant la doublure du pygidium à gauche, et un morceau du test à droite. <i>Tetin.</i> | 29. | id. vue par dessous. <i>Dvoretz.</i> |
| 14. | Individu complet, dépouillé du test, partiellement enroulé, ayant 11 segmens au thorax. <i>Tetin.</i> | Phacops Boeckii. Cord. . . . 513— $\left\{ \begin{array}{l} F \\ G \end{array} \right.$ | |
| Phacops Bronni. Barr. . . 519— $\left\{ \begin{array}{l} E \\ F \\ G \end{array} \right.$ | | 30. | Individu complet, conservé avec son test, montrant 11 segmens thoraciques. |
| 15. | Individu complet, enroulé, conservant son test, montrant 11 segmens thoraciques. <i>Tetin. G.</i> | 31. | Le même vu de profil. <i>Hostin. G.</i> |
| 16. | Le même vu par le côté opposé, montrant le pygidium. | 32. | Tête isolée vue par dessous. <i>ibid.</i> |
| 17. | Tête isolée, vue par dessous. <i>ibid.</i> | | |

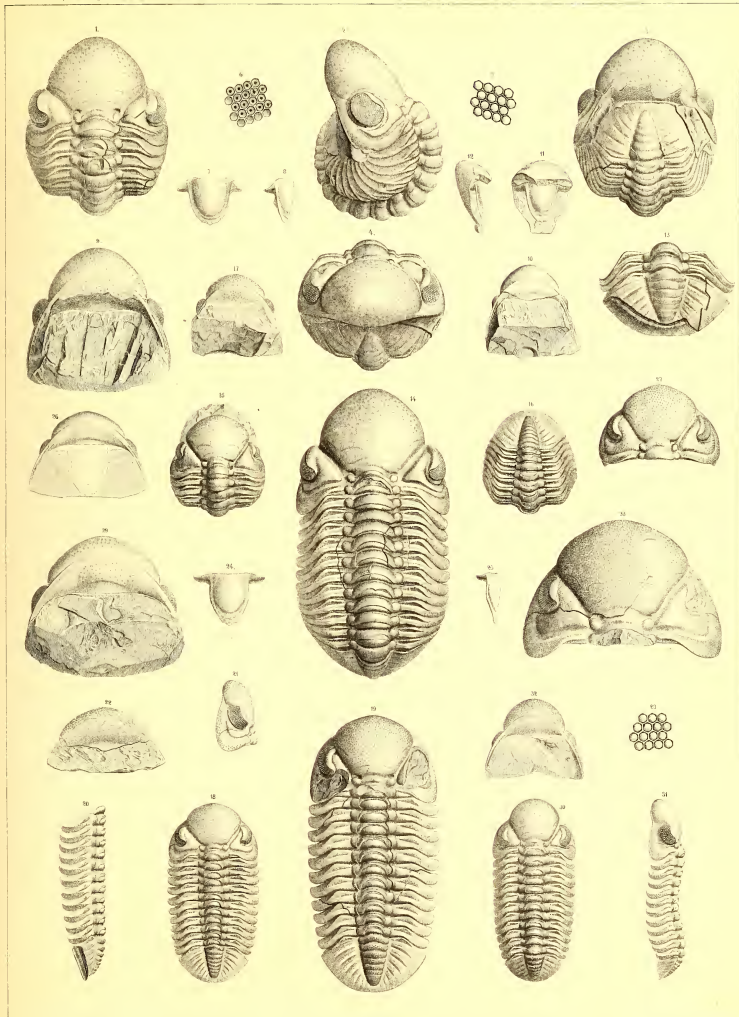




Fig.

Page—Étage.

Fig.

Page—Étage.

Phacops fecundus. Barr.(voir Pl. 22.) . . . 514 $\left. \begin{array}{l} E \\ F \\ G \\ H \end{array} \right\}$ *Var. communis.* E.

1. Individu presque complet, enroulé, conservé avec son test.
2. id. vu de côté.
3. id. vu par dessous. *Kolednik.* E.
4. Tête isolée, vue par dessous, montrant l'étendue de la doublure sous-frontale; *ibid.*
5. Pygidium isolé, conservé avec le test.
6. id. vu de profil. *ibid.*
7. Pygidium isolé, de la plus petite taille connue. *ibid.*
8. } Hypostôme isolé, vu de face, et de profil. *ibid.*
9. }

Var. major. F.

10. Tête isolée, de la plus grande taille connue, dé-pouillée de son test.
11. id. vue de profil. *Muicnian.*
12. id. vue par dessous, montrant la sculpture de la doublure sous-frontale.
13. Fragment du thorax et pygidium d'un autre individu. *ibid.*
14. Pygidium isolé, de taille moyenne. conservé avec son test. *ibid.*
15. id. vu de profil.
16. Pygidium isolé, très-grand, conservé avec son test, dont il montre tous les ornemens. *ibid.*
17. Fragment de l'oeil d'un jeune individu, grossi (4). Les lentilles sont serrées et séparées par des intervalles plats. *Muicnian.*
18. Fragment de l'oeil d'un individu d'âge moyen, grossi (4). Les intervalles entre les lentilles sont assez grands et un peu enflés. *ibid.*
19. Fragment de l'oeil d'un individu de la plus grande taille. grossi (3). Les lentilles, très-espacées, ont leur sommet au dessous du niveau de la cornée très-enflée. *ibid.*
20. } Hypostôme d'un individu de grande taille. *ibid.*
21. }

Var. degener. G.

22. Tête isolée, conservant une partie de son test. *Gross Kuchar.*
 23. Fragment conservé avec une partie du test, montrant les 11 segmens thoraciques et le pygidium. *Gross Morzin.*
 24. Segment grossi (2).
- Var. superstes.* H.
25. Tête un peu restaurée, provenant des schistes, dans lesquels l'original a été un peu comprimé. *Hlubčep.*
 26. Fragment montrant la majeure partie du thorax et le pygidium. *ibid.*
 27. Segment grossi (2).

Phacops Hoeninghausi. Barr. 522—G.

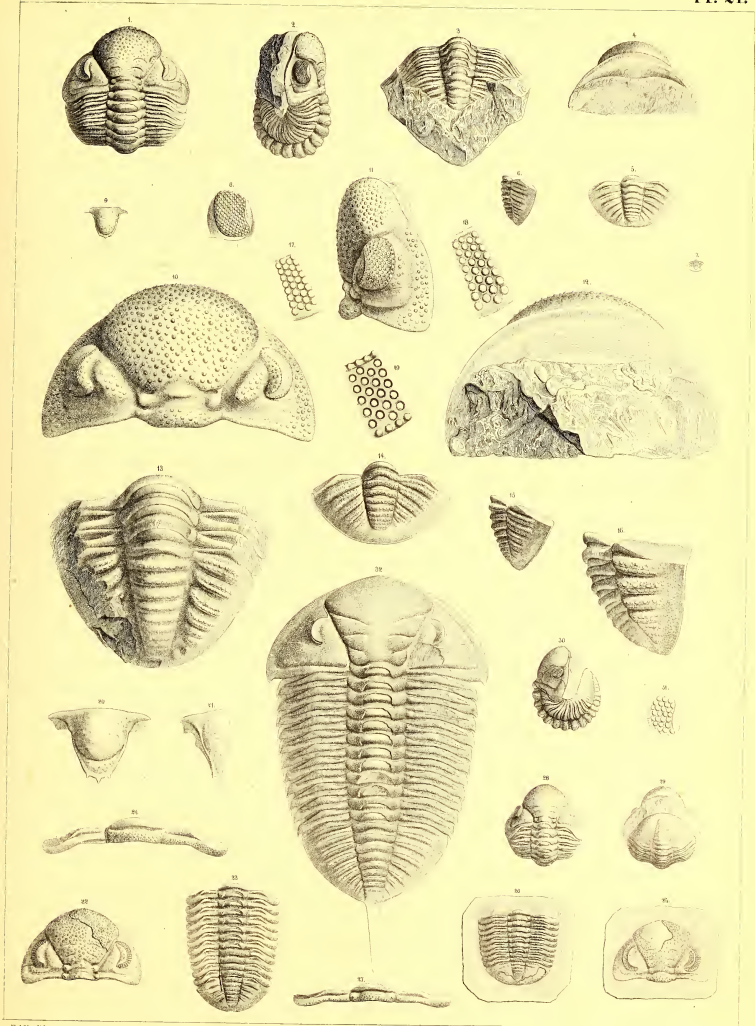
28. Individu complet, enroulé, conservé avec le test et ayant 11 segmens au thorax.
29. id. vu par dessous, montrant le pygidium.
30. id. vu de côté. *Dworetz.*
31. Oeil gauche, grossi (3).

Dalmanites socialis. Barr.

(voir Pl. 22. 26. 27.) . 552—D ✓

Var. proaeva. Emmr.

32. Individu presque complet, très-légèrement restauré, provenant des schistes très-micaécés de *Praskotes.*



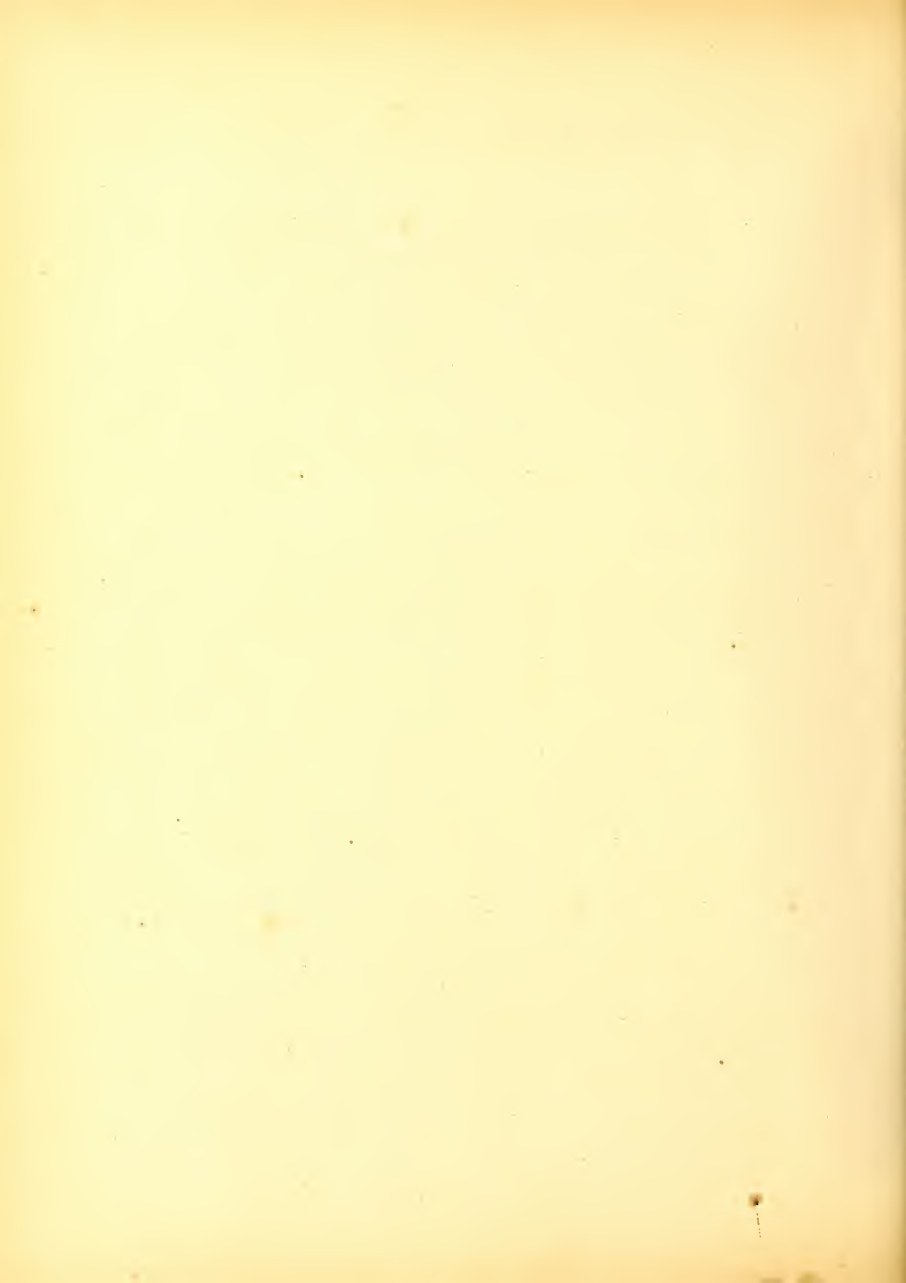


Fig.

Dalmanites Phillipsi. Barr. . . 557—D
(voir Pl. 26.)

1. Individu complet, dépouillé du test, montrant 11 segments au thorax. Schistes très-micacés. — *Zaboržan*.
2. Le même vu de profil.

Dalmanites sociatis. Barr.

Var. proaeva. Emmr.
(voir Pl. 21. 26. 27.) . 552—D

3. Tête isolée, d'âge moyen, forme large. *Zaboržan*; schistes très-micacés.
4. Tête isolée, jeune âge, forme large.
5. id. vue de profil. *ibid.*
6. Tête isolée, d'âge moyen, forme longue. *Zaboržan*; schistes très-micacés.
7. id. vue de profil.
8. Tête isolée, d'âge moyen, forme longue. *ibid.*

Phacops Glockeri. Barr. . . 525—E

9. Individu adulte, presque complet, conservant des fragments du test, et montrant 11 segments au thorax. *Lužetš*.
10. Jeune individu, privé de la tête, ayant 11 segments thoraciques, grossi (2). *ibid.*
11. id. vu de profil.
12. Tête isolée, adulte. *Rochers de Kozel*.
13. id. vue par dessous.
14. id. vue de profil.
15. Pygidium isolé. *Rochers de Kozel*.
16. id. vu de profil.
17. Oeil gauche grossi (2).
18. Quelques lentilles grossies.

Phacops trapeziceps. Barr.
(voir Pl. 27.) . 526—E

19. Tête isolée, adulte, *Collines de Listice*
20. id. vue par dessous.
21. id. vu de profil.
22. Pygidium isolé, adulte. *ibid.*
23. id. vu de profil.

Page—Étage.

Fig.

Page—Étage.

Phacops breviceps. Barr. . . 518—F

24. Tête isolée, adulte. La granulation est un peu trop forte sur la figure. *Konieprus*.
25. id. vue de profil.
26. Thorax et pygidium conservés avec le test. *Mnienian*.
27. id. vu de profil.
28. Tête isolée, montrant l'hypostôme en place. *Konieprus*.
29. id. vu de profil.
30. Tête isolée montrant l'épistôme en place. *Konieprus*.
31. id. vue de profil.

Phacops secundus. Barr. . . 514 }
(voir Pl. 21.) . 514 }
E
F
G
H

32. Tête d'âge moyen, conservée avec son test. *Mnienian F.*
33. La même vue de profil.

Phacops intermedius. Barr. . 511—F

34. Tête isolée, adulte, dépouillée de son test. *Mnienian*.
35. id. vue de côté.
36. Tête isolée, adulte, conservée avec son test. *ibid.*
37. La même vue de profil.
38. Pygidium isolé, adulte, conservant des fragments du test. *Mnienian*.
39. id. vu de profil.

Phacops bulliceps. Barr. . . 527—E

40. Tête isolée, jeune âge, dépouillée de son test. *Kolednik*.
41. id. grossie (2).
42. Tête isolée, adulte, conservée avec son test. *Butowits*.
43. La même vue de profil.
44. Pygidium isolé, grossi (2). *Dlauha Hora*.
45. Pygidium isolé, conservé avec son test, grossi (2).
46. id. vu de profil.

Phacops emarginatus. Barr. 523—F

47. Pygidium isolé, conservé avec son test; montrant des stries sur l'impression de la doublure. *Konieprus*.
48. Le même vu de profil.

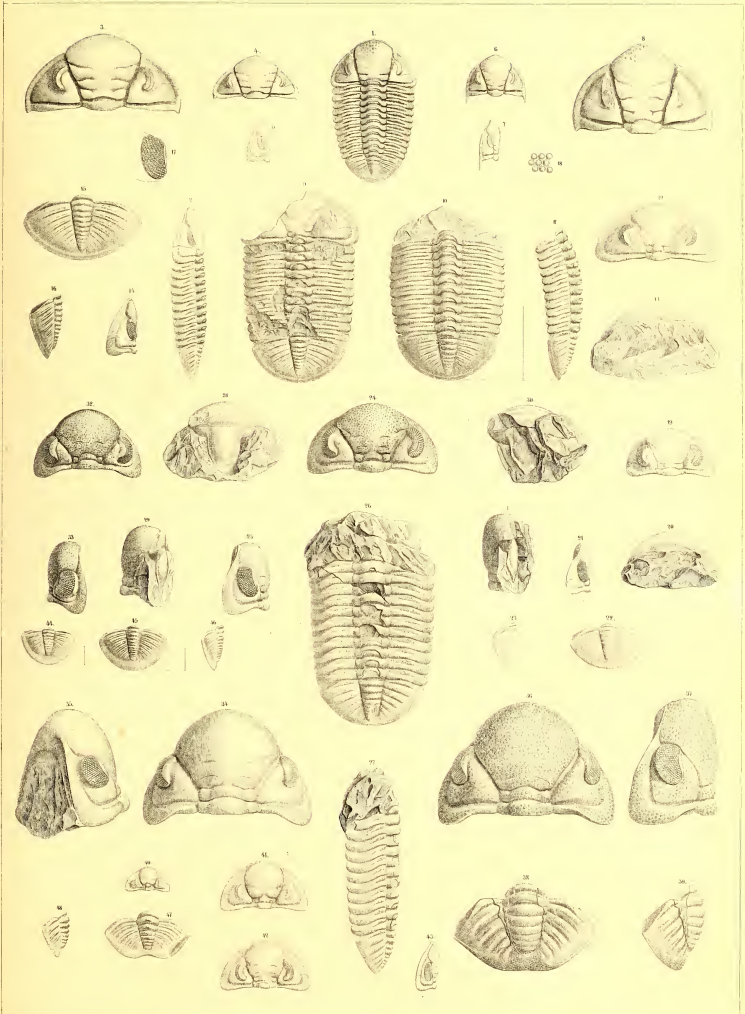




Fig. Page—Étage.

Phacops signatus. Cord. . . 521—F

1. Tête isolée, adulte, dépouillée de son test; grossie (2). *Konleprus.*
2. id. vue de profil.
3. Pygidium isolé, adulte, dépouillé de son test; grossi ($\frac{3}{4}$). *Mulientan.*
4. id. vue de profil.

Phacops miser. Barr. 521—F

5. Tête isolée, adulte, conservant son test; grossie (2). *Lochkow.*
6. id. vue de profil.
7. Pygidium isolé, conservant son test, grossi ($\frac{3}{4}$).
8. id. vu de profil. *ibid.*
9. Segment isolé, grossi (4).

Phacops Tolborthi. Barr. . . 524—E

10. Tête isolée, adulte, conservant son test. *Lochkow.*
11. id. vue de profil.
12. id. vue de front, montrant les yeux sans relief sur le test.
13. Oeil droit, fortement grossi.
14. Pygidium isolé, conservant son test. *ibid.*
15. id. vu de profil.
16. Segment thoracique isolé, grossi (2).

Dalmanites rugosa. Cord.

(voir Pl. 24) . 544—G

17. Individu adulte, à peu-près complet, conservant la plus grande partie de son test, et montrant 11 segments au thorax. *Mt. Danily* près Tetin.

Dalmanites MacCoyi. Barr. 548—G

18. Pygidium isolé, adulte, conservant une partie de son test, orné de perforations et de grains. *Lučets.*
19. Cinquième segment du même pygidium, grossi (2), montrant les grains et les perforations du test, et leurs traces sur le moule intérieur.

Fig.

Page—Étage.

Dalmanites Hausmanni. Brongn. sp.
(voir Pl. 24) . 538—G

20. Pygidium isolé, vu du côté intérieur, et montrant la doublure du test. On voit dans l'intérieur de l'axe les saillies apophysaires du test, correspondant aux deux extrémités des rainures entre les anneaux. *Dworetz*

Dalmanites Angelini. Barr. . 918—D

21. Jeune individu un peu restauré, dépouillé du test, grossi (2). *Gross Kuchel. (Coll. Hawke.)*
22. id. vu de profil.
23. Segment isolé, grossi (4). On voit, à gauche, l'étendue de la doublure.
24. Individu adulte, incomplet, un peu restauré, dépouillé du test. La trace de la doublure paraît à l'extrémité des plèvres. *Gross Kuchel. (Coll. Sacher.)*
25. Pygidium isolé, jeune âge. *ibid.*
26. Joue fixe, montrant des cavités analogues à celles des *Cheirurus. ibid.*
27. id. fragment grossi.

Dalmanites Fletcheri. Barr. 547—G

28. Individu presque complet, un peu restauré, conservant son test, grossi ($\frac{3}{4}$). *Mt. Danily*, près Tetin.
29. id. vu de profil.
30. Segment grossi (3).
31. Fragment de la plèvre, montrant la granulation sur les bandes et les petites cavités dans la rainure, d'après un fort grossissement.

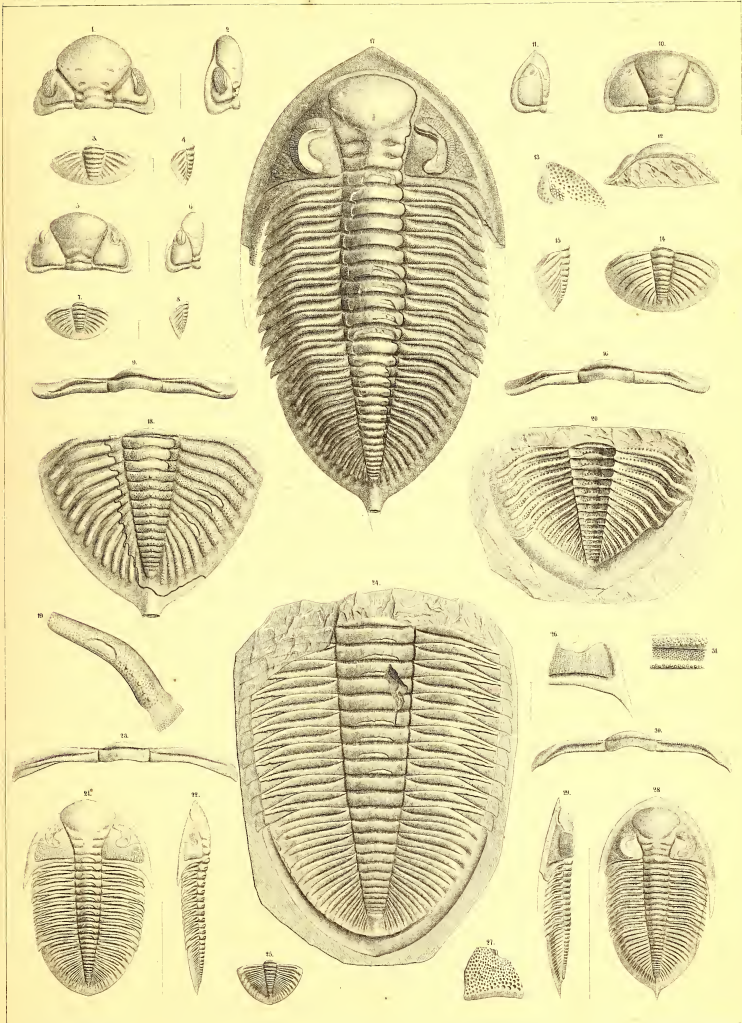


Fig.

Page—Étage.

Dalmanites Hausmanni. Brongn. sp.
(voir Pl. 23) . 538—G

1. Individu complet, d'âge moyen, conservé avec son test, et montrant 11 segmens thoraciques. Le corps est ployé. *Dvoretz. (Musée Bohême.)*
2. Individu adulte, restauré en partie. *Dvoretz.*
3. Glabelle isolée, conservant une partie de son test. *ibid.*
4. Doublure sous-frontale d'un individu adulte, montrant les cavités de sa paroi. *ibid.*
5. Tête isolée, adulte, conservant une partie de son test. *ibid.*
- 6.} Hypostôme vu de face et de profil. *ibid.*
- 7.}
8. Oeil droit, grossi (2). Jeune âge.
9. Quelques files de lentilles du même oeil, grossies.
10. Pygidium isolé, adulte, conservant son test, sur la moitié à gauche et montrant à droite une partie du moule intérieur et de la doublure du limbe. *Dvoretz.*
11. Un segment du même pygidium grossi (2).
12. Fragment du pygidium vu par dessous et montrant la doublure du limbe. *Dvoretz.*

Dalmanites cristata. Cord.

(voir Pl. 27) . 546—G

13. Fragment de la tête d'un adulte de très-grande taille, conservant une partie du test. *Lochkov.*
14. Oeil droit, un peu restauré.
15. Quelques lentilles grossies. On voit les grains qui ornent leurs intervalles.
16. Quelques lentilles en décomposition, laissant apercevoir un point noir à leur base. *Lochkov.*

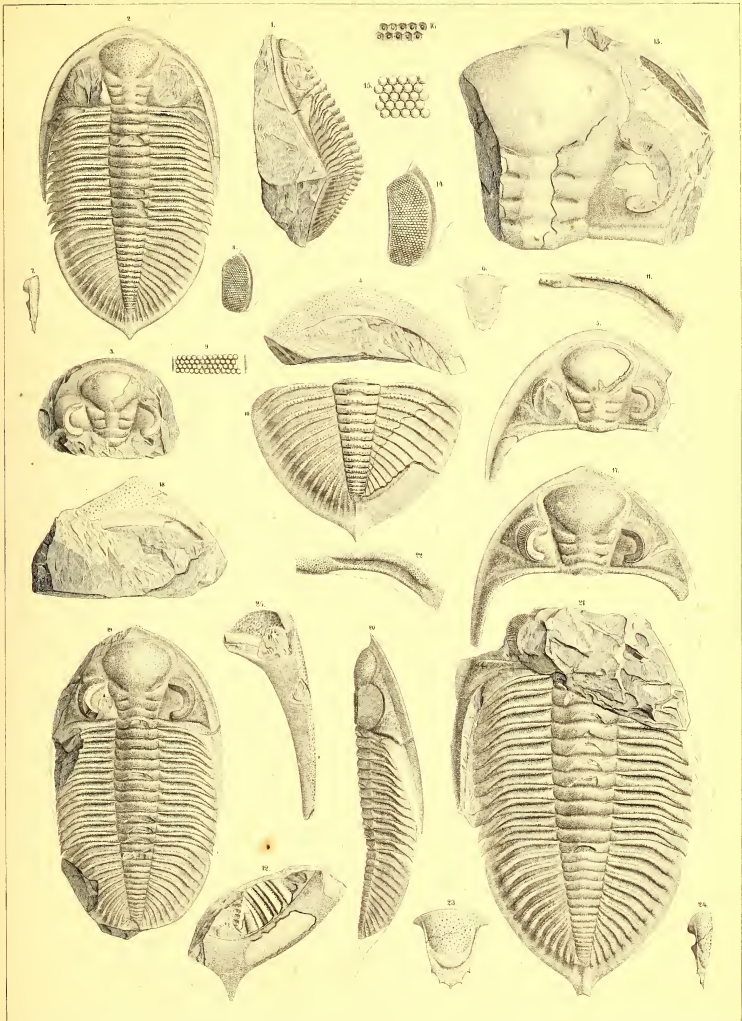
Fig.

Page—Étage.

Dalmanites rugosa. Cord.

(voir Pl. 23) . 544—G

17. Tête isolée, adulte, dépouillée de son test, mais portant la trace de la granulation sur le moule intérieur. Le lobe frontal est orné de 5 fossettes. *Karlstein.*
18. Tête vue par dessous, montrant la doublure sous-frontale et les cavités dont elle est ornée. *Tetin.*
19. Individu de moyenne taille, conservé avec son test, et portant 11 segmens au thorax. *Mt. Damily près Tetin.*
20. Le même vu de profil.
21. Individu de grande taille, privé de la tête, conservant son test, et montrant le thorax et le pygidium presque complets. *ibid.*
22. Segment du pygidium, grossi, montrant les ornemens.
- 23.} Hypostôme isolé, vu de face et de profil. *Mt. Damily.*
- 24.}
25. Fragment d'un grand individu, montrant l'extrémité de la joue fixe et la pointe générale, vues par dessous. *ibid.*





- | Fig. | Page—Étage. | Fig. | Page—Étage. |
|------|---|------|---|
| | Dalmanites auriculata. Dalm. sp.
540—G | | Dalmanites spinifera. Barr.
(voir Pl. 27.) . 541—G |
| 1. | Individu adulte, presque complet, conservé avec son test, ayant 5 fossettes sur la glabelle et 11 segmens au thorax. <i>Hostin.</i> | 15. | Pygidium isolé, de très-grande taille, conservé avec une partie de son test. <i>Wiskočilka</i> près <i>Prague.</i> |
| 2. | Tête vue par dessous, montrant la doublure sous-frontale. <i>Hostin.</i> | 16. | Profil transversal du même. |
| 3. | Oeil grossi. | 17. | Section suivant l'axe longitudinal. |
| 4. | Quelques lentilles fortement grossies. Les grains ornementaux paraissent dans les intervalles. | 18. | Section suivant a. b. |
| 5. | Pygidium isolé, de petite taille. <i>Hostin.</i> | 19. | Fragment du pygidium indiquant la longueur de l'appendice caudal. <i>Hostin.</i> |
| 6. | Pygidium isolé, de la plus grande dimension. <i>Lužetx.</i> | 20.) | Hypostôme isolé, de très-grande taille, vu de face et de profil. <i>Hostin.</i> |
| 7. | Section transverse, près du bord antérieur du pygidium fig. 6. | 21.) | |
| | Dalmanites Reussi. Barr.
(voir Pl. 27) . 543—G | | Acidaspis rebellis. Barr. . . 920a—E |
| 8. | Pygidium isolé, de grande taille, conservant son test. <i>Mt. Damily</i> près <i>Tetin.</i> | 22. | Pygidium isolé, avec un fragment du dernier segment thoracique. <i>Collines de Lisitce.</i> (<i>Coll. Hawle.</i>) |
| 9. | Profil transversal du même. | | Acidaspis Hawlei. Barr. . . 920a—E |
| 10. | Pygidium isolé, de petite taille, conservant son test <i>Mt. Damily.</i> | 23. | Individu incomplet, permettant cependant de compter 9 segmens thoraciques. <i>ibid.</i> |
| 11. | Profil du même, suivant a. b. | 24. | Segment grossi. (2.) |
| 12. | Segment du pygidium grossi (2), montrant les ornemens du test. | 25. | Oeil grossi, montrant les lentilles en relief, sur la surface visuelle. |
| 13. | Fragment d'un autre pygidium, vu par dessous et montrant la doublure. <i>Tetin.</i> | 26. | Pygidium isolé, grossi (2). <i>ibid.</i> (<i>Coll. Hawle.</i>) |
| 14. | Granulation de la doublure, vue à la loupe. | | |

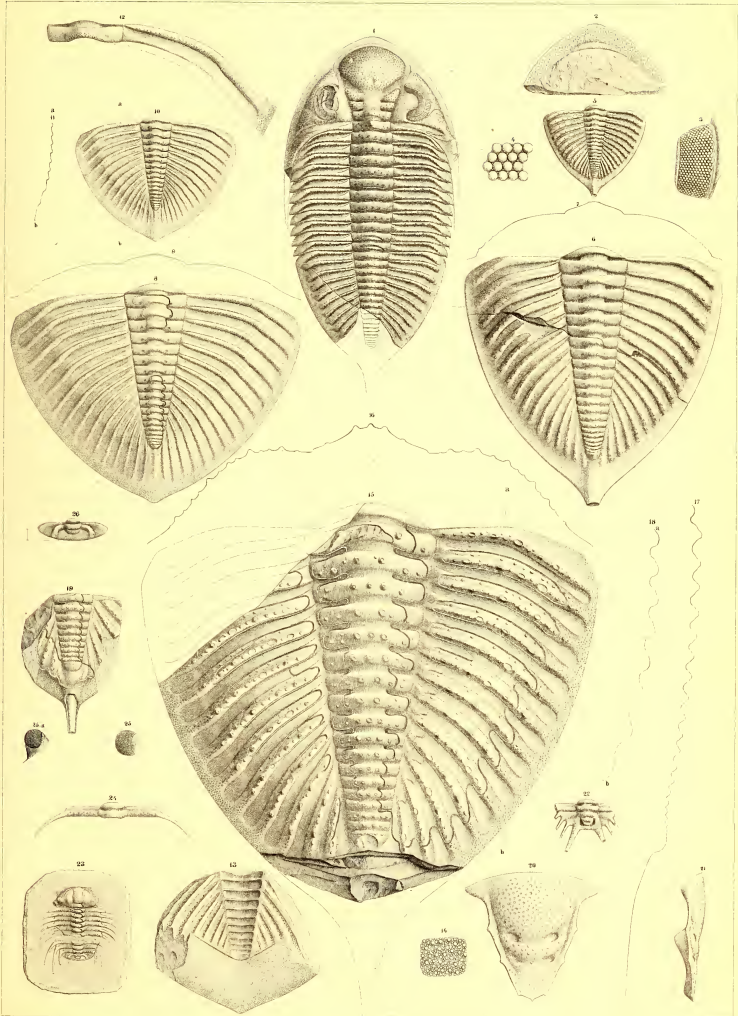


Fig.

Page—Etage.

Dalmanites socialis. Barr.
(voir Pl. 21^r 22. 27.) . 552—D

Individus disposés en série suivant l'âge croissant.
— La fig. **a.** montre la grandeur naturelle de l'exemplaire représenté avec grossissement dans la fig. **b.** correspondante.

	Segmens		Localité
	libres	soudés	
1. Individu ayant	0	2	<i>Trubin.</i>
2. id. id.	0	3	<i>ibid.</i>
3. id. id.	0	4	<i>ibid.</i>
4. id. id.	1	3	<i>ibid.</i>
5. id. id.	2	3	<i>ibid.</i>
6. id. id.	3	3	<i>ibid.</i>
7. id. id.	4	3	<i>ibid.</i>
8. id. id.	5	3	<i>ibid.</i>
9. id. id.	6	6	<i>ibid.</i>
10. id. id.	7	6	<i>ibid.</i>
11. id. id.	9	7	<i>ibid.</i>
12. (thorax complet) forme longue.	11	5	<i>Praskoles.</i>
13. id. forme large.	11	7	<i>Mt. Drabow</i>
14. id. id.	11	9	<i>Trubin.</i>
15. id. id.	11	9	<i>Trubin.</i>
16. adulte (thorax et pygidium complets)	11	11	<i>Mt. Drabow</i>

Tous les jeunes exemplaires figurés appartiennent exclusivement à la variété *socialis*, les deux autres variétés: *proaeva* et *grandis* n'ayant pas été observées pendant leur développement. Dans tous ces individus, le test manque, ou bien se trouve transformé en oxide de fer pulvérulent. La granulation a été figurée (fig. 16, 17) d'après son empreinte sur le moule extérieur, dans les quartzites.

18. Individu adulte, enroulé en sphéroïde aplati. *Mt. Drabow.*
19. Tête d'un adulte, montrant les pointes génales, d'après leur moule interne. *Wesela.*
20. 5^e segment thoracique, avec la granulation, d'après le moule externe. *M. Drabow.*
21. Tête d'un adulte, vue par dessous, montrant l'hypostôme en place.
22. Autre tête, vue de profil et montrant l'ajustement de l'aile de l'hypostôme avec la carapace céphalique. *M. Drabow.*
23. Hypostôme vu de profil. *ibid.*
24. Oeil grossi (4). Les lentilles sont représentées par leurs cupules vides. *Wesela.*
25. Tête d'un adulte, variété *proaeva*, montrant les pointes génales rudimentaires. *Lodenitz.*

Fig.

Page—Etage.

Dalmanites Hawlei. Barr. . 549—D

26. Tête d'un adulte, moule interne. *Wesela.*
27. id. vue de profil.
28. Oeil grossi (2), cupules vides.
29. Pygidium isolé, moule interne, pointe tronquée. (*Coll. Hawlei.*) *Wesela.*
30. id. vu de profil.

Dalmanites Phillipst. Barr.
(voir Pl. 22) . 557—D

31. Tête isolée, adulte, forme large; moule interne. *Zahoržan.*
32. Thorax et pygidium d'un adulte, forme large; moule interne. *Zahoržan.*
33. Tête isolée, adulte, forme longue; moule interne. *Mts. Drabow.*
34. Profil longitudinal de la tête précédente.
35. a. Individu de petite taille et de forme longue, ayant 11 segmens thoracique. Moule interne. *M. Drabow.*
35. b. Le même grossi (2).
36. Pygidium isolé. Moule interne. *Mts. Drabow.*

Dalmanites orba. Barr. . . 560—E

37. Fragment de la tête, conservé avec partie de son test. *Borek.*
38. Pygidium restauré d'après divers fragmens, conservant une partie de leur test. *Borek. (Coll. Hawlei.)*

Dalmanites dubia. Barr. . . 551—D

39. Pygidium de petite taille; moule interne. *Mts. Drabow.*
40. Pygidium de taille moyenne; moule interne. *Lodenitz.*

Dalmanites Deshayesi. Barr.
(voir Pl. 27.) . 550—D

41. Tête de taille moyenne; moule interne. Côteaux dits *Winice* près *Béram.*
42. La même grossie (2).
43. id. vue de profil.

Dalmanites solitaria. Barr.
(voir Pl. 27.) . 556—D

44. Tête d'un adulte; moule interne. *Lodenitz.*
45. La même vue de profil.

Conocephalites Sutzeri. Zenk.
(voir Pl. 13. 14.) . 419—C

46. a. Jeune individu, en voie de développement, et n'ayant encore que 10 segmens libres ou thoraciques et 5 segmens au pygidium. *Ginetz.*
46. b. Le même grossi (3).

Trilobites musca. Barr. . . 914—D

47. a. Pygidium, grandeur naturelle, conservé avec son test. *Koenigshof.*
47. b. Le même grossi (6).

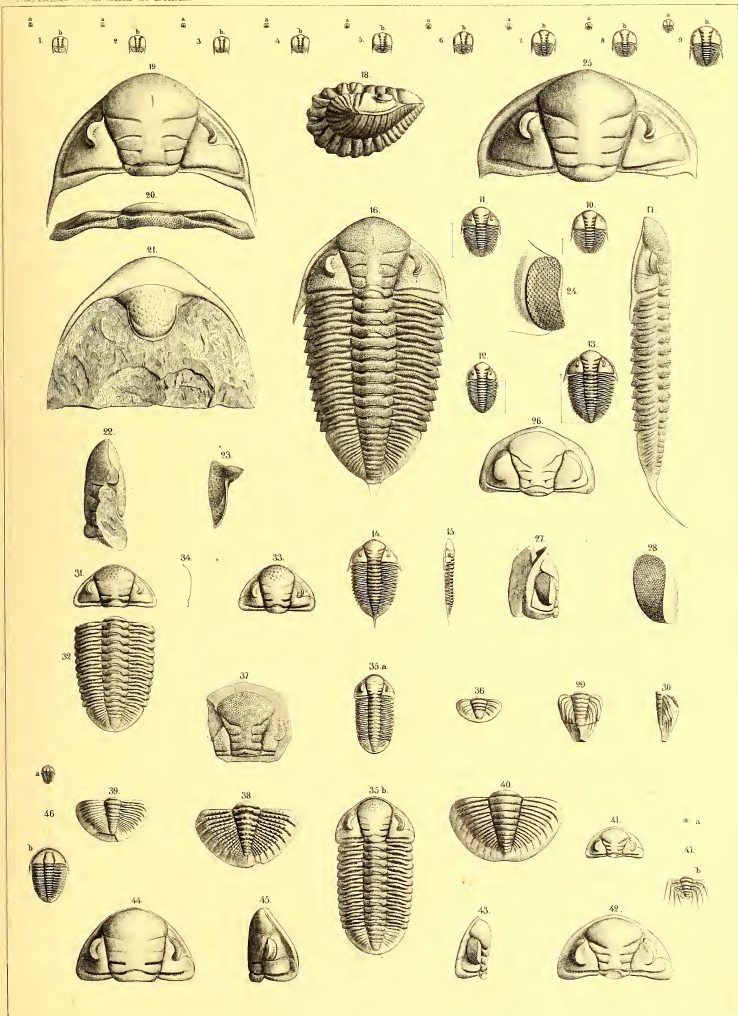


Fig.

Page—Étage.

Oeufs de *Trilobites*. 276^(E)/_(G)

1. Oeufs de la plus petite dimension connue, trouvés dans un fragment de calcaire, avec divers débris de *Phac. secundus*. *Moulin de Roblin. G.*
2. a. Oeuf de dimension moyenne, trouvé avec les débris de divers genres, *Proetus*, *Acidaspis*, *Ampyx* &c. *Borek. E.*
2. b. id. grossi (3).
3. a. Oeuf de la plus grande dimension, trouvé avec les débris de divers genres, *Lichas*, *Cheirusus*, *Acidaspis* &c. *Lodenitz. E.*
3. b. id. grossi (3) montrant une brisure dans l'enveloppe.

Dalmanites *spinifera*. Barr.

(voir Pl. 25.) . 541—G

4. Tête isolée, de la plus grande taille connue, conservée avec son test.
5. id vue de profil. *Hostia.*
6. Pygidium isolé, de petite taille, conservé avec son test. *ibid.*
7. Fragment de l'oeil (fig. 4) grossi, montrant les grains entre les lentilles.

Dalmanites *Morrisiana*. Barr. 559—D

8. Individu adulte, presque complet, un peu restauré, conservant son test. *Mt. Kosow près Béraun.*
9. Pygidium isolé, adulte, conservé avec son test. *ibid.*

Dalmanites *Deshayesi*. Barr.

(voir Pl. 26.) . 550—D

10. Tête isolée, adulte, dépourvue de son test. *Trubin.*
11. Fragment montrant le thorax avec 11 segments et le pygidium, dépourvus de leur test. *ibid.*

Dalmanites *solitaria*. Barr.

(voir Pl. 26.) . 556—D

12. Jeune individu, enroulé et dépourvu de son test, grossi (2). (*Coll. Sacher.*) Tranchée du chemin de fer, près *Lieben.*
13. Jeune individu, légèrement restauré; grossi (2). *Gross Kuchel.*
14. Pygidium isolé, adulte, montrant la longueur de l'appendice caudal. *Gross Kuchel. (Coll. Hawle.)*

Fig.

Page—Étage.

Dalmanites *socialis*. Barr.var. *grandis*. (voir Pl. 26.) . 552—D

15. Individu de la plus grande taille, dépourvu de son test, un peu restauré. *M. Kosow près Béraun. (Coll. Sacher.)*
16. Fragment de la surface, portant la trace de la granulation sur le moule intérieur.
17. Fragment de l'oeil, montrant une partie des lentilles en place, tandis que les autres sont représentées par leurs capsuls vides.

Dalmanites *Reussi*. Barr.

(voir Pl. 25.) . 543—G

18. Fragment de la tête, conservé avec son test. *Mt. Damly près Tetin.*

Dalmanites *cristata*. Cord.

(voir Pl. 24.) . 546—G

19. Tête adulte, conservant une partie de son test. *Lochkow.*
20. Pygidium isolé, de taille moyenne, conservant son test. *ibid.*
21. Fragment d'un segment du pygidium, grossi, montrant la granulation.

Proetus *orbitatus*. Barr.

(voir Pl. 15.) . 444—F

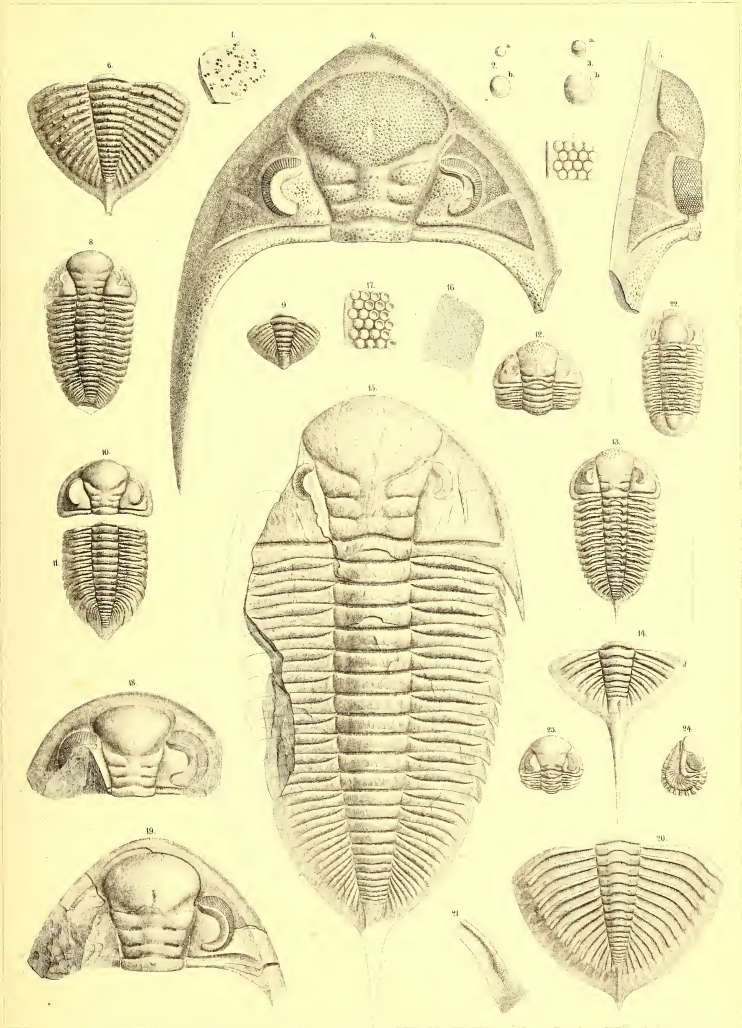
22. Individu adulte, conservant son test, un peu restauré. *Muizenan. (Coll. Hawle.)*

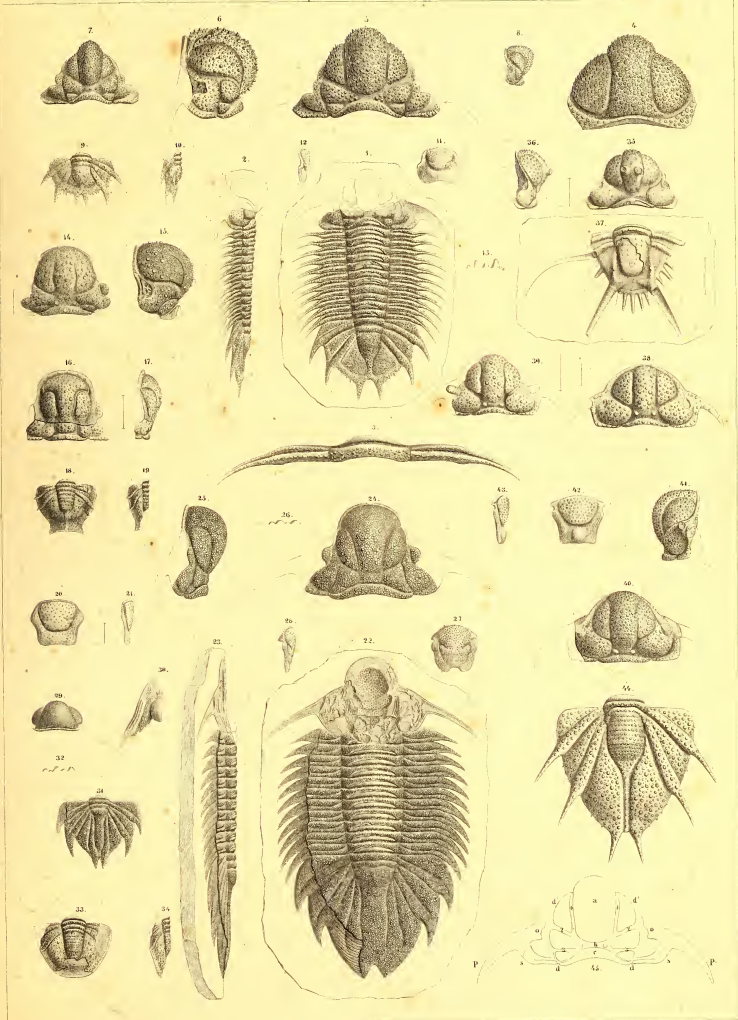
Phacops *trapeiceps*. Barr.

(voir Pl. 22.) . 526—E

23. Individu adulte, enroulé, vu par le dos. *Collines de Listice.*
24. Le même vu de côté.

Trilobites of the Devonian





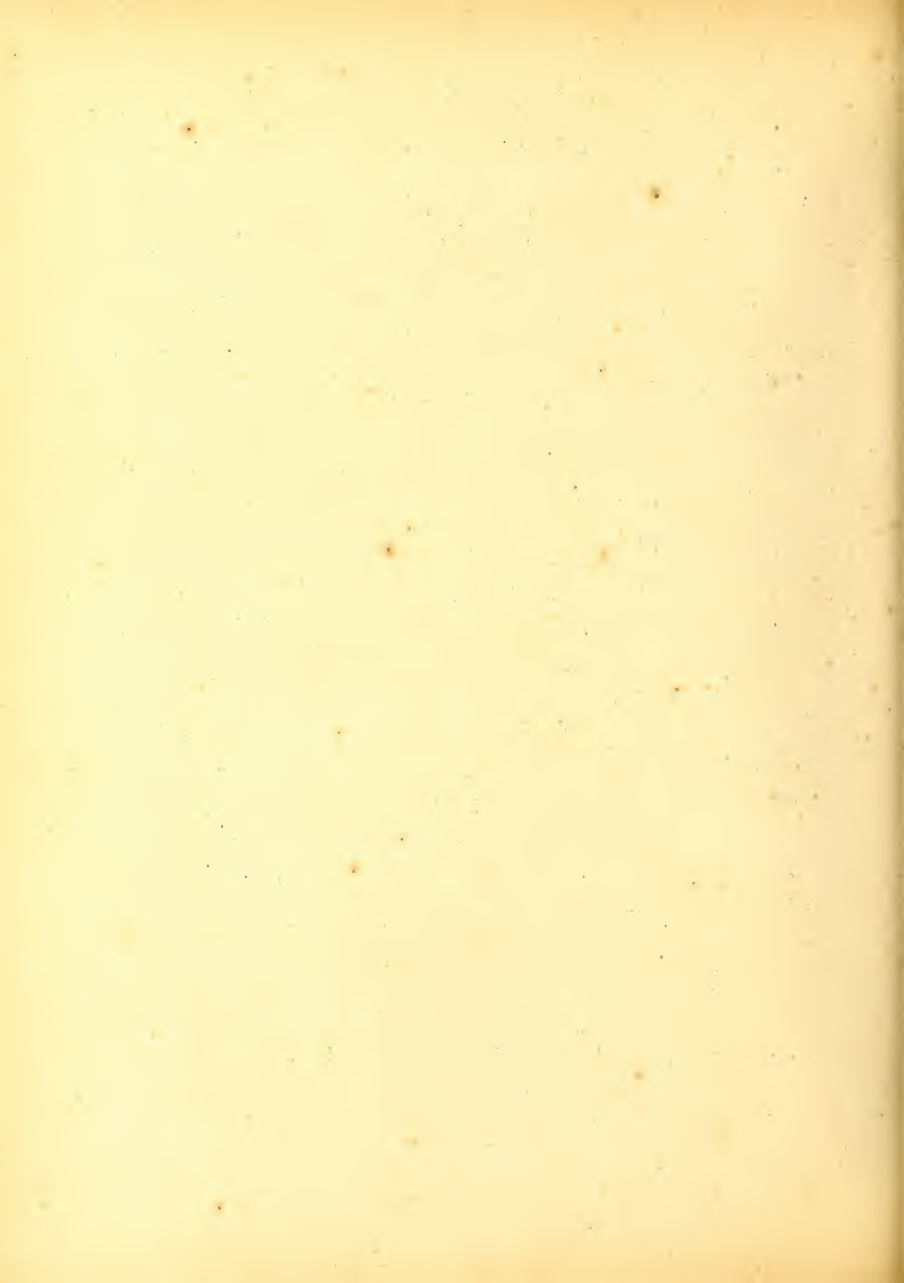


Fig.

Page—Étage.

Trinucleus ornatus. Sternberg sp.
(voir Pl. 30.) . . . 624—D

1. Jeune individu en voie de développement, ayant 3 segmens thoraciques. *Lodenitz.*
2. Jeune individu ayant 4 segmens au thorax. *Côteaux dits Winice près Béraun.*
3. Jeune individu ayant 5 segmens au thorax et conservant les pointes du limbe. *Côteaux de Winice.*
4. Hypostôme vu dans l'intérieur de la glabelle. Les bords paraissent incomplets. *Lodenitz.*
5. Tête adulte, grossie (2). A gauche, le limbe est conservé avec son test, et avec ses perforations. A droite on voit l'impression de la doublure, portant les petits cônes moulés dans les ouvertures du limbe enlevé. *Trubia.*
6. Tête adulte, grossie (2), vue par dessous, montrant la doublure du limbe, conservée avec son test. *Côteaux de Winice.*
7. Une rangée de perforations, à partir de la joue jusqu'au contour, grossie (4).
8. Section verticale du limbe, par le milieu de la rangée des perforations, fig. 7.
9. Pygidium d'un adulte, conservé avec son test; grossi (2). *Lodenitz.*

Trinucleus Bucklandi. Barr. 621—D

10. Individu complet, d'âge moyen, ayant 6 segmens thoraciques, et portant les tubercules oculaires sur les joues. Le test manque. *Koenigshof.*
11. Individu adulte, de la plus grande taille, ayant 6 segmens au thorax, et conservant quelques fragmens du test. Les joues sont dépouvrées de tubercules oculaires. *Koenigshof.*
12. id. vu de profil.
13. Section verticale de l'impression du limbe, au droit de la joue.
14. Individu adulte, enroulé, ayant 6 segmens au thorax. Les joues sont dépouvrées de tubercules. *Koenigshof.*
15. id. vu par le pygidium.
16. id. vu de profil.
17. Ornementation polygonale, observée sur l'impression de la paroi interne du test céphalique. *Koenigshof.*

Trinucleus ultimus. Barr. . . 631—D

18. Tête, grossie (2), conservée avec son limbe perforé. *Koenigshof.*
19. La même vue de profil.
20. Tête plus jeune. *Koenigshof.*

Fig.

Page—Étage.

Homalonotus rarus. Cord. sp. 581—D ✓

21. Tête dépouvrée des joues mobiles et dépouillée du test; grossie (4). *M^{ts}. Drabow.*
22. La même vue de profil.

Illacnus distinctus. Barr. . . 687—D ✓

23. Individu adulte, incomplet? ne montrant que 8 segmens au thorax. *Lodenitz.*
24. Le même vu de profil.

Illacnus Hisingeri. Barr. . . 681—D ✓

25. Individu adulte, complet, de forme large, ayant 8 segmens au thorax. *Koenigshof.*
26. Segment thoracique, grossi (2).
27. Individu adulte, complet, de forme longue, conservant une partie du test. *Koenigshof.*
28. Le même vu de profil.
29. Jeune individu, en voie de développement, montrant 4 segmens libres au thorax et 3 segmens encore soudés au pygidium. *Koenigshof. (Coll. Hawle.)*

Placoparia Zippi. Boeck. sp. 803—D ✓

30. Tête adulte, dépouvrée du limbe général et déponillée du test. *M^{ts}. Drabow.*
31. Tête plus petite, grossie (3) vue de profil et montrant le limbe général bien conservé. *Trubska.*
32. Individu de petite taille, portant 12 segmens au thorax, et dépouvré du pygidium. *Local. inconnue. (Musée Bohême.)*
33. Segment thoracique grossi (3).
34. Individu d'âge moyen, presque complet, légèrement restauré, montrant 12 segmens au thorax et 5 au pygidium, grossi (2). *Local. inconnue. (Musée Bohême.)*
35. Le même vu de profil.
36. Section verticale d'un segment thoracique.
37. Hypostôme vu de face et de profil. *Trubska.*
38. id.

Conocephalites striatus. Emmer.
(voir. Pl. 14.) . . . 426—C ✓

39. Individu adulte, complet, montrant 10 segmens au thorax. *Ginets.*

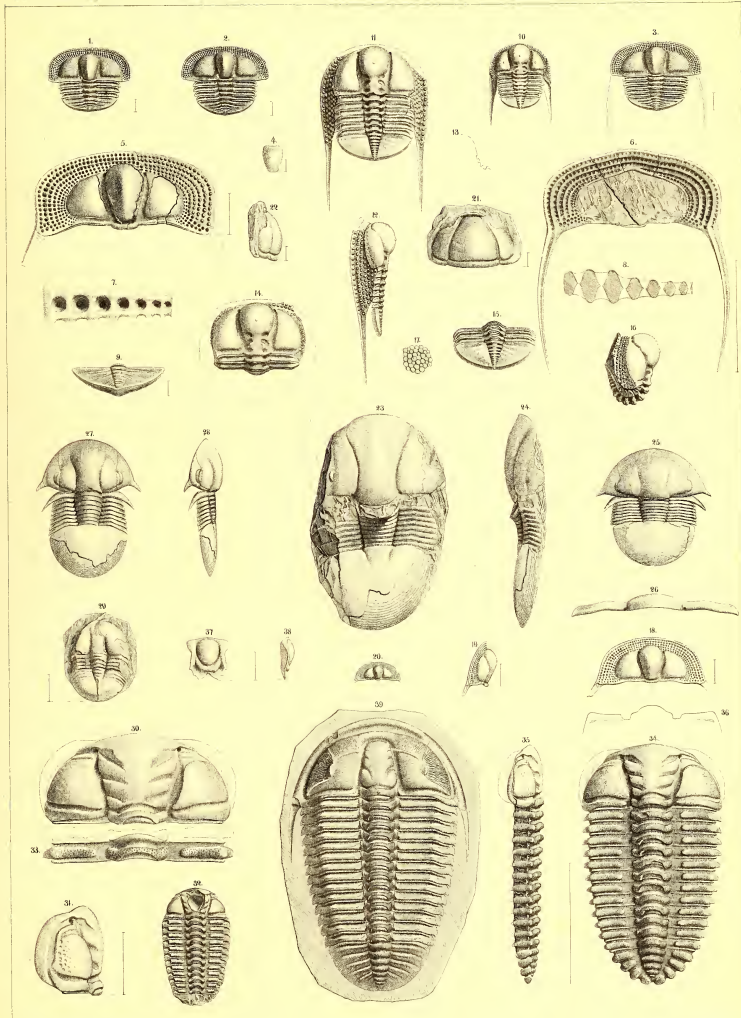


Fig.

Page—Étage.

Ilacenus transfuga. Barr. . 688—D

1. Pygidium adulte, dépourvu de son test. *Mt. Drabow.*
2. id. vu de profil.
3. Pygidium de petite taille, conservant une partie de son test. *Lodenitz. (Coll. Haclc.)*

Ilacenus Panderi. Barr.
(voir Pl. 35) . 682—D

- 4.) Individu adulte, enroulé. Moule interne montrant 9 segmens au thorax. *Lodenitz.*
- 5.)
- 6.)
7. Tête isolée, conservant une partie de son test. *ibid.*
8. id. vue de profil. — Les pointes génales manquent.
9. Fragment du test, grossi, montrant les cavités dont il est orné.
10. a. Pygidium isolé d'un individu en voie de développement, et portant un segment thoracique non détaché. *Mt. Kosov.*
10. b. id. grossi (3).
11. a. Pygidium isolé d'un individu en voie de développement, et portant 2 segmens thoraciques non détachés. *ibid.*
11. b. grossi (3).

Amphion Lindaueri. Barr. . 820—D

12. Pygidium isolé, dépourvu de son test. Mines de fer de *Hlava près Komarov.*
13. Le même vu de profil.

Trinucleus Bucklandi. Barr.
(voir Pl. 29.) . 621—D

14. Tête isolée, d'âge moyen, dépourvue de son test.
15. La même vue de front.
16. id. id. vue de profil. *Koenigshof.*

Ampyx Rouaulti. Barr. . . 638—E

17. Jeune individu en voie de développement, n'ayant que 3 segmens au thorax. *Borek.*
18. Jeune individu ayant 4 segmens au thorax. *ibid.*
19. Individu adulte, complet, montrant 5 segmens thoraciques. *ibid.*
20. Le même grossi (3).
21. Premier segment thoracique grossi (6), d'après la fig. 19.
22. Second segment thoracique grossi (6) d'après la fig. 19.
23. Pygidium isolé, grossi (4).

Ampyx Portlocki. Barr. . . 636—D

24. Individu adulte, conservant une partie de son test. *Koenigshof.*
25. Tête et premier segment du même individu, grossis (2).
26. Individu adulte, dépourvu de son test. *ibid.*
27. Tête isolée, dépourvue de ses joues mobiles. *ibid.*
28. Pygidium isolé. *ibid.*

Fig.

Page—Étage.

Trinucleus Goldfussi. Barr. 628—D ✓

29. Jeune individu, en voie de développement, ayant 4 segmens thoraciques. *Mts. Drabow.*
30. Jeune individu en voie de développement, ayant 5 segmens thoraciques. *ibid.*
31. Individu adulte, dépourvu du test; ayant 6 segmens au thorax.
32. id. vu de côté. *Wesela.*
33. Segment thoracique, grossi (2).
34. Tête isolée, de la plus grande taille connue; dépourvue du test. La partie du limbe, à gauche, montre les perforations dans la roche moulée entre le test et sa doublure. On voit, sur la partie à droite, les cônes saillans qui correspondent aux cavités de la doublure. *Wesela.*
35. La même tête vue de front.
36. Tête de taille moyenne, vue de profil, conservant la pointe occipitale. *Wesela.*
37. Impression extérieure d'une jeune tête, montrant la trace de la granulation du test. *ibid.*
38. Individu adulte dont le canal intestinal est ouvert dans toute sa longueur. *ibid.*
39. Individu dans lequel le canal intestinal est représenté par la matière qui l'a rempli. *ibid.*
40. Individu enroulé. *ibid.*

Trinucleus ornatus. Sternb. sp.
(voir Pl. 29.) . 624—D ✓

Individus disposés en série suivant l'âge croissant. Chacun d'eux est représenté par deux figures, dont l'une (a) montre la grandeur naturelle et l'autre (b) un grossissement variable. On trouve, pour chaque âge, des exemplaires avec ou sans pointes génales, suivant leur état de conservation.

41. Jeune à 0 segmens thoraciques. *Trubin.*
42. id. 0 id. (pointes gén.) *id.*
43. id. 1 id. (sans point.) *id.*
44. id. 1 id. (point gén.) *id.*
45. id. 2 id. (sans point.) *id.*
46. id. 2 id. (point gén.) *id.*
47. id. 3 id. *id.*
48. id. 4 id. *id.*
49. id. 5 id. (sans point.) *id.*
50. id. 6 id. *id.*

Ce dernier individu représente la plus petite taille connue à 6 segmens thoraciques.

51. Adulte, sans pointes génales. Le contour du limbe figure une courbe très-surbaissée.
52. id. vu de front. *Praskoles.*
53. Adulte conservant une partie de son test sur le limbe, à droite. *Trubin.*
54. Adulte, sans pointes génales. Le contour du limbe forme une courbe arrondie, qui contraste avec celle de la fig. 51. Côtes dits *Winice près Béraun.*
55. Tête vue de profil, montrant la pointe occipitale. *Trubin.*
56. Segment conservé avec son test, orné de cavités: grossi (3). *Lodenitz.*
57. Tête adulte, ornée de cavités sur les joues seulement. *ibid.*
58. Tête adulte, ornée de cavités sur les joues et sur la glabella. *Trubin.*
59. Tête adulte, ornée de cavités sur la glabella seulement. *ibid.*
60. Jeune individu enroulé. *ibid.*

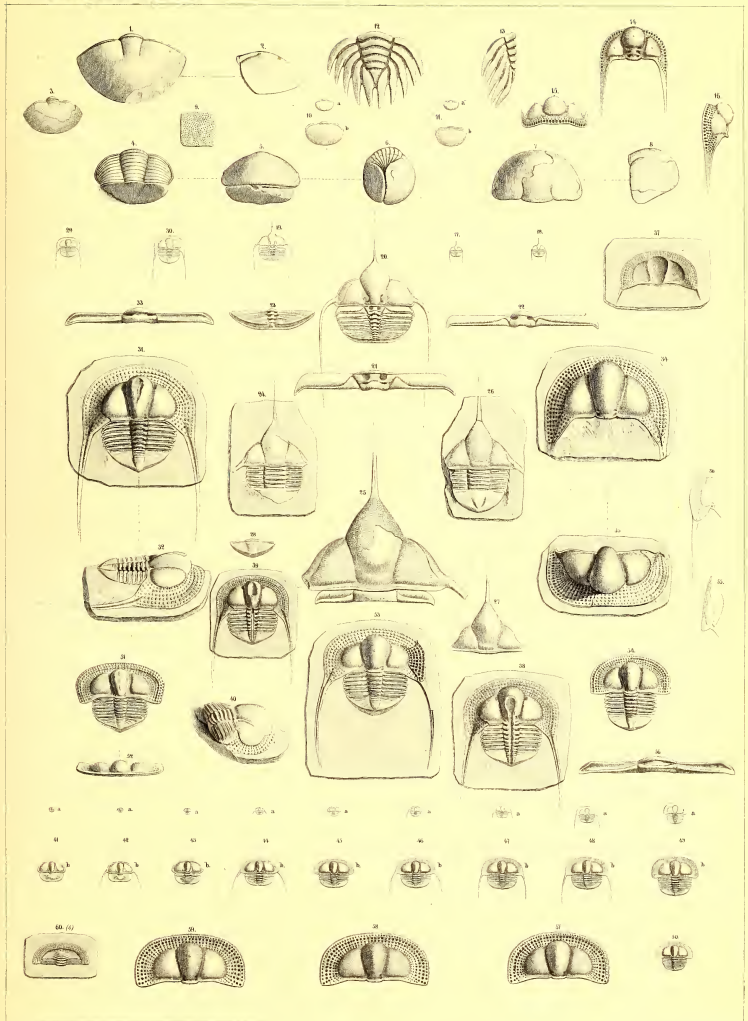


Fig.

Asaphus nobilis, Barr.

(voir Pl. 32. 35.) . 657—D

1. Individu adulte, de forme longue, presque complet, représenté par son moule interne. On aperçoit l'impression de l'hypostôme en place et celle de la doublure du test, tout autour de la tête. Cette doublure, indiquée par les courbes concentriques au contour, est très-développée dans cette espèce. Sa largeur correspond à celle de la doublure des plèvres thoraciques, également indiquée sur le moule, par la direction des stries, sub-parallèle à l'axe. Les ornemens de la paroi dorsale du test se sont transmis sur le moule interne, dans les diverses parties du corps, à cause de la grande ténuité de ce tégument, sur la paroi intérieure duquel ils étaient reproduits en sens inverse de la paroi externe. *Zahoržan*.

Page—Etage.

Fig.

Page—Etage.

2. Jeune individu, de forme longue, ayant 8 segmens thoraciques. L'axe du pygidium ne présente pas sur ses anneaux les ornemens qui caractérisent l'âge adulte. *Koenigshof*.
3. Individu de forme large, plus jeune que celui de la fig. 2, *Koenigshof*.
4. Pygidium isolé d'un jeune individu. On voit la trace distincte des ornemens, sur les anneaux de l'axe. *Zahoržan*.
5. Pygidium d'un individu plus jeune, laissant à peine apercevoir une indication des ornemens sur ses anneaux. *Zahoržan*.
6. Hypostôme d'un jeune individu. *Koenigshof*.
7. Tête de la plus petite taille connue. *Trubin*.
8. Pygidium de la plus petite taille connue. *Trubin*.

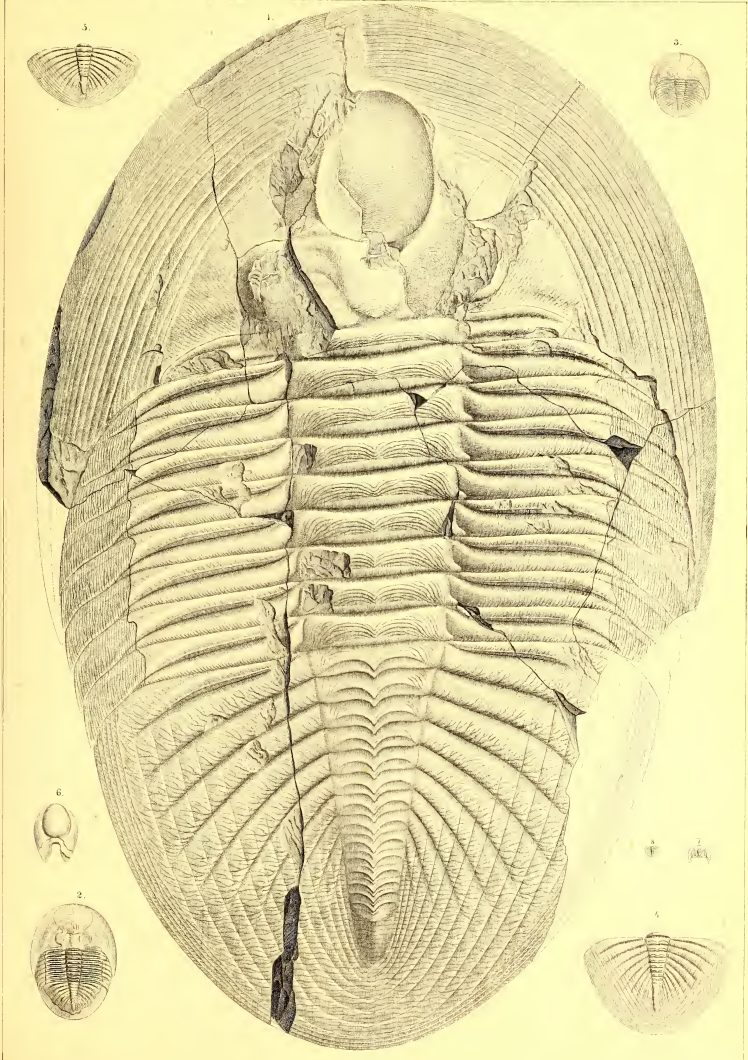


Fig.

Page—Étage.

Asaphus nobilis, Barr.

(voir Pl. 31. 35.) . 657—D

1. Individu adulte, de forme large, presque complet, représenté par son moule interne. On aperçoit l'impression de l'hypostôme en place, et celle de la doublure du test, autour de la tête. Cette doublure est également indiquée sur les plèvres thoraciques, par des stries sub-parallèles à l'axe du corps. Les ornemens de la paroi dorsale ou externe du test, ont été transmis sur le moule interne, au thorax et au pygidium, à cause de la ténuité du tégument sur la paroi intérieure duquel ils étaient reproduits en sens inverse de la surface extérieure. *Zahoržan*.

Fig.

Page—Étage.

2. Jone isolée, de taille moyenne, montrant les ornemens de la paroi externe ou dorsale du test. *Zahoržan*.
3. id. vue de profil.
4. Glabelle isolée, déponillée du test, montrant par son contour le tracé de la suture faciale. *Zahoržan*.
5. Oeil isolé, appartenant à un très-grand individu. *Zahoržan*.
6. Hypostôme isolé. *Zahoržan*.

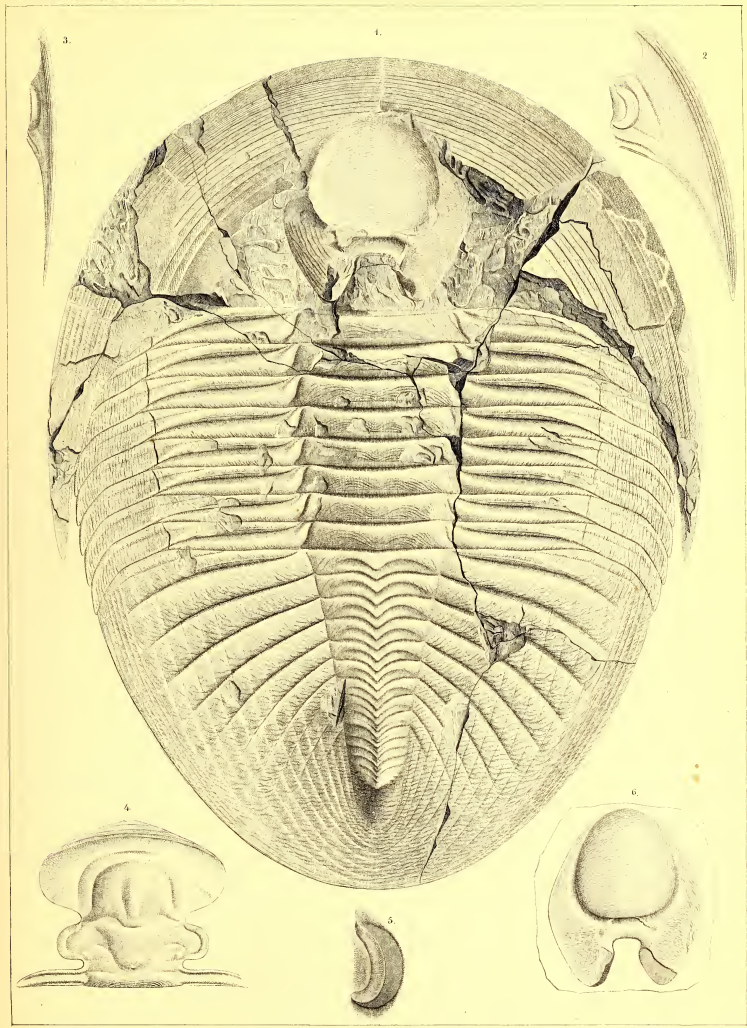




Fig.

Page—Etage.

Asaphus ingens. Barr.

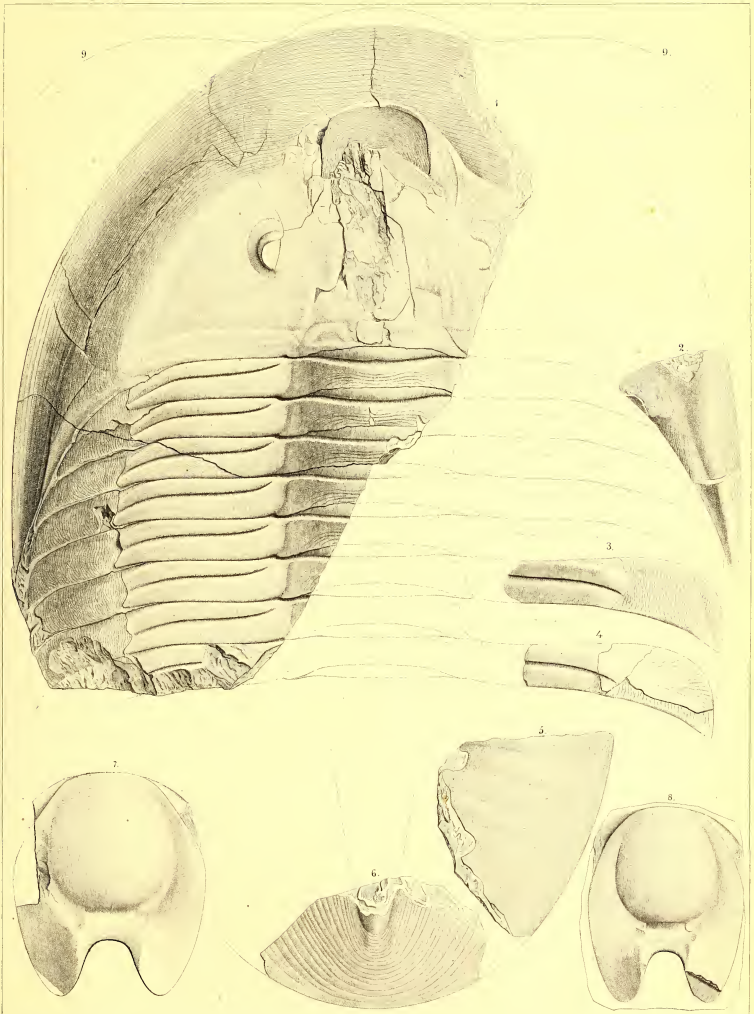
(voir Pl. 34.) . 661—D

1. Fragment dépouillé de son test, montrant la majeure partie de la tête et des huit segmens thoraciques. La partie frontale de la gabelle étant enlevée, on aperçoit la trace de l'hypostôme. On voit l'impression de la doublure striée, vers le bout de chaque plèvre *Wesela*.
2. Fragment de la pointe génale. La partie antérieure représente l'impression de la doublure du test sur la roche. La partie postérieure montre la roche moulée dans la cavité de la pointe, entre la doublure et le test. *ibid.*
3. Fragment d'une plèvre. La partie striée représente l'impression de la doublure. *ibid.*

Fig.

Page—Etage.

4. Fragment d'une autre plèvre. La majeure partie de la surface montre l'impression de la paroi interne du test dorsal. On aperçoit, vers le bord postérieur, l'impression des stries de la doublure, comme dans la fig. 3. *ibid.*
5. Fragment d'un pygidium, appartenant à un autre individu, et dépouillé de son test. *ibid.*
6. Hypostôme isolé, dépourvu de ses ailes et de son test. *ibid.*
7. Hypostôme dans le même état de conservation que le précédent. L'extrémité de l'un des appendices étant enlevée, on voit les stries parallèles, sur l'impression de la doublure. *ibid.*
8. Profil linéaire, transverse, montrant le bombement au droit de l'anneau occipital.



- Fig. Page—Étage.
- Asaphus ingens.** Barr. 661—D
(voir Pl. 33.)
1. Fragment de la pièce médiane de la tête, montrant la glabelle et le limbe frontal. Moule interne, conservant l'impression des ornements du test. *Wesela. (Coll. Hawle.)*
 2. id. Profil longitudinal.
- Aeglina rediviva.** Barr. 665—D
Jeunes individus.
3. ayant 2 segmens au thorax. *Trubin.*
 4. 3 id. *ibid.*
 5. 4 id. *ibid.*
 6. 5 id. grossi (3). *ibid.*
 7. adulte 6 id. grossi (3). *ibid.*
 8. id. Profil longitudinal.
- Tous ces individus sont représentés par le moule interne, bien conservé. Ils sont dépourvus de leurs yeux.
9. Tête isolée d'un adulte, portant les yeux en place. Moule interne. *Lodenitz.*
 10. id. vue de profil.
 11. Fragment de l'oeil, fortement grossi, pour montrer les lentilles conservées sur la tête fig. 9.
 12. Pygidium isolé d'un jeune individu, portant 2 segmens thoraciques en voie de développement, grossi (5). *Trubin.*
 13. Pygidium isolé d'un jeune individu, portant 1 segment thoracique encore soudé. *Trubin.*
- Aeglina pachycephala.** Cord. sp. 668—D
14. Jeune individu, ayant 4 segmens au thorax. Environs de *Knězkovitz.*
 15. adulte, ayant 5 segmens thoraciques grossi (3). La tête est dépourvue des yeux. *Trubin.*
 16. id. Profil longitudinal.
 17. a Tête isolée, adulte; conservant l'oeil droit.
 17. b Oeil gauche isolé.
 18. Pygidium isolé, adulte, grossi (3).
- Tous ces morceaux représentent le moule interne.
- Illaenus Wahlbergianus.** Barr. 684—D
19. a Jeune individu, ayant 4 segmens libres au thorax et 5 segmens encore soudés au pygidium. *Moule interne. Koenigshof.*
 19. b id. grossi. (4).
 20. Adulte, ayant 9 segmens thoraciques. Moule interne. On voit une partie de la doublure, sous le pygidium. *Königshof.*
 21. Le même grossi (2).
 22. id. vu de côté.
 23. Joue isolée, portant l'oeil grossi (3). *Koenigshof.*
 24. Doublure sous-frontale, grossie (3). *ibid.*
 25. Segmens thoraciques grossis (4). *ibid.*

- Fig. Page—Étage.
- Illaenus Bouchardi.** Barr. 689—E
26. Individu de petite taille, complet, montrant 10 segmens thoraciques et quelques fragmens du test. *Lužetz.*
 27. id. vu de côté.
 28. Glabelle isolée, de la plus grande taille, moule interne conservant des fragmens du test *S'. Ivan.*
 29. Fragment du test fortement grossi, montrant les stries et les cavités de la surface.
 30. Segmens thoraciques, grossis (2) d'après la fig. 26.
 31. Pygidium isolé, de la plus grande taille. Moule interne montrant à droite un fragment du test, et vers l'arrière, l'impression de la doublure. *Collines de Listice.*
 32. Joue mobile isolée, portant l'oeil et conservant une partie du test. *ibid.*
 33. id. vue de profil, par derrière.
 34. Doublure sous-frontale, isolée, conservée avec le test. *ibid.*
 35. Tête d'un jeune individu, conservant son test. *Lužetz.*
 36. id. vue par dessous, montrant la doublure sous-frontale et les sutures.
 37. Pygidium d'un jeune individu, conservé avec son test. *ibid.*
 38. id. vu de côté.
- Illaenus tardus.** Barr. 691—E
39. Joue mobile isolée, conservant une partie de l'oeil et du test. *Collines de Listice.*
- Homalonotus Bohemicus.** Barr. 580—D ✓
40. Fragment montrant une partie de la tête et du thorax. Moule interne, grossi (2). *M^{rs}. Drabow.*
 41. Pygidium isolé, grossi (2). *ibid.*
 42. Fragment montrant 10 segmens thoraciques et le pygidium. Moule interne, grossi (2). *ibid.*
- Trilobites mutilus.** Barr. 915—D ✓
43. Tête et fragment du thorax, moule interne, grossi (3). *Koenigshof.*
- Trilobites inchoatus.** Barr. 914—D ✓
44. Tête isolée. Moule interne, grossi (3). *Koenigshof.*
- Trilobites infaustus.** Barr. 915—D ✓
45. Glabelle isolée. Moule interne, grossi (2). *Trubin.*
- Bronteus Hawlei.** Barr. 889—F
46. Tête isolée, conservée avec son test. *Konieprus.*
 47. Pygidium isolé, conservant son test et montrant l'impression de la doublure, à droite. *ibid.*
- Trilobites ferus.** Barr. 916—E
48. Joue mobile, conservant son test, et vue par dessous. *Collines de Listice.*
 49. Pointe génale, vue par dessous. *ibid.*

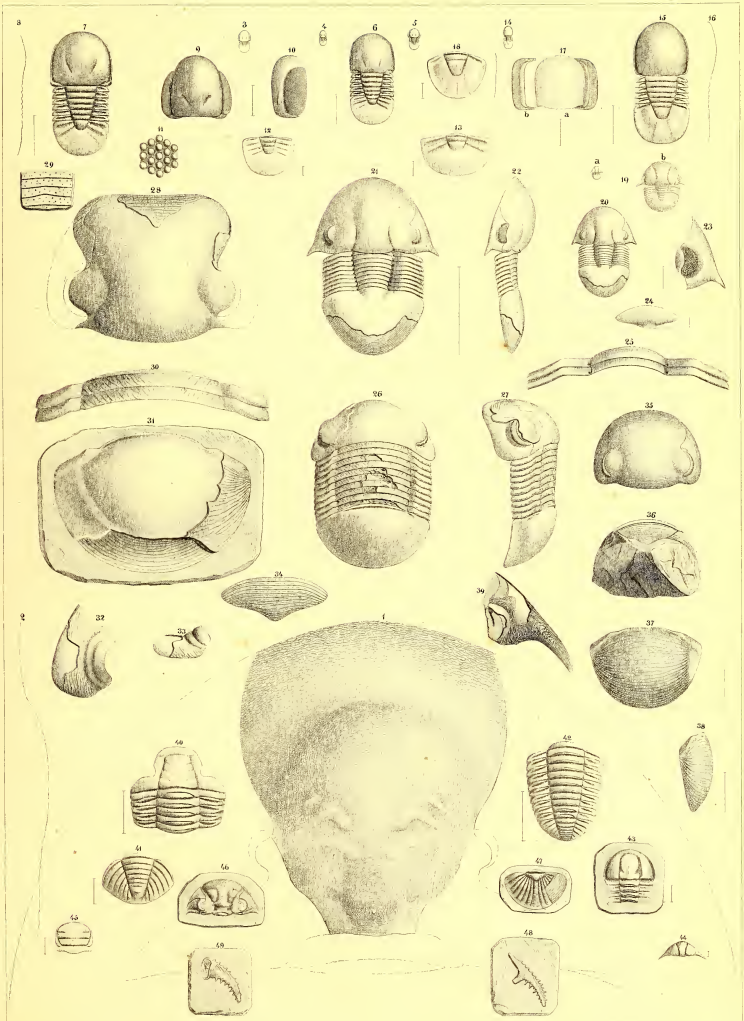


Fig.

Page—Étage.

Cheirurus globosus. Barr.

(voir Pl. 40. 43.) . 776—D

1. Individu de forme longue, sans test, montrant 11 segments thoraciques. La glabelle étant enlevée, on voit l'impression creuse de l'hypostôme en place. *Zahoržan*.
2. Individu de forme large, sans test, ayant 11 segments thoraciques. *Zahoržan*.
3. Tête isolée, montrant les 3 paires de sillons sur la glabelle.
4. id. vue de profil. *Zahoržan*.
5. Tête isolée, de forme large, sans joues mobiles. *Zahoržan*.
- 6.) Hypostôme vu de face et de profil. *Zahoržan*.

Asaphus nobilis. Barr.

(voir Pl. 31. 32.) . 657—D

8. Fragment d'un individu de forme longue, et d'âge moyen. Le thorax complet montre 8 segments, dont les extrémités laissent apercevoir l'étendue de la doublure des plèvres. Les ornemens de la paroi dorsale du test sont reproduits sur toute la surface du moule interne. *Zahoržan*.

Iliaenus Salteri. Barr. . . . 685—D

9. Individu de forme large, sans test, ayant 10 segments au thorax.
10. id. vu de profil. *Zahoržan*.
11. Individu de forme longue, sans test, ayant 10 segments thoraciques. *Zahoržan*.
12. Individu de forme longue, plus jeune, privé des joues mobiles, ayant 10 segments thoraciques. *Zahoržan*.
13. Individu de forme large, dont la tête est mutilée. Le thorax montre 10 segments. *Zahoržan*.
- 14.) Tête isolée, conservée avec les joues mobiles. *Zahoržan*.
- 15.)
- 16.) Pygidium isolé, dont l'axe est très-prononcé. Forme
- 17.) longue. *Zahoržan*.
18. Doublure sous-frontale isolée.
19. Joue isolée, montrant un fragment du test. *Zahoržan*.
20. Oeil grossi, d'après la fig. 19, montrant les capsules vides des lentilles.

Fig.

Page—Étage.

Iliaenus Panderi. Barr.

(voir Pl. 30.) . 682—D

- 21.) Individus de forme longue, et de taille diverses, sans test, montrant tous 9 segments thoraciques. *Zahoržan*.
 - 22.)
 - 23.)
 24. Individu de forme large, sans test, ayant 9 segments thoraciques.
 25. id. vu de profil. *Zahoržan*.
- N^{os}. Quelques têtes isolées montrent une petite pointe génale, qui manque à tous les exemplaires figurés.

Hypostômes isolés d'Iliaenus?683/ D
686/ D

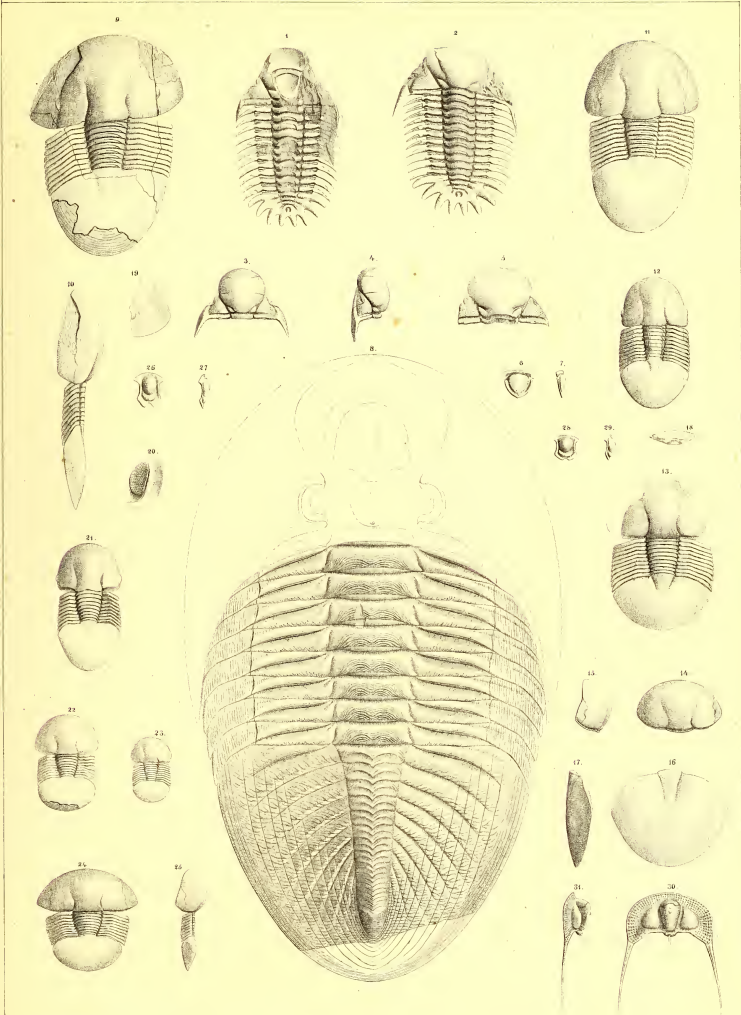
- 26.) Hypostôme de forme longue. *Zahoržan*.
- 27.)
- 28.) Hypostôme de forme large. *Zahoržan*.
- 29.)

N^{os}. Ces hypostômes pourraient aussi être considérés comme appartenant à *Catym. pulchra* (Pl. 19) qui se trouve dans les mêmes banes, avec *Ill. Salteri* et *Ill. Panderi*.

Trinucleus Goldfussi. Barr.

(voir Pl. 30.) . 628—D

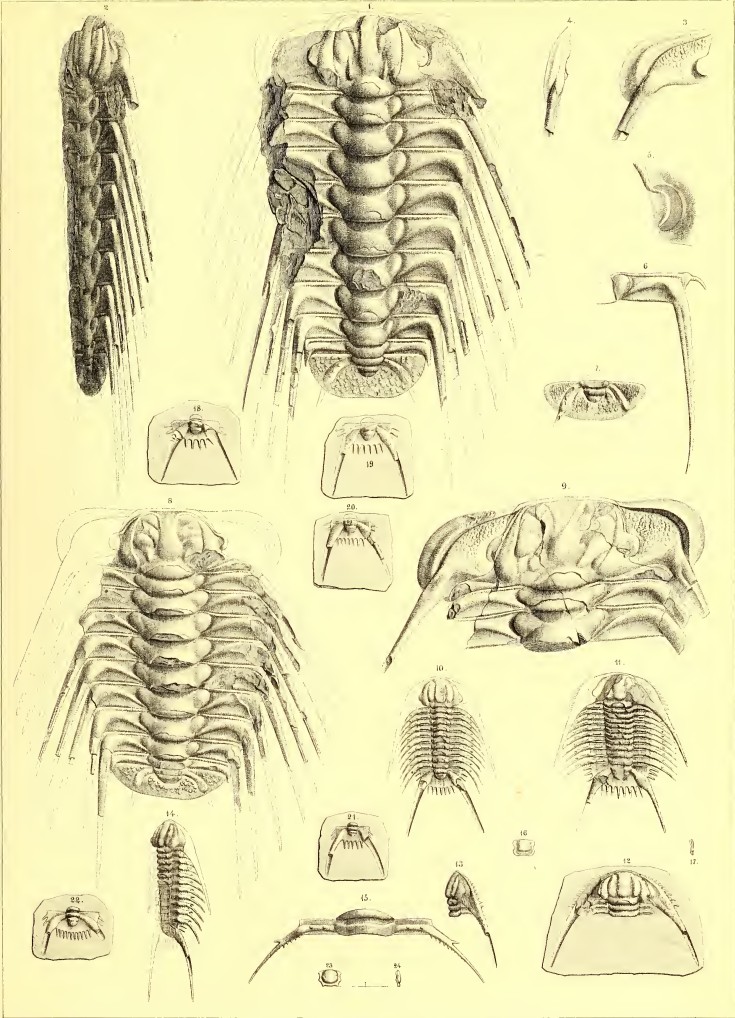
30. Tête isolée, dont le limbe est conservé avec son test. La glabelle porte 2 tubercules. *Côteaux dits Winice, près Béraun*.
31. La même vue de profil.



- Fig. Page—Etage. **Acidaspis Buchi**. Barr. 716—D (voir Pl. 37.)
1. Individu adulte de forme longue, dépouillé de son test.
 2. id. vu de trois-quarts. *Zahoržan*.
 3. Joue mobile isolée. La pointe générale a conservé un fragment du test, montrant sa granulation très-fine.
 4. id. vue de profil. *Zahoržan*.
 5. Oeil grossi (2), d'après un autre fragment. On voit les capsules vides des lentilles. *ibid*.
 6. Plèvre isolée, montrant la pointe de la bande antérieure. *Zahoržan*.
 7. Pygidium isolé, conservant une des pointes du premier segment. *Zahoržan*.
 8. Individu de forme large, privé des joues mobiles et de son test. *Zahoržan*.
 9. Fragment montrant la tête avec les 2 joues mobiles et 2 segments du thorax. *Zahoržan*.

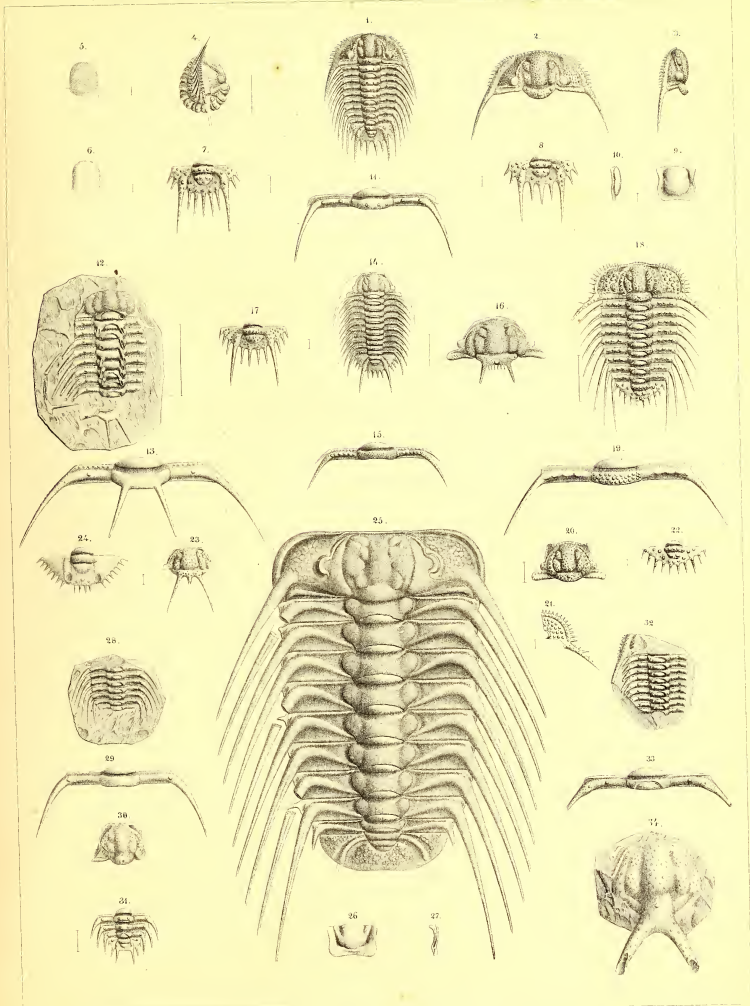
N^{ts}. Tous les morceaux figurés sur cette planche ayant été conservés dans des schistes, ont subi une compression qui a plus ou moins altéré leurs formes. Cette altération se fait principalement sentir dans les traits de la tête et dans le relief de toutes les parties saillantes, qui ont été déprimées et épatées. On appréciera ces modifications d'intensité variable, en comparant les figures de cette planche avec la fig. 25. Pl. 37, qui représente la même espèce, d'après des individus conservés dans les quartzites, et qui n'ont subi aucune compression dans ces roches.

- Fig. Page—Etage. **Acidaspis Keyserlingi**. Barr. 708—D
10. Individu adulte, de forme longue, dépouillé de son test, dépourvu de ses joues mobiles, montrant 10 segments thoraciques. *Zahoržan*.
 11. Individu adulte, de forme large, sans test, ayant 10 segments au thorax. *Zahoržan*.
 12. Tête isolée d'un adulte, dépouillée du test.
 13. id. vue de profil. *Zahoržan*.
 14. Individu vu de trois-quarts. *Zahoržan*.
 15. Segment grossi (2) d'après la fig. 11.
 16. Hypostôme trouvé en place sur un individu non figuré.
 17. *Zahoržan*.
 18.) Divers exemplaires du pygidium, qui, en y comprenant les figures 10 et 11, montrent la variation du
 19.) nombre des pointes secondaires entre les pointes principales, à partir de 4 jusqu'à 10. *Zahoržan*.
 20.)
 21.)
 22.)
- Acidaspis desiderata**. Barr. 919—D. col.
23. Hypostôme vu de face.
 24. Le même vu de profil. *Béranka*.





- | Fig. | Page—Étage. | Fig. | Page—Étage. |
|------|--|--|--|
| | Acidaspis Leonhardi. Barr. . 720—E | | Acidaspis tricornis. Barr. . 745—E |
| 1. | Individu adulte, complet, de forme longue, conservé avec son test, montrant 9 segmens thoraciques. <i>Dlauha Hora.</i> | 23. | Glabelle isolée, conservée avec son test. <i>Dlauha Hora.</i> |
| 2. | Tête isolée, appartenant à un très-grand individu. | | Acidaspis solitaria. Barr. . . 746—E |
| 3. | id. vue de profil. <i>Dlauha Hora.</i> | 24. | Pygidium isolé, conservé avec son test. <i>Dlauha Hora.</i> |
| 4. | Individu complet, enroulé, grossi ($\frac{3}{2}$). Les pointes saillantes ont été restaurées. Le corps est sensiblement plus aplati dans l'original. (voir p. 206.) <i>Dlauha Hora.</i> | | Acidaspis Buchi. Barr.
(voir Pl. 36.) 716—D ✓ |
| 5. | Oeil vu de face, grossi (4), montrant la réticulation très-fine. | 25. | Individu légèrement restauré, d'après des exemplaires presque complets, conservés dans les quartzites. <i>M^{ts}. Drabow</i> et <i>Wesela.</i> |
| 6. | id. vu par derrière; lobe palpébral. | 26. | Hypostôme isolé, vu de face et de profil. <i>Wesela.</i>
27. (<i>Coll. Hawle.</i>) |
| 7. | Pygidium isolé, grossi (2), ayant 5 pointes secondaires entre les pointes principales. <i>Dlauha Hora.</i> | | |
| 8. | Pygidium isolé, grossi (3), ayant seulement 3 pointes secondaires entre les pointes principales. <i>Dlauha Hora.</i> (<i>Coll. Hawle.</i>) | | Acidaspis derelicta. Barr. . 732—G |
| 9. | Hypostôme isolé, vu de face et de profil; grossi (4).
10. } <i>Dlauha Hora.</i> | 28. | Fragment du thorax. <i>Hostin.</i> |
| 11. | | Segment grossi (2) d'après un individu non figuré. | 29. |
| | Acidaspis tremenda. Barr. . 710—D | 30. | Glabelle isolée, trouvée dans les mêmes bancs. |
| 12. | Fragment de la tête et du thorax, grossi ($\frac{3}{2}$). <i>Lodenitz.</i> | 31. | Fragment du thorax, avec le pygidium, grossi (2). <i>Hostin.</i> |
| 13. | Segment grossi (3). | | Acidaspis ruderatis. Cord. . 733—G |
| | Acidaspis primordialis. Barr. 707—D | 32. | Fragment du thorax. |
| 14. | Individu presque complet, dépourvu des joues mobiles, dépouillé du test, montrant 10 segmens thoraciques. Dans l'original, la tête est ployée sous le thorax. <i>M^{ts}. Drabow.</i> | 33. | Segment grossi. |
| 15. | Segment grossi. (2). | | Acidaspis monstrosa. Barr. . 750—G |
| 16. | Tête isolée, grossie ($\frac{3}{2}$), montrant les pointes de l'anneau occipital. <i>M^{ts}. Drabow.</i> | 34. | Glabelle isolée. <i>Dvoretz.</i> |
| 17. | Pygidium isolé, grossi (3). <i>M^{ts}. Drabow.</i> | | |
| | Acidaspis minuta. Barr. . . 729—E | | |
| 18. | Individu complet, à l'exception de quelques pointes restaurées. Moule interne, montrant 9 segmens au thorax; grossi (3). <i>Hinter-Kopanina.</i> | | |
| 19. | Segment grossi (6). | | |
| 20. | Glabelle isolée, grossie (2). <i>Dlauha Hora.</i> | | |
| 21. | Joue mobile isolée, grossie (4). | | |
| 22. | Pygidium isolé, grossi (5). <i>Dlauha Hora.</i> | | |



- | Fig. | Page—Étage. | Fig. | Page—Étage. |
|--|---|---|--|
| Acidaspis Ferneuli. Barr . 710—E | | Acidaspis Dormitzeri. Cord. 728—E | |
| 1. | Individu adulte, à demi-enroulé, tronqué à l'arrière. Les pointes ornementales des plèvres sont toutes brisées et enlevées. L'extrémité des segmens est cachée en dessous. Test conservé en grande partie. <i>Butovitz.</i> | 22. | Individu adulte, un peu restauré, d'après divers exemplaires presque complets de la collection Hawle et de la nôtre. Le test a été conservé, et on compte 9 segmens au thorax. <i>St. Ivan</i> et collines de <i>Listice</i> . |
| 2. | id. vu de profil, montrant les extrémités des segmens ornées d'épines. | 23. | Tête isolée, grosse (2). <i>St. Ivan.</i> |
| 3. | Tête adulte, vue de front. | 24. | Segment grossi (3). |
| 4. | id. vue par le dos. <i>Dlauha Hora.</i> | Acidaspis Dufrenoyi. Barr. . 741—E | |
| 5. | Individu de moyenne taille, grossi (3), montrant 10 segmens au thorax. Quelques unes des pointes ornementales ont été restaurées; la plupart se voient dans l'original. | 25. | Individu complet, grossi (3), conservé avec son test, montrant 9 segmens thoraciques. Quelques pointes restaurées. <i>St. Ivan.</i> |
| 6. | id. vu de profil. <i>Dlauha Hora.</i> | 26. | Segment grossi (4). |
| 7. | Tête isolée, d'un jeune individu, sans tubercule sur l'anneau occipital. <i>Dlauha Hora.</i> | Acidaspis Hoernesii. Barr. . . 723 ^F _G | |
| 8.) | Hypostôme vu de face et de profil. <i>Dlauha Hora.</i> | 27. | Tête isolée, vue de front. |
| 9.) | (<i>Coll. Hawle.</i>) | 28. | id. vue de profil. <i>Mnienian. F</i> |
| Acidaspis Portlocki. Barr. . 744—E | | 29. | Oeil grossi (3), montrant la réticulation. |
| 10. | Tête isolée, un peu mutilée. (<i>Coll. Hawle.</i>) | 30. | Individu complet, conservé avec son test, montrant 9 segmens thoraciques, grossi (2). <i>Hostin. G</i> |
| 11. | id. vue de profil. Collines de <i>Listice.</i> | 31. | Segment grossi (3). |
| 12. | Pygidium isolé, provenant de la même localité. | | |
| Acidaspis resiculosa. Beyr. . 715—F | | | |
| 13. | Tête adulte, vue par le dos. | | |
| 14. | id. vue de profil. | | |
| 15. | id. vue de front. <i>Mnienian.</i> | | |
| 16.) | Hypostôme vu de face et de profil. <i>Mnienian.</i> | | |
| 17.) | | | |
| 18. | Pygidium isolé. <i>Mnienian.</i> | | |
| 19. | Extrémité d'un segment thoracique, montrant les épines ornementales. <i>ibid.</i> | | |
| 20. | Tête isolée, jeune. | | |
| 21. | id. vue de profil. <i>Konieprus.</i> | | |

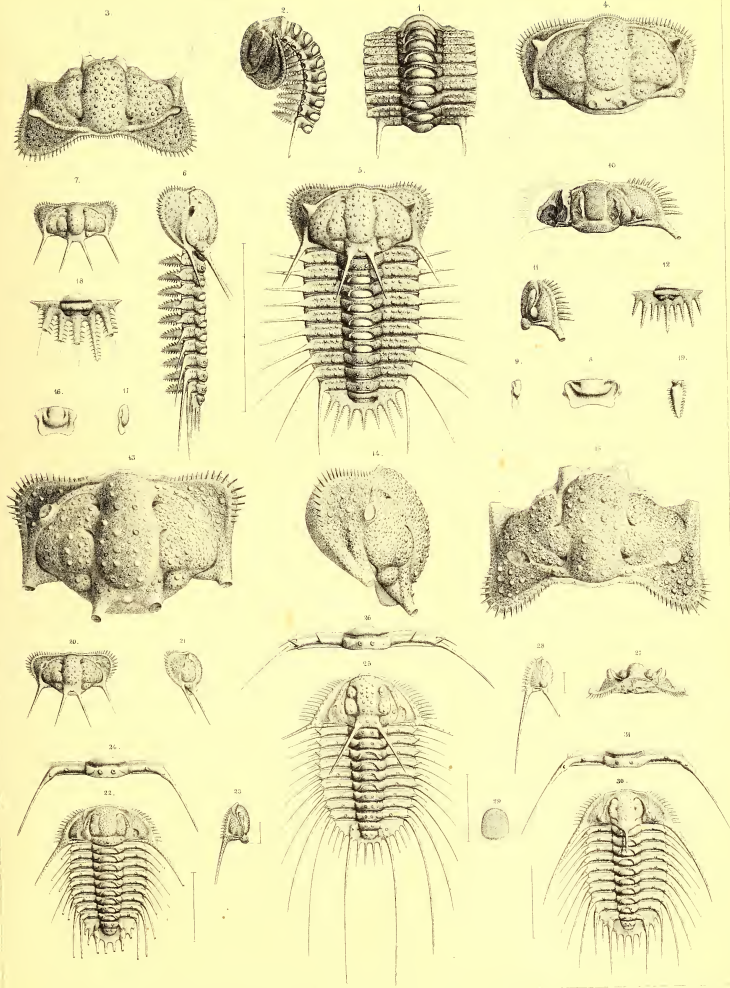


Fig. **Acidaspis mira.** Barr. . . . 735—E

- 1.) Individus de diverse taille, conservés avec leur test, et ayant 9 segmens thoraciques. *Lodenitz.*
- 3.) Le plus petit individu connu, avec 9 segmens distincts. *Lodenitz.*
5. Tête isolée, grossie ($\frac{3}{2}$), un peu restaurée, montrant les yeux pédonculés et toutes les pointes. *Lodenitz.*
6. La même vue de profil.
7. Cinquième segment thoracique, grossi (2), d'après l'individu fig. 1.
- 8.) Hypostôme trouvé en place sur des exemplaires non 9.) figurés. *Lodenitz.*
- 10.) Oeil grossi (5), montrant la réticulation, et le cours de la
- 11.) suture faciale, autour du lobe palpébral, d'après divers individus non figurés. *Lodenitz.*

Acidaspis truncata. Cord. . . 747—F

12. Tête isolée, conservée avec son test; grossi (2).
13. id. vue de profil. *Muénian.*
14. id. vue de front. Grandeur naturelle.
15. Oeil grossi (4) montrant la réticulation.

Acidaspis subterarmata. Barr. 749—F

16. Pygidium isolé, conservé avec son test.
17. Le même vu de profil. *Konieprus.*

Acidaspis lacerata. Barr. . . 746—F

18. Tête isolée, conservée avec son test, grossie (2).
19. La même vue de profil. *Konieprus.*

Acidaspis Grayi. Barr. . . . 751—E

20. Tête isolée, conservée avec des parties du test. Une joue restaurée d'après l'autre.
21. La même vue de profil. *Collines de Listie.*

Acidaspis Laportei. Corda. . . 750—F

22. Glabelle isolée, conservée avec son test. *Muénian.*
23. Pygidium isolé, conservé avec son test. *Muénian.*

Acidaspis radiata. Gold. (sp.) . 749^E_F

24. Pygidium isolé, conservé avec son test. *Konieprus. F.*

Acidaspis popinqua. Barr. . . 733—E

25. Individu adulte, complet, montrant, 9 segmens thoraciques et conservé avec son test. *Sedletz.*
26. Pygidium isolé, privé des pointes secondaires entre les principales. Jeune âge, grossi (2). *ibid.*
- 27.) Hypostôme, trouvé en place sur un individu non figuré.
- 28.) *ibid.*

Acidaspis Roemeri. Barr. . . 726—E

29. Individu complet, conservé avec son test, et montrant 9 segmens thoraciques; grossi (2). *Lodenitz.*
30. Segment grossi (4). *Lodenitz.*
31. Tête isolée vue de profil, grossie (2) *Lodenitz.*

Fig. *Jeunes individus.* Page—Etage.

32. a. ayant 6 segmens au thorax. *Lodenitz.*

” b. ” 8 ” ” ”

” c. ” 9 ” ” ”

Acidaspis Prevosti. Barr. . . 739—E

33. Individu adulte, complet, conservé avec son test, montrant 9 segmens thoraciques, grossi ($\frac{3}{2}$). *Sedletz.*

34. Tête isolée, grossie ($\frac{3}{2}$). *Sedletz.*

35.) Exemplaires isolés du pygidium, montrant 3, 5, 6 points secondaires entre les principales.

36.)

37.)

38. Cinquième segment grossi ($\frac{3}{2}$) d'après la figure 33.

39. Le plus jeune individu connu, ayant 9 segmens. *Ratinka.*

40.)

41.) Hypostôme isolé, vu de face et de profil. *Tobolka.*

Acidaspis pectinifera. Barr. . 731—E

42. Fragment de la tête, grossi. *Rochers de Kozel.*

43. Fragment montrant 9 segmens thoraciques et le pygidium, grossi ($\frac{3}{2}$). *Kozel.*

44. Segment grossi (5).

Acidaspis Geinitziana. Cord. 725—E

45. Joue isolée, conservée avec le test, grossie (2).

46. Glabelle isolée, grossie (2), conservée avec le test.

47. id. vue de profil.

48. Segment isolé, grossi (4).

49. Pygidium isolé, conservé avec son test, grossi (3).

NB. Tous ces fragments proviennent d'un même strate; *Drauha Hora.*

Deiphon Forbesi. Barr. . . . 814—E

50. Tête isolée, parfaitement conservée avec son test. Les pointes accessoires ne sont pas visibles sur l'original.

51. id. vue de côté. *Collines de Listie.*

52. Oeil grossi (5). La grande suture de cette espèce se voit Pl. 2 B. fig. 4.

53. Pygidium isolé, parfaitement conservé avec son test; grossi (3) *ibid.*

54. Tête isolée, montrant la pointe accessoire, sur l'appendice principal.

55. id. vue de profil. *ibid.*

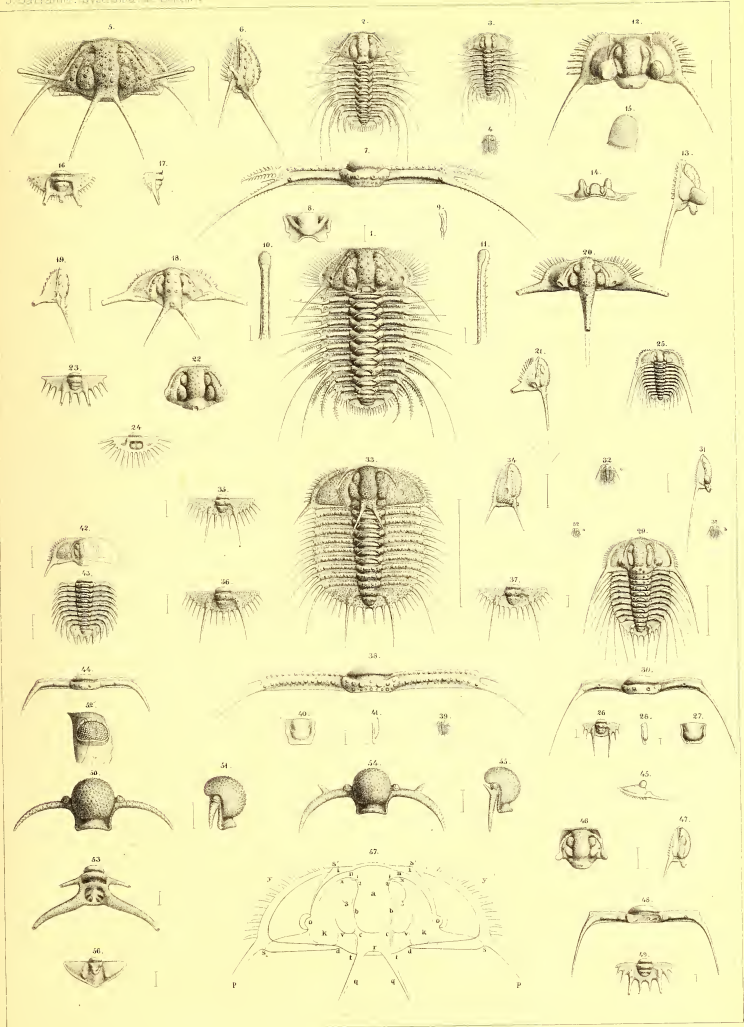
Trilobites orphanus. Barr. . 916—E

56. Pygidium isolé, grossi (2). *Ratinka près Béram.*

57. **Diagramme**

d'après la tête de *Acidasp. Prevosti.*

- | | |
|--|--|
| a. Corps médian ou central de la glabelle. | bx. triangle interne de la joue fixe. |
| 1. Sillon antérieur, rarement distinct. | o. oeil. |
| 2. Sillon moyen. | no. filet oculaire. |
| 3. Sillon postérieur. | xo. rainure du filet oculaire. |
| 2h.) faux sillons unissant les | io. bande extérieure du filet oculaire. |
| be.) extrémités internes des sillons latéraux. | i. fossette triangulaire, entre le filet oculaire, le bord frontal et la suture faciale. |
| dx. Sillon dorsal. | sp. pointe génale. |
| ec. Sillon occipital. | so. suture faciale. |
| cv.) branches du sillon occipital | s'p. joue mobile. |
| et.) bifurqué. | ds. bord postérieur de la joue fixe. |
| r. anneau occipital. | s's'. bord frontal. |
| q. pointes de l'anneau occipital. | |



- Fig. Page—Etage.
- Cheirurus claviger.** Beyr.
(voir Pl. 42) . . . 772—D
1. Tête isolée d'un adulte de la plus grande taille. Moule interne, conservé avec tout son relief et portant les traces des ornemens, qu'on voit encore plus distinctement sur le moule externe. — *Quartzites de Wesela.*
 2. Id. vue de profil et montrant la saillie du limbe frontal.
 3. Fragment grossi pour montrer la double granulation du test, d'après le moule externe. *ibid.*
 4. Joue fixe, montrant les cavités ornementales. Moule interne. *ibid.*
 5. Demi-segment, montrant le sillon et les bandes de la plèvre. *ibid.*
 6. Pygidium isolé d'un adulte de la plus grande taille. Moule interne, conservé avec tout son relief. La double granulation a été rétablie, en partie, d'après le moule externe. *ibid.*
 7. Tête isolée, dépourvue des joues mobiles, jeune âge. Moule interne. *Quartzites des M^{rs}. Drabow.*
 8. Hypostôme isolé; forme large de la plus grande dimension. Moule interne. *Quartzites de Wesela.*
 9. id. profil longitudinal.
 10. Individu presque complet, de moyenne taille, montrant 12 segmens thoraciques. Moule interne, comprimé dans les schistes très-micaeés. *Zahoržan.*
 11. Hypostôme de forme longue. Moule interne, comprimé dans les schistes. *ibid.*
 12. id. profil longitudinal.
- Cheirurus Quenstedti.** Barr.
(voir Pl. 42) . . . 790—E
13. Tête isolée d'un adulte, sans joues mobiles, conservée avec son test. *Tachlovitz.*
 14. id. vue de côté.
- Cheirurus tumescens.** Barr. 779—D
15. Individu complet, de petite taille, montrant 10 segmens au thorax. Moule interne. *Trubin.*
 16. id. grossi (3). La granulation a été rétablie d'après le moule externe.
 17. Tête isolée, dépourvue des joues mobiles, grossie (2). Moule interne, conservant la trace de la granulation. *Trubin.*
 18. id. vue de côté.
 19. Pygidium isolé, grossi (2). Moule interne, montrant la granulation. *Trubin.*

- Fig. Page—Etage.
- Cheirurus neglectus.** Barr. . . 919—D
20. Tête isolée, dont les joues sont incomplètes. Moule interne. *Koenigshof.*
 21. id. vue de côté.
 22. Pygidium. Moule interne, auquel sont joints 2 segmens thoraciques. *ibid.*
- Cheirurus scuticauda.** Barr. 781—D
23. Tête isolée, adulte, dépourvue des joues mobiles. Moule interne, conservant l'empreinte de la granulation. *Collines de Winice.*
 24. id. profil longitudinal.
 25. Individu adulte, presque complet, montrant 10 segmens thoraciques. *Collines de Winice.*
- Cheirurus globosus.** Barr.
(voir Pl. 35. 43.) . . . 776—D
26. Tête isolée, adulte, montrant les 3 paires de sillons de la glabelle. *Zahoržan.*
 27. id. vue de côté.
- Cheirurus insocialis.** Barr. . . 778—D
28. Tête isolée, grossie (2). Moule interne, montrant les 3 paires de sillons de la glabelle. *M^{rs}. Kosov.*
 29. id. vue de côté.
 30. Hypostôme *ibid.*
 31. Pygidium isolé. Moule interne. *ibid.*
- Cheirurus Cordai.** Barr. . . 798—F
32. Tête isolée d'un jeune individu, conservant le test. *Mnienian.*
 33. id. vue de côté.
 34. Oeil gauche fortement grossi.
- Cheirurus gibbus.** Beyr.
(voir Pl. 40. 41.) . . . 792 ^F/_G
35. Tête isolée, adulte, moule interne conservant l'impression des ornemens du test. Les joues mobiles manquent. *Dvoretz. G.*
 36. id. vue de côté.
 37. Tête isolée, vue en dessous et montrant l'hypostôme en place. La partie antérieure de l'hypostôme est dépouillée du test. *Tetin. G.*
 38. Oeil gauche grossi (4).
 39. Quelques lentilles plus fortement grossies.

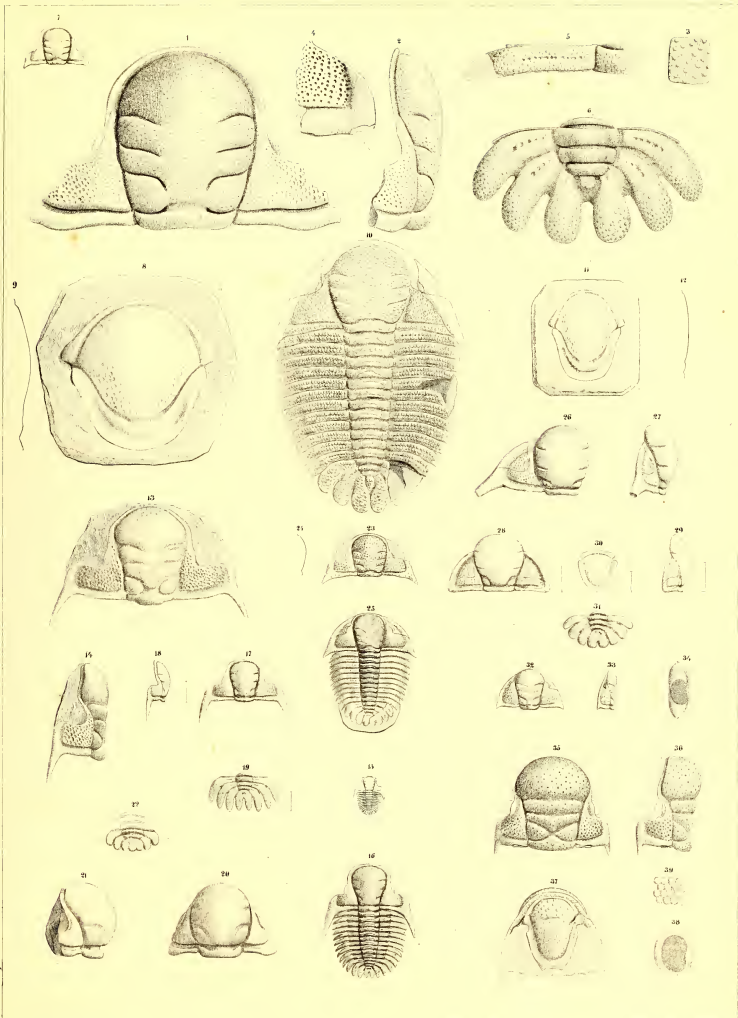


Fig. Page—Étage.

Cheirurus insignis Beyr. 782— $\left. \begin{matrix} D \\ E \end{matrix} \right\}$ col.

1. Individu complet, de taille moyenne, montrant 11 segments thoraciques et conservant la plus grande partie de son test. *Kozolup. E.*
2. Fragment composé de la tête et d'une partie du thorax. *Collines de Listice. E.*
3. id. vu de côté, montrant les sutures de jonction.
4. id. vu en dessous, montrant l'hypostôme en place.
5. Tête isolée, dépourvue des joues mobiles, et conservant son test. *Tachovitzs. E.*
- 6.)
7.) Hypostôme vu de face et de profil. *ibid.*
8. Pygidium isolé d'un adulte de grande taille. *St. Ivan.*
9. Jeune individu, presque complet, de forme longue, conservé avec son test, et portant 11 segments thoraciques. *Lodenitzs. E.*
10. Jeune individu de la plus petite taille connue, montrant 11 segments au thorax. *Lodenitzs. E.*
11. Segment isolé. *Tachovitzs. E.*
12. Oeil droit, fortement grossi. *Dvoretz. E.*
13. Pygidium, vu en dessous, montrant la doublure du test. *St. Ivan. E.*

Cheirurus obtusatus. Cord . 786—E

14. Tête isolée, adulte, conservée, avec son test. *Rochers de Kozel.*
15. Pygidium isolé, conservé avec son test. *Collines de Listice.*
16. Individu incomplet, permettant cependant de compter 11 segments thoraciques. *Rochers de Kozel. (Coll. Hawle.)*

Cheirurus gibbus. Beyr.

(voir Pl. 40. 42.) . 792 $\left. \begin{matrix} F \\ G \end{matrix} \right\}$

17. Tête isolée. Moule interne, montrant le lobe frontal peu enflé. Forme ordinaire. *Lochkov. G.*
18. id. profil longitudinal.
19. Tête isolée, privée des joues mobiles et montrant le lobe frontal très-enflé. *Muizenan. F.*
20. id. vue de côté.
21. Individu incomplet, portant 3 grains saillans sur chacun des anneaux de l'axe thoracique. *Dvoretz. G.*
22. id. vu de côté.
23. Tête isolée, de la plus petite taille connue. *Slichow. F.*
24. Tête d'un individu de très-grande taille. Moule interne. *Wisocilka. G.*
25. id. vue de côté.
26. Fragment de la surface du moule interne, grossi pour montrer les cavités ornementales.
27. Tête isolée. Moule interne, montrant les sillons antérieur et moyen, unis par une rainure longitudinale. *Muizenan. F.*

Fig. Page—Étage.

Cheirurus Sternbergi. Boeck. sp.

795 $\left. \begin{matrix} E \\ F \\ G \\ H \end{matrix} \right\}$

29. Tête isolée. Moule interne. Les joues mobiles manquent. *Muizenan. F.*
30. Pygidium isolé. Moule interne. *ibid.*
31. Segment isolé, conservé avec son test. *ibid.*
32. Hypostôme isolé, vu de face. *ibid.*
33. id. vu de côté, montrant la doublure du bord latéral repliée en forme de cornet.
34. Tête isolée, privée des joues mobiles, et conservant une partie de son test. *Gross Kuchař. G.*
35. id. vue de côté.
- 36.)
37.) Hypostôme vu de face et de profil. *ibid.*
38. Pygidium isolé, conservé avec son test. *ibid.*
39. Pygidium isolé, conservé avec son test. *Dlauha Hora.*

Cheirurus minutus. Barr. . 800—G

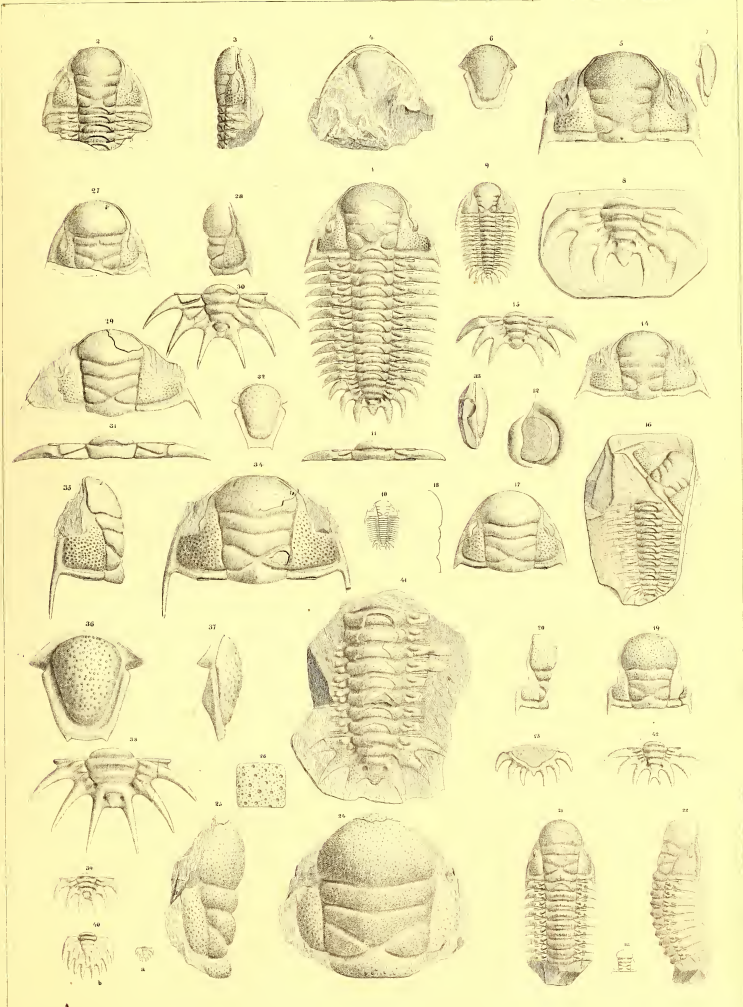
40. Pygidium isolé, grossi (2), conservé avec son test. *Hostin.*

Cheirurus pauper. Barr. . . 799 $\left. \begin{matrix} F \\ G \end{matrix} \right\}$

41. Fragment conservé avec son test; montrant une grande partie du thorax et le pygidium. *Luzetzs. G.*

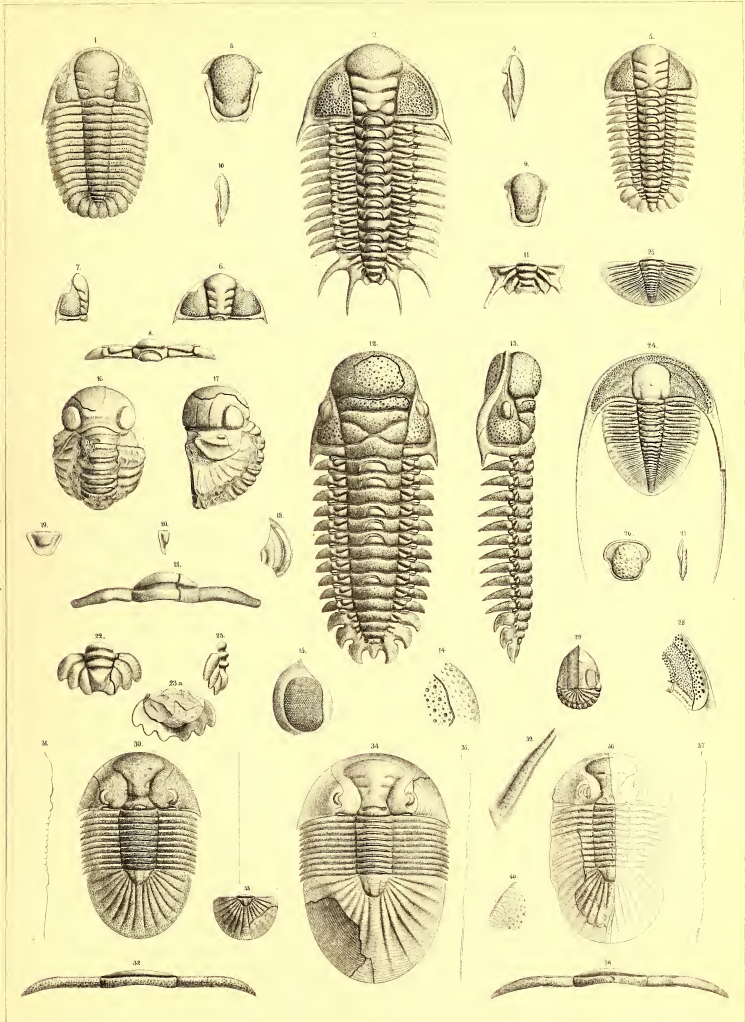
Cheirurus bifurcatus. Barr. 800—E

42. Pygidium isolé. Moule interne. *St. Ivan.*



- Fig. Page—Etage
- Cheirurus clariger.** Beyr.
(voir Pl. 40.) . 772—D
1. Jeune individu, moule interne. La granulation est encore peu développée. — Schistes noirs feuilletés de *Trubin*. Comparer aux autres exemplaires figurés sur la Pl. 40, et dont plusieurs proviennent des quartzites, où ils n'ont subi aucune compression.
- Cheirurus Quenstedti.** Barr.
(voir Pl. 40) . 790—E
2. Individu adulte, presque complet, conservant son test. Quelques pointes restaurées. — 11 segmens au thorax. *Dlaaha Hora.* (Coll. Sacher.)
 3. Hypostôme vu de face. *ibid.*
 4. id. vu de profil.
- Cheirurus Beyrichi.** Barr. . 789—E
5. Individu adulte, presque complet, très-légèrement restauré, conservant son test. *Dlaaha Hora.* L'hypostôme n'est pas figuré, parcequ'il ne se distingue pas de celui des autres espèces, telles que la précédente.
- Cheirurus Hawlei.** Barr. . . 787—E
6. Tête isolée, conservant son test. Les joues mobiles manquent.
 7. id vue de profil. *Lochkow.*
 8. Segment thoracique. *ibid.*
 9. Hypostôme vu de face et de profil. *ibid.*
 10. Pygidium isolé. *ibid.*
- Cheirurus gibbus.** Beyr.
(voir Pl. 40. 41.) . 792 $\left\{ \begin{array}{l} F \\ G \end{array} \right.$
12. Individu adulte, presque complet, conservant son test et montrant 11 segmens au thorax. Quelques pointes restaurées.
 13. id. vu de profil. *Mt. Damiły près Tetin. G.*
 14. Fragment du lobe frontal, grossi, pour montrer la granulation de la paroi externe et l'empreinte creuse laissée sur le moule par les grains de la paroi interne.
 15. Oeil grossi. (4).
- Sphaerexochus mirus.** Beyr. 808—E
16. Individu adulte, incomplet, conservant une partie de son test. *Collines de Listice.*
 17. id vu de côté. La glabelle montre les trois sillons latéraux.
 18. Joue mobile isolée, portant l'oeil et conservant son test. *ibid.*
 19. Hypostôme vu de face et de profil.
 20. Segment thoracique. La moitié à droite conserve le test. *ibid.*
 22. Pygidium isolé, conservant une partie de son test. *ib.*
 23. id. vu de profil.
 - 23 a. Autre exemplaire, vu par dessous et montrant l'étendue de la doublure. *ibid.*

- Fig. Page—Etage
- Dionide formosa.** Barr. . . 641—D ✓
24. Individu adulte, conservant sur le limbe une partie de son test, transformé en fer sulfuré. Les pointes génales sont rétablies d'après d'autres morceaux. *Trubin.*
 25. Pygidium isolé, de forme large, plus arrondi qu'il celui de la fig. 24. grossi (2). *Chruseititz.*
 26. Hypostôme vu de face et de profil. *Collines de Winice.*
 27. Fragment de la joue, avec une partie du test, à droite, montrant les perforations, dont l'empreinte en relief se voit à gauche, sur le moule interne. La suture contourne l'extrémité de la joue.
- Bronteus Bronniarti.** Barr.
(voir Pl. 46) . 866 $\left\{ \begin{array}{l} F \\ G \end{array} \right.$
29. Jeune individu complet et enroulé, conservant son test. *Mt. Damiły près Tetin. G.*
- Bronteus Edwardsi.** Barr. . 882—E
30. Individu adulte, complet, conservé avec son test, montrant 10 segmens thoraciques. *Dlaaha Hora.*
 31. id. section longitudinale, suivant l'axe.
 32. Segment thoracique, grossi (2), et montrant le sillon accessoire sur la plèvre.
 33. Pygidium d'un jeune individu, montrant l'étendue de la doublure. *ibid.*
- Bronteus planus.** Cord.
(voir Pl. 48.) . 863—E
34. Individu adulte, complet, conservant son test, et montrant l'étendue de la doublure sous la joue et sous le pygidium.
 35. id. section longitudinale, suivant l'axe.
- Bronteus spinifer.** Barr. . . 878—G
36. Exemplaire adulte, dont la moitié seule est conservée, avec une partie du test. *Dvoretz. (Mus. Bohême.)*
 37. id. section longitudinale, suivant l'axe.
 38. Segment thoracique, grossi (2).
 39. Une côte du pygidium, grossie (2), d'après un autre exemplaire, plus complet, non figuré. *ibid.* (Coll. Sacher.)
 40. Fragment du test de la joue, grossi, pour montrer les ornemens.



- Fig. Page—Étage.
- Cromus intercostatus.** Barr. 824—E
1. Tête isolée, figurée avec son test, et complétée d'après divers fragmens. *Lochkow.*
 2. Pygidium isolé, conservé avec son test. *ibid.*
 3. id. section transverse, prise au bord thoracique.
 - 4-5. } Hypostôme vu de face et de profil. *Lochkow.*

- Cromus Beaumonti.** Barr. 826—E
6. Tête dépourvue des joues mobiles. Test conservé. *Dlauha Hora.*
 7. Fragment présentant 10 segmens thoraciques d'un jeune individu enroulé; grossi (3). *Wohrada.*
 8. Deux segmens grossis (5). L'état d'enroulement du fragment (fig. 7.) ne permet pas d'observer le biseau des plèvres, s'il existe, comme dans *Encrinurus.*
 9. Pygidium isolé. *Dlauha Hora.*
 10. id. vu de profil.
 11. Tubercules ouverts, observés sur la tête de certains individus. *ibid.*
 12. Joue mobile, isolée, portant l'oeil. *ibid.*
 - 13-14. } Hypostôme vu de face et de profil. *ibid.*

- Cromus Bohemicus.** Barr. 828—E
15. Tête dépourvue des joues mobiles, conservant son test. Entre *Kolednik* et *Tobolka.*
 16. Pygidium isolé. *ibid.*
 17. id. vu de profil.

- Cromus transiens.** Barr. 828—E
18. Pygidium isolé. Moule interne. *Dlauha Hora.*
 19. Le même vu de profil.

- Dindymene Frederici Augusti.**
Cord. 818—D
20. Tête isolée, moule interne, grossie (2). *Karlshütte. (Coll. Haucte.)*
 21. Individu presque complet, imparfaitement conservé, et sans test; grossi (3). *ibid. (Coll. Haucte,* figuré par Corda. Prodr. Pl. 1. fig. 3).
 22. Segmens thoraciques grossis (6).
 23. Pygidium isolé; grossi (2). *ibid. (Coll. Haucte.)*
 24. Tête isolée, moule interne. *ibid. (Coll. Haucte.)*

- Dindymene Haidingeri.** Barr. 819—D
25. Individu presque complet, moule interne; grossi (3). *Karlshütte.*
 26. Segmens grossis (6).

- Cheirurus globosus.** Barr. (voir Pl. 35. 40.) 776—D
27. Individu défectueux, montrant seulement 10 segmens au thorax; figuré par Corda, sous le nom de *Actinopeltis Caroli Alexandri.* Prodr. Pl. 1 fig. 4. *Koenigshof. (Coll. Haucte.)*

- Fig. Page—Étage.
- Staurocephalus Murchisoni.** Barr. 812—E
28. Individu presque complet, conservé avec son test et ayant 10 segmens thoraciques, grossi ($\frac{2}{3}$). *Collines de Listice.*
 29. Fragment de la tête, conservé avec le test, montrant les épines dentiformes sur le bord géral. *Lužets. (Musée Bohême.)*
 30. Oeil droit avec partie des joues. *Listice.*
 31. Pygidium isolé, grossi (2). *ibid.*
 32. Segmens thoraciques grossis (2).

- Remopleurides radians.** Barr 359—D ✓
33. Jeune individu presque complet; ayant 11 segmens au thorax. Moule interne. *Koenigshof. (Coll. Haucte.)*
 34. id. Section longitudinale, suivant l'axe.
 35. Gabelle isolée, vue de profil, montrant l'oeil dans toute son étendue. *Koenigshof.*
 36. Individu adulte, incomplet, mais conservant ses 11 segmens au thorax et une grande partie du test. L'impression de la doublure se voit sur le milieu du lobe latéral gauche. *Koenigshof.*
 - 37-38. } Hypostôme vu de face et de profil. *ibid.*
 39. Pygidium isolé, conservant la plus grande partie du test. *ibid.*

- Aeglina speciosa.** Corda sp. 667—D ✓
40. Individu complet. Moule interne. *Koenigshof.*
 41. id. Section longitudinale, suivant l'axe.
 42. Segmens grossis (2).
 43. Fragment de la paroi réticulée de l'oeil, fortement grossi.

- Calymene interjecta.** Corda.
(voir Pl. 19.) 570 {^F_G
44. Pygidium isolé, moule interne. *Dicoretz. D. (Musée Bohême.)*
 45. Fragment grossi, montrant les cavités du moule interne.

- Calymene Blumenbachi.** Brongn.
(voir Pl. 19.) 566 {^E_F
46. Tête isolée, conservant des fragmens du test. *Konieprus. (Coll. Haucte.)*
 47. La même vue de profil.
 48. Pygidium isolé. *ibid.*

- Calymene Baylei.** Barr.
(voir Pl. 19.) 573—E
49. Individu presque complet, très-légèrement restauré; montrant 13 segmens thoraciques. *Dlauha Hora.*
 50. Le même vu de profil.
 - 51-52. } Hypostôme vu de face et de profil.

- Calymene declinata.** Corda. 570—D ✓
53. Individu de petite taille. Moule interne ayant 13 segmens au thorax. *Koenigshof.*
 54. Tête isolée, vue de front. *ibid.*
 55. id. vue de profil.
 56. Individu de grande taille, moule interne, montrant 13 segmens thoraciques. *ibid.*
 - 57-58. } Hypostôme vu de face et de profil. *ibid.*

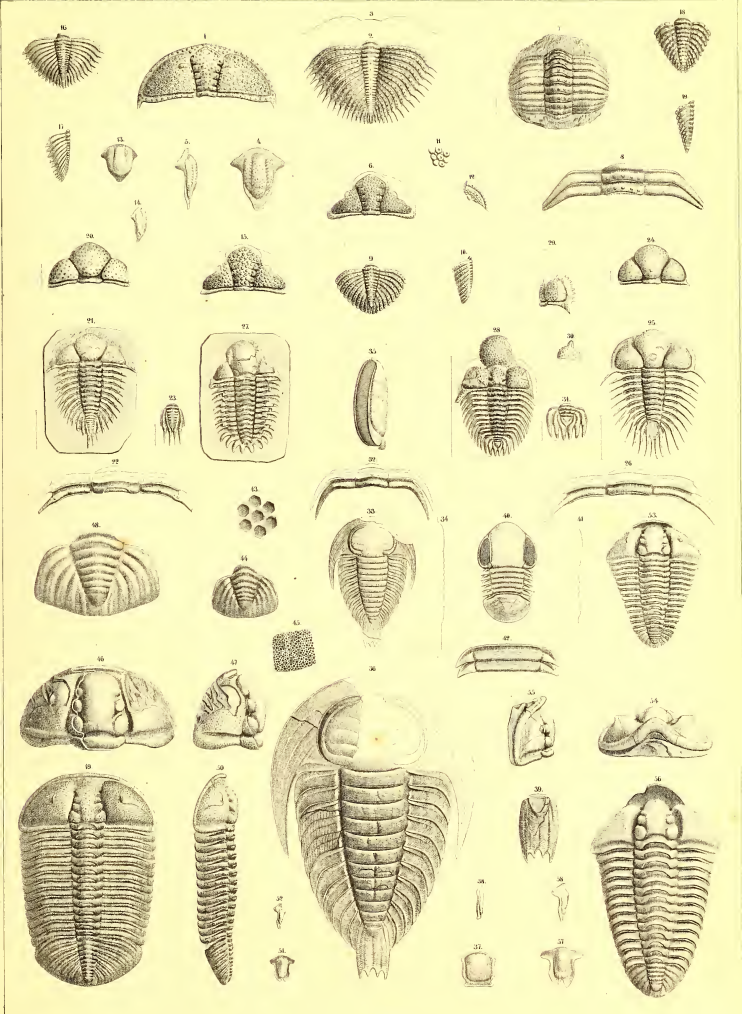


Fig.

Page—Étage.

Bronteus campanifer. Beyr. 844—F

1. Tête isolée, de taille moyenne, conservant une partie de son test. *Muicnian*.
2. id. vue de profil.
3. Tête isolée, vue par dessous, et conservant une partie de la doublure sous-frontale. *Konieprus*.
4. Glabelle isolée d'un jeune individu. *Muicnian*.
5. Pygidium isolé, jeune âge, conservant son test. *ibid*.
6. Pygidium isolé; taille moyenne, forme longue, légèrement restauré; moule interne montrant une partie de l'impression de la doublure. *Muicnian*.
7. id. Profil longitudinal, suivant l'axe.
8. Fragment d'un pygidium, conservant son test. *Muicnian*.
9. Pygidium vu par dessous. Moule interne, portant un fragment du test. *ibid*.
10. Oeil isolé, grossi (3). *ibid*.
11. Fragment de la surface réticulée, fortement grossie, d'après un exemplaire en décomposition. Sur une partie de la figure, on voit les lentilles dépouillées de la cornée générale, et reposant sur un prisme hexagonal. *ibid*.
12. Section normale à la paroi de l'œil, montrant la cornée générale, bosselée, et couvrant les lentilles placés sur les prismes hexagonaux.

Bronteus umbellifer. Beyr.

(voir Pl. 48.) . 879—F

13. Tête isolée, dépourvue de ses joues mobiles. Moule interne. *Duoretz*.
14. Tête isolée, dépourvue des joues mobiles, mais conservant son test. *ibid*.
15. id. section longitudinale suivant l'axe.
16. Joue mobile isolée, portant l'œil. *Lochkow*.
17. Oeil grossi (4).
18. } Hypostôme vu de face et de profil. *Lochkow*.
19. }
20. Pygidium isolée, de taille moyenne, conservant son test. *Vallon de Slivenetz*.
21. id. Profil longitudinal suivant l'axe.
22. id. Fragment grossi, montrant les ornemens de la surface.
23. Doublure sous-frontale isolée. *Lochkow*.
24. Pygidium isolé, montrant l'impression de la doublure du test. *Duoretz*.

Fig.

Page—Étage.

Bronteus brevifrons. Barr. . 886—F

25. Glabelle isolée, conservant son test. *Muicnian*.
26. id. Profil longitudinal, suivant l'axe.
27. Glabelle isolée, conservant son test, et montrant la pointe occipitale. *Muicnian*.
28. id. Profil longitudinal.
29. Fragment du test, fortement grossi, montrant la granulation.

Bronteus elongatus. Barr. . 841—F

30. Pygidium isolé, conservant son test. *Muicnian*.
31. id. Profil longitudinal.
32. id. Fragment grossi, montrant la convexité du fond de la rainure intercostale.
33. id. section transverse de la rainure et des deux côtes voisines.

Bronteus caelebs. Barr.

(voir Pl. 46.) . 850—F

34. Pygidium isolé, montrant l'impression de la doublure du test. *Konieprus*.
35. id. section longitudinale suivant l'axe.

Fig.

Page—Étage.

Bronteus patifer. Beyr.

voir Pl. 8.) . 859—F

1. Tête isolée, adulte, conservant son test. La joue mobile gauche a été adaptée, d'après divers exemplaires isolés de cette pièce. *Konieprus.*
2. id. Profil longitudinal, suivant l'axe.
3. Oeil vu en dessus et grossi (2). *ibid.*
4. Autre oeil vu de profil; montrant toute l'étendue de la pointe palpébrale. *ibid.*
5. Premier segment du thorax. Les sillons dorsaux sont obliques, au lieu d'être parallèles à l'axe. Comparer avec la fig. 31. Pl. 8. La plèvre gauche est dépouillée du test, qu'on voit sur la plèvre droite. *ibid.*
6. Section transverse de la plèvre gauche.
7. Section transverse de la plèvre droite.
8. Tête isolée, complète, d'un jeune individu. Moule interne. *ibid.*
9. id. vue par le front, et montrant la doublure sous-frontale.
10. id. vue de profil.
11. Pygidium isolé, de moyenne taille. Moule interne à moitié enlevé et laissant voir l'impression de la doublure. *ibid.*
12. id. vu de profil.
13. Fragment d'un autre pygidium grossi et qui permet de distinguer le test, le moule interne et l'impression de la doublure. *ibid.*
14. Section transverse du pygidium fig. 11. montrant la symétrie complète de la doublure, par rapport au test. Comparer avec la fig. 13.
15. Pygidium de la plus grande taille. Moule interne. *ibid.*
16. id. section longitudinale suivant l'axe.
- 17.) Hypostôme d'un adulte, vu de face et de profil. *ibid.*
- 18.)
19. Hypostôme d'un individu de petite taille. *ibid.*
20. Pygidium d'un jeune individu, conservant son test, assez fortement strié. *ibid.*
21. id. section longitudinale.

Fig.

Page—Étage.

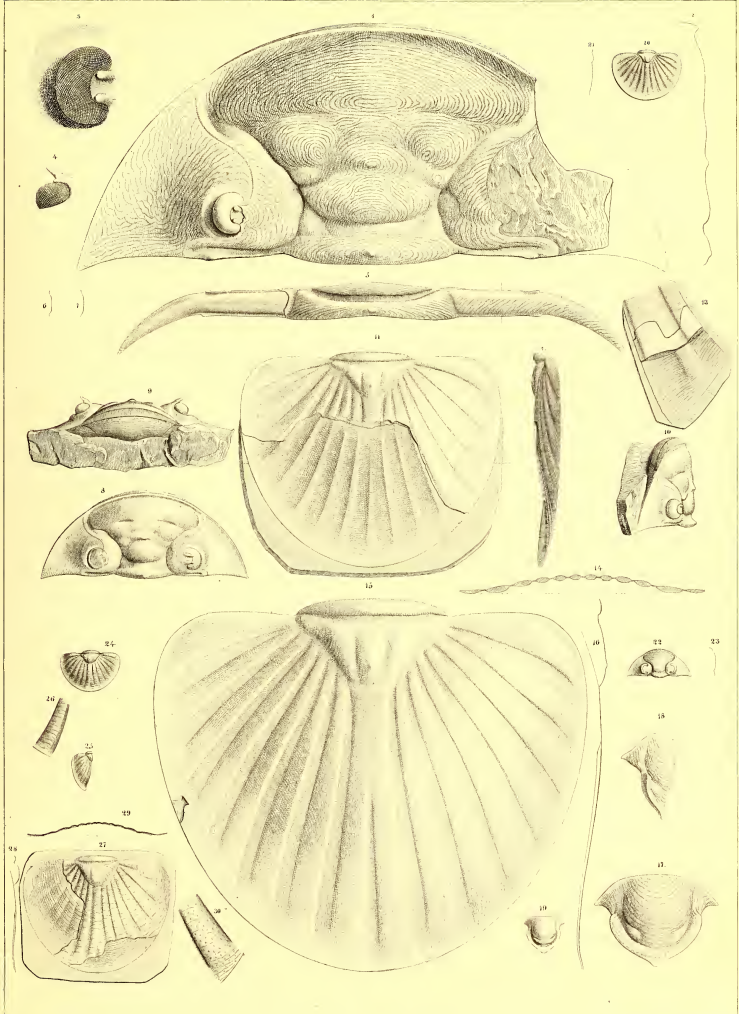
Bronteus Zappei. Barr. . . . 849—F

22. Tête isolée, conservant son test. *Konieprus.*
23. id. section longitudinale.
24. Pygidium isolé, conservant son test. *ibid.*
25. id. vu de profil.
26. Une côte grossie, pour montrer les ornemens du test.

Bronteus angusticeps. Barr.

(voir Pl. 47.) . 873—F

27. Pygidium isolé, adulte, montrant en partie la paroi du test, et en partie l'impression de la doublure. *Mnienian.*
28. id. section longitudinale.
29. id. section transverse, dans laquelle on voit que la surface de la doublure suit à peu-près celle du test.
30. Fragment du pygidium grossi, pour montrer les ornemens de la surface.



- Fig. Page—Étage.
- Bronteus Bronquiarti.** Barr. 866 $\left\{ \begin{array}{l} F \\ G \end{array} \right.$
1. Individu de petite taille, presque complet, ayant 10 segmens au thorax et conservant une partie de son test. *M^u. Danily près Tetin. G.*
 2. id vu de profil.
 3. Segment thoracique grossi (2).
 4. Pygidium isolé, de la plus grande taille, sur lequel on distingue: **a.** partie du test. — **b.** impression de la paroi interne du test dorsal, portion sans doublure. — **c.** impression du test dorsal sur la roche remplissant le vide entre ce test et sa doublure. — **d.** impression de la doublure, montrant les stries qui ornent celles-ci.
 5. id. vu de profil. Les lettres reproduisent les indications expliquées pour la fig. 4. — *Lužets G.*
 6. Pygidium isolé; jeune âge. On voit l'impression de la doublure à droite. *Tetin. G.*
 7. Tête vue par dessous, montrant la doublure sous-frontale, le sommet de la grande suture et les sutures de jonction jumelles. *ibid.*
 8. Fragment de la glabelle d'un exemplaire non figuré, montrant les ornemens du test; grossi (2.) *ibid.*
 9. Oeil grossi (3) d'après un individu non figuré. *ibid.*
 10. Fragment de la tête et du thorax, conservé avec le test; vu de profil. *Lužets G.*
 11. id. vu par le dos.
 12. id. vu par le front.

Bronteus pustulatus. Barr.(voir Pl. 48.) 889 $\left\{ \begin{array}{l} F \\ G \end{array} \right.$

13. Tête isolée, dépourvue de ses joues mobiles, conservant son test. *M^u. Danily près Tetin. G.*

Bronteus formosus. Barr.

(voir Pl. 47.) . 851—G

14. Pygidium isolé, de taille moyenne, conservant son test. *Duoretz.*

Bronteus porosus. Barr.

(voir Pl. 48.) . 885—G

15. Pygidium isolé, conservant son test. *M^u. Danily près Tetin.*
16. id. vu de profil.
17. Pygidium isolé, de la plus grande taille, conservant une partie du test et montrant l'impression de la doublure à droite, *ibid.*
18. Fragment grossi pour montrer les ornemens du test.

- Fig. Page—Étage.
- Bronteus Partschi.** Barr. . . 870—E
19. Individu adulte, presque complet, ayant 10 segmens au thorax, conservant son test, et montrant l'impression de la doublure, sous la joue, et sous le pygidium, à droite; grossi ($\frac{1}{3}$). *Dlauha Hora.*
 20. id. profil longitudinal.
 21. Jeune individu, incomplet, mais ayant 10 segmens thoraciques et conservant son test. *ibid.*
 22. Tête adulte, dépourvue des joues mobiles, conservée avec son test. *ibid.*
 23. Tête de la plus grande taille, dépourvue des joues mobiles. Les sillons de la glabelle sont très-prononcés, ainsi que les stries qui ornent le test. *Wohrada.*
 24. id. profil longitudinal.
 25. Joue mobile isolée, portant l'oeil, dont les lentilles offrent un relief prononcé. *Wohrada.*
 26. Hypostôme vu de face. *Dlauha Hora.* Cette pièce pourrait aussi appartenir à *Br. Haidingeri*, qui se trouve dans la même localité.
 27. Pygidium isolé, adulte, conservant son test strié. *Dlauha Hora.*
 28. id. vu du profil.
 29. Fragment grossi, pour montrer les ornemens du test.
 30. Segment thoracique grossi (3).
 31. Fragment du thorax avec le pygidium, montrant l'impression de la doublure, sous ces deux parties du corps. *Tachlowitz.*

Bronteus Haidingeri. Barr. 875—E

32. Individu presque complet, un peu restauré et redressé, conservant son test et montrant 10 segmens au thorax. — Impression de la doublure sous la joue gauche et sous le pygidium à droite, grossi ($\frac{1}{3}$) *Dlauha Hora.* (*Coll. Haute.*)
33. id. profil longitudinal.
34. Tête adulte, conservant son test, et dépourvue des joues mobiles. Les pointes palpébrales et occipitales ont été restaurées, d'après d'autres exemplaires.
35. id. profil longitudinal.
36. Pygidium isolé, de taille moyenne, conservé avec son test. *Dlauha Hora.*
37. Segment thoracique grossi (3).
38. Pygidium isolé, de la plus grande taille, montrant les stries et la granulation coexistantes. *Dlauha Hora.*
39. id. vu de profil, montrant la courbure particulière que prend cette espèce, dans l'âge adulte.

Bronteus caelebs. Barr.

(voir Pl. 44.) . 850—F

40. Fragment de la tête, conservant une partie de son test. *Konieprus.*
41. id. profil longitudinal.
42. Pygidium isolé, de la plus grande taille, conservant son test. *Konieprus.*
43. id vu de profil.

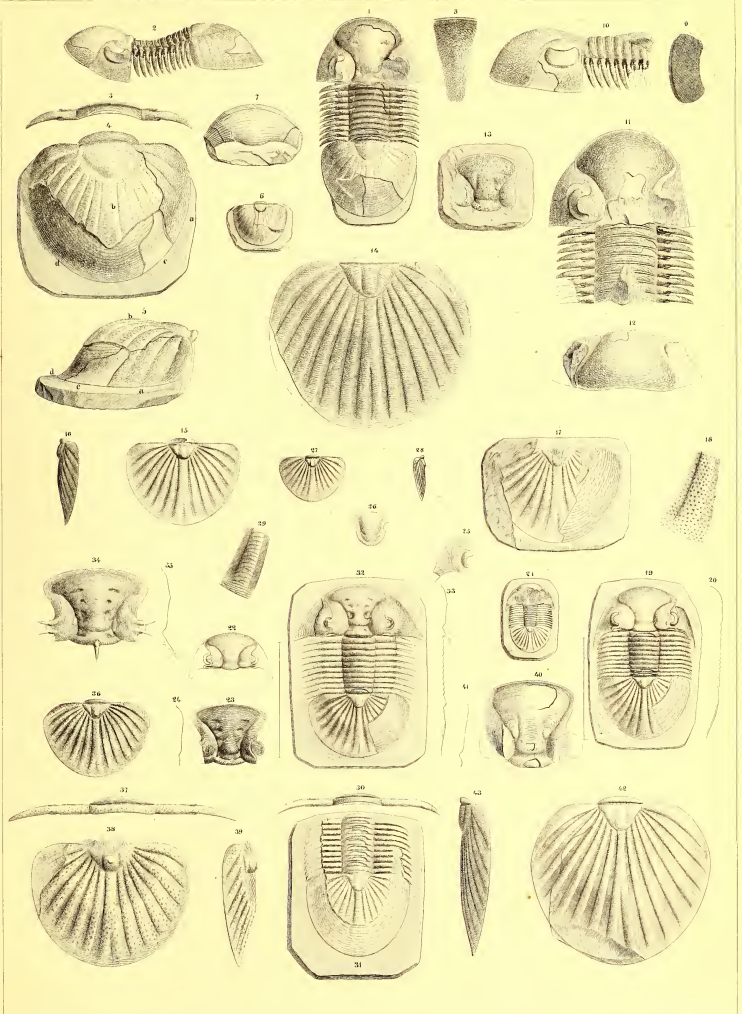


Fig. **Bronteus formosus.** Barr. Page—Étage. (voir Pl. 46.) . 851—G

1. Individu jeune, presque complet, conservant une partie de son test, et montrant 10 segments au thorax. *Dworetz. (Coll. Hawle.)*
2. id. profil longitudinal, suivant l'axe.
3. Segment grossi (3).
4. Pygidium isolé, adulte, forme large, conservant son test. *Valton de Stvenetz.*
5. id. profil longitudinal.

Bronteus thysanopeltis. Barr. 843—F

6. Tête dépourvue des joues mobiles, et conservant son test. *Konieprus.*
7. Pygidium isolé, forme longue, conservant la plus grande partie de son test. *ibid.*
8. Profil longitudinal du Trilobite supposé complet.
9. Oeil grossi (3). *ibid.*
10. Joue mobile isolée, conservée avec son test et portant l'oeil. *ibid.*
11. Pygidium isolé, forme longue, conservant la presque totalité de son test. *ibid.*
12. Pygidium isolé, montrant l'impression de la doublure du test, dans presque toute son étendue. *ibid.*

Bront. acanthopeltis Schmur, récemment découvert dans l'Eifel par le Prof. Schmur de Trèves, offre la plus grande analogie avec *Bront. thysanopeltis*. Il se distingue cependant, par un nombre moitié moindre de pointes autour du pygidium. C'est ce que nous reconnaissons, d'après l'empreinte que M. le Prof. Schmur a eu la bonté de nous envoyer, depuis que notre texte est imprimé.

Bronteus oblongus. Cord. . 853—F

13. Tête isolée, presque complète, et conservant son test. *Muicnian. (Coll. Hawle.)*
14. Pygidium isolé, complet, conservant son test. *ibid.*
15. Profil longitudinal du Trilobite supposé complet.
16. Hypostôme. *ibid.*
17. Fragment du pygidium, grossi, montrant les ornemens.

Bronteus elator. Barr. . . . 856 ^F/_G

18. Tête dépourvue de ses joues mobiles et conservant son test. *Muicnian. F. (Coll. Hawle.)*
19. id. profil longitudinal.
20. Pygidium isolé, conservant en partie son test, et montrant l'impression de la doublure. *ibid.*
21. id. profil longitudinal.
22. Fragment du pygidium, grossi, montrant les ornemens.

Fig. **Bronteus angusticeps.** Barr. Page—Étage. (voir Pl. 45) . 873—F

23. Tête dépourvue des joues mobiles et conservant son test. La glabelle porte un fort tubercule entre les lobes antérieurs. *Muicnian.*
24. id. Profil longitudinal.
25. Pygidium incomplet, conservant son test. *Muicnian.*
26. id. Profil longitudinal.
27. id. Fragment grossi pour montrer les ornemens de la surface.

Bronteus angusticeps. Barr. 874—F
Var. inermis.

28. Tête dépourvue des joues mobiles et conservant son test. Le tubercule entre les lobes antérieurs de la glabelle est effacé. *Muicnian.*
29. id. Profil longitudinal.
30. Tête dépourvue des joues mobiles et en grande partie dépourvue du test. Elle ne montre aucun tubercule entre les lobes antérieurs de la glabelle. *Muicnian.*
31. id. Profil longitudinal.

Bronteus Kutorgai. Barr. . . 854—F

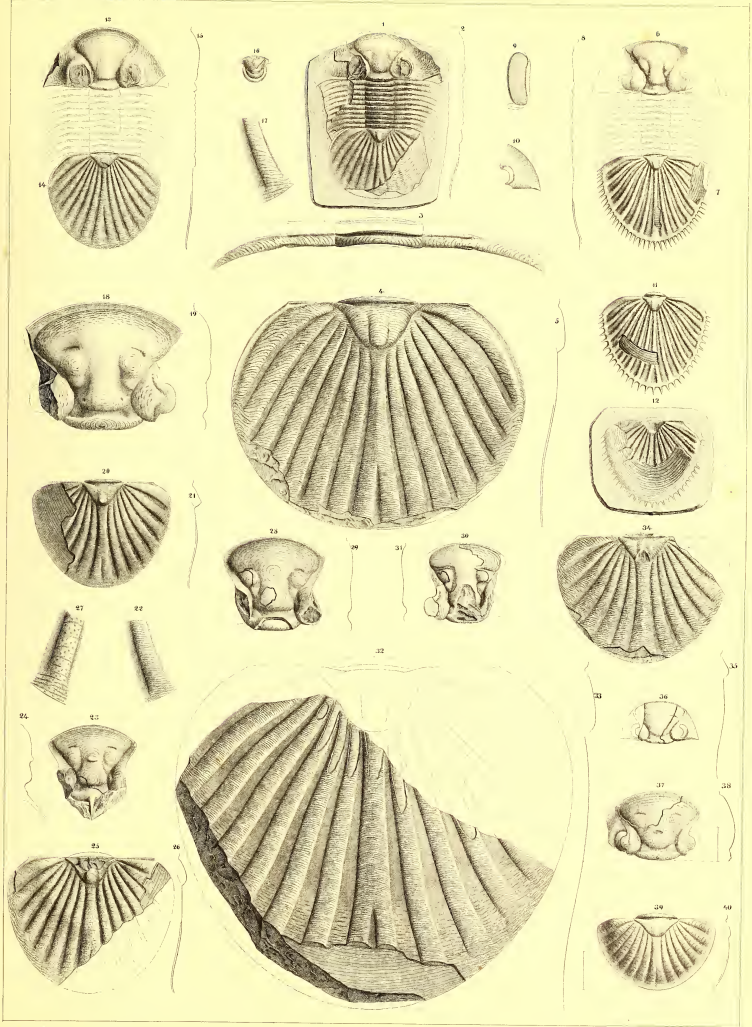
32. Fragment du pygidium, conservant son test, et montrant une partie de l'impression de la doublure. *Burbovitz.*
33. id. Profil longitudinal du pygidium supposé complet.

Bronteus transversus. Barr. . 855—F

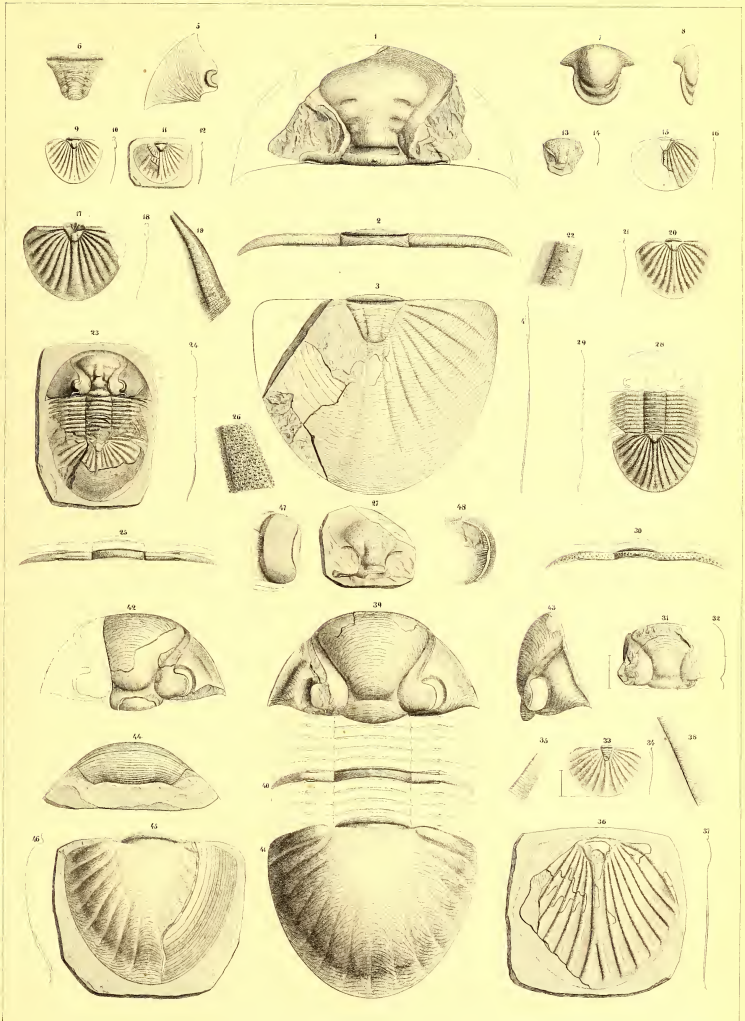
34. Pygidium incomplet, conservant son test. *Muicnian.*
35. id. Profil longitudinal.

Bronteus tenellus. Barr. . . 869—F

36. Tête incomplète, conservant une partie de son test. *Konieprus.*
37. Tête dépourvue des joues mobiles et conservant une partie de son test, grossie (2) *ibid.*
38. id. profil longitudinal.
39. Pygidium isolé, revêtu de son test, rossi (2) *ibid.*
40. id. Profil longitudinal.

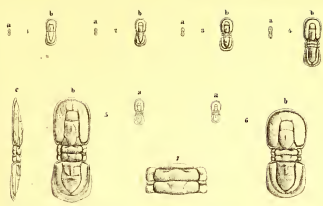


- | Fig. | Page—Étag. | Fig. | Page—Étag. |
|------|--|------|--|
| | Bronteus planus. Corda.
(Voir Pl. 42.) . 863—E | | Bronteus infaustus. Barr. . 887—G |
| 1. | Tête adulte, dépourvue des joues mobiles et conservant son test. <i>Rochers de Kozel.</i> | 27. | Fragment de la tête, conservant une partie de son test. <i>Dvoretz. (Coll. Hawle.)</i> |
| 2. | Segment thoracique isolé. <i>Environs de Sedletz.</i> | | Bronteus umbellifer. Beyr.
(voir Pl. 44.) . 879—F |
| 3. | Pygidium de la plus grande taille connue, montrant une partie de l'impression de la doublure, à gauche. <i>ibid.</i> | 28. | Fragment d'un individu de petite taille, montrant 10 segmens au thorax, et conservant son test. <i>Valton de Slivenetz.</i> |
| 4. | id. profil longitudinal, suivant l'axe. | 29. | id. profil longitudinal. |
| 5. | Joue mobile isolée, portant l'oeil, et conservant son test. <i>ibid.</i> | 30. | Segment grossi (2) et montrant la granulation. |
| 6. | Axe du pygidium, isolé, conservant son test, et montrant les traces de la segmentation. <i>ibid.</i> | | Bronteus simulans. Barr. . 862—E |
| 7.) | Hypostôme isolé, vu de face et de profil. <i>Lodenitz.</i> | 31. | Fragment de la tête, conservant son test. <i>Collines de Listice. (Coll. Hawle.)</i> |
| 8.) | | 32. | id. profil longitudinal. |
| | Bronteus Sieberi. Corda. . . 842—F | 33. | Pygidium isolé, conservant son test, et montrant les traces de la segmentation sur l'axe. <i>ibid. (Coll. Hawle.)</i> |
| 9. | Pygidium adulte, forme longue, conservant son test. <i>Konieprus.</i> | 34. | id. profil longitudinal. |
| 10. | id. profil longitudinal. | 35. | Une côte grossie, pour faire voir les ornemens. |
| 11. | Pygidium adulte, forme large, montrant une partie de l'impression de la doublure. <i>ibid.</i> | | Bronteus furcifer. Cord. . . 858—G |
| 12. | id. profil longitudinal. | 36. | Pygidium isolé, conservant une partie de son test. <i>Wiskocitka? (Musée Bohême.)</i> |
| | Bronteus pustulatus. Barr.
(voir Pl. 46.) . 889 ^(F) / _(G) | 37. | id. profil longitudinal. |
| 13. | Glabelle d'un jeune individu, moule interne. <i>Stichov près Prague, Étag F. (Musée Bohême.)</i> | 38. | Côte du pygidium grossie, pour faire voir les ornemens du test. |
| 14. | id. profil longitudinal. | | Bronteus Dormitzeri. Barr. 847—F |
| 15. | Pygidium d'un individu de moyenne taille, conservant une partie du test. <i>ibid. (Musée Bohême.)</i> | 39. | Tête isolée, adulte, conservant son test, sur lequel il n'existe aucune trace de lobation. <i>Muienian.</i> |
| 16. | id. profil longitudinal. | 40. | Segment, d'après un fragment du thorax non figuré. <i>ibid. (Coll. Hawle.)</i> |
| | Bronteus mutius. Barr. . . 877—E | 41. | Pygidium adulte, forme large, conservant son test. <i>Muienian.</i> |
| 17. | Pygidium d'un adulte, conservant son test. <i>Butovitz.</i> | 42. | Fragment d'une tête adulte, dépourvue d'une partie du test, et montrant la trace des sillons de la glabelle. <i>ibid.</i> |
| 18. | id. profil longitudinal. | 43. | Tête adulte, vue de profil. (fig. 39). <i>ibid.</i> |
| 19. | Côte du pygidium grossie, pour faire voir les ornemens du test. | 44. | Tête vue par dessous, montrant la doublure sous-frontale et les sutures. <i>Muienian.</i> |
| | Bronteus Richteri. Barr. . . 888—G | 45. | Pygidium isolé, portant une partie du test, et montrant, à droite, l'impression de la doublure. <i>ibid.</i> |
| 20. | Pygidium isolé, conservé avec son test. <i>Lužets.</i> | 46. | id. profil longitudinal. |
| 21. | id. profil longitudinal. | 47. | Oeil grossi (2). <i>ibid.</i> |
| 22. | Côte du pygidium, grossie pour montrer les ornemens, | 48. | Fragment d'un autre oeil, brisé, et montrant la direction des petits prismes qui paraissent correspondre aux lentilles. <i>ibid.</i> |
| | Bronteus porosus. Barr.
(voir Pl. 46) . 885—G | | |
| 23. | Individu adulte, montrant 10 segmens thoraciques, et conservant une partie de son test. On voit l'impression de la doublure. <i>Tetin.</i> | | |
| 24. | id. profil longitudinal. | | |
| 25. | Segment thoracique, grossi (2). <i>ibid.</i> | | |
| 26. | Fragment d'une côte du pygidium, fortement grossi, pour montrer les ornemens du test. | | |

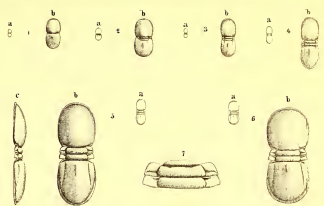


Tous les Trilobites figurés sur cette planche ayant leur test transformé en ocre jaune pulvérulente, on ne voit réellement que leur moule interne. Chacun d'eux est représenté par deux ou trois figures. La fig. **a.** indique la grandeur naturelle; la fig. **b.** correspondante montre le même individu plus ou moins grossi; la fig. **c.**, lorsqu'elle existe, offre la vue de profil, d'un adulte de forme longue. Le tableau suivant renferme toutes les indications nécessaires pour l'intelligence de la Pl. 49.

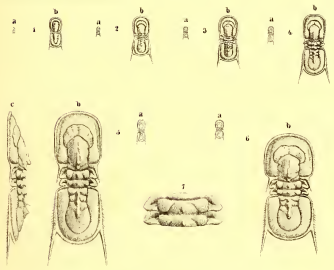
Fig.	Degrés de développement.	Nombre des segmens		Localité.	Observations.	Grossissement.	Page.	Etage.
		soudés	libres					
Agnostus integer. Beyr.								
1	1	0	0	Skrey.	4 fois	900	C
2	2	2	0	ib.	4		
3	3	1	1	ib.	4		
4	4	0	2	ib.	4		
5	5	0	2	ib.	Forme longue.	4		
6	5	0	2	Ginetz.	Forme large.	4		
7	5			Skrey.	Segmens thoraciques.	8		
Agnostus granulatus. Barr.								
1	1	1	0	Skrey.	6	911	C
2	2	2	0	ib.	5		
3	3	1	1	ib.	4		
4	4	0	2	ib.	4		
5	5	0	2	ib.	Forme longue.	6		
6	5	0	2	ib.	Forme large.	6		
7	5			ib.	Segmens thoraciques.	12		
Agnostus nudus. Beyr.								
1	1	0	0	Skrey.	4	903	C
2	2	2	0	ib.	4		
3	3	1	1	ib.	3		
4	4	0	2	ib.	2.5		
5	5	0	2	ib.	Forme longue.	2.5		
6	5	0	2	ib.	Forme large.	2.5		
7	5			ib.	Segmens thoraciques.	5		
Agnostus tardus. Barr.								
1	5	0	2	Libomisehl.	adulte.	2.5	913	D
2	5			ib.	Segm. thoraciques.	5		
3	5			Koenigshof.	Tête isolée.	2		
4	5			ib.	pygidium isolé.	2		
Agnostus bibullatus. Barr.								
1	1	0	0	Skrey.	4	906	C
2	2	2	0	ib.	3		
3	3	1	1	ib.	4		
4	4	0	2	ib.	3		
5	5	0	2	ib.	Forme longue.	4		
6	5	0	2	ib.	Forme large.	4		
7	5			ib.	Segm. thoraciques.	8		
Agnostus rex. Barr.								
1	1	0	0	Skrey.	6	908	C
2	3	1	1	ib.	4		
3	4	0	2	ib.	2		
4	5	0	2	ib.	Forme longue.	2		
5	5	0	2	ib.	Forme large.	2		
6	5			ib.	Segm. thoraciques.	4		
7	5		2	ib.	enroulé.	1		
8	5			ib.	Fragment du limbe montrant la frange.	4		
Hydrocephalus careus. Barr.								
1	1		3	Skrey.	Forme large.	4	377	C
2	2		4	ib.	id.	4		
3	3		5	ib.	id.	4		
4	4		6	ib.	id.	4		
5	5		7	ib.	Forme large.	4		
6	6		8	ib.	id.	4		
7	7		9	ib.	id.	4		
8	13	2	13	ib.	id.	6		
9	13	2	13	ib.	Forme longue.	6		
Hydrocephalus Saturnoides. Barr.								
1	1		2	Skrey.	Forme longue.	7	380	C
2	3		4	ib.	id.	7		
3	4		5	ib.	Forme large.	8		
4	5		6	ib.	id.	8		
5	5		6	ib.	id.	16		



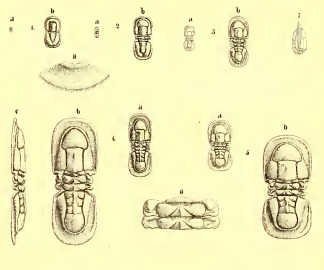
Agn. integer



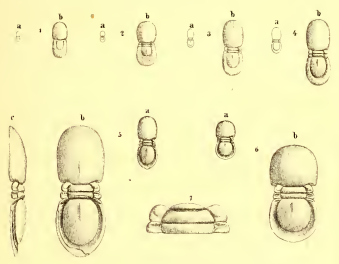
Agn. bilobatus



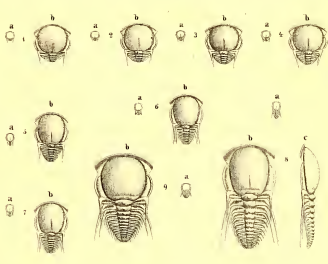
Agn. granulatus



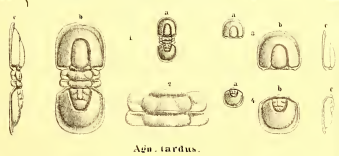
Agn. rex



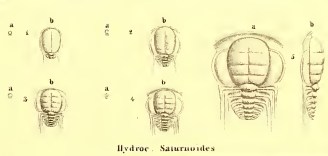
Agn. nudus



Hydroc. carens



Agn. tardus



Hydroc. Saturnoides

T A B L E A U

de la

distribution verticale des espèces de Trilobites, dans les six étages fossilifères du bassin Silurien du centre de la Bohême.

Le tableau qui suit est destiné à remplir un double but. D'abord, il doit montrer, d'un seul coup d'oeil, la distribution des espèces de chaque genre, dans les divers étages de notre bassin. Il servira donc de complément à l'explication de la planche 50, qui va suivre. Nous avons fait imprimer en caractères plus forts celles d'entre les espèces qui jouent un rôle plus important, soit par le nombre des localités où elles se trouvent, soit par la grande fréquence de leurs individus, dans quelques gîtes particuliers. Les espèces reparaisant dans plusieurs étages sont indiquées par des caractères italiques, dans toutes leurs réapparitions. Les numéros d'ordre forment autant de séries qu'il y a de genres.

Le second but que nous nous proposons dans ce tableau, est d'offrir au lecteur une table alphabétique de nos espèces, qui lui permettra de trouver la page et la planche, relatives à chacune d'elles, sans avoir recours à la table générale, placée en tête du volume (texte). Les genres sont ordonnés suivant les groupes d'apparition, indiqués page 282. Cet ordre était indispensable, pour faire reconnaître plus aisément la succession des Faunes dans notre bassin.

Distribution verticale des

Division Silurienne inférieure.

Nos.	GENRES.	Division Silurienne inférieure.												
		A B.		C.		D.		Page.	Planch.					
		Etages azoïques.	Nos.	Faune primordiale.		Page.	Planch.			Nos.	Faune seconde.		Page.	Planch.
1	Paradoxides . . .			1	Bohemicus	367	10							
				2	desideratus	375	12							
				3	expectans	918	13							
				4	imperialis	373	13							
				5	inflatus	372	13							
				6	Lyelli	917	8							
				7	orphanus	373	13							
				8	pusillus	474	13							
				9	rotundatus	371	14							
				10	rugulosus	374	9-13							
				11	Sacheri	369	9							
				12	spinosus	370	12-13							
2	Conocephalites			1	coronatus	424	13							
				2	Emmrichi	428	11							
				3	striatus	426	14-29							
				4	Sulzeri	419	13-26							
3	Ellipsocephalus			1	Germari	415	13							
				2	Hoffi	413	10							
4	Hydrocephalus			1	earens	377	49							
				2	Saturnoides	380	49							
5	Sao			1	hirsuta	384	7							
6	Arionellus			1	ceticephalus	405	10							
7	Agnostus			1	bibullatus	906	49			6	tardus	913	49	
				2	granulatus	911	49							
				3	integer	900	49							
				4	nudus	903	49							
				5	rex	908	49							
8	Amphion					—			1	Lindaueri	820	30		
9	Placoparia					—			1	Zippei	803	29		
10	Homalonotus					—			1	Bohemicus	580	34		
						—			2	rarus	581	29		
11	Asaphus					—			1	ingens	661	33		
						—			2	nobilis	657	31-33		

Distribution verticale des

Division Silurienne inférieure.

Nos.	GENRES.	Division Silurienne inférieure.								
		A.B.	C.			D.		Page.	Planç.	
		Etages azoïques.	Nos.	Faune primordiale.	Page.	Planche.	Nos.			Faune seconde.
12	Trinucleus						1	Bucklandi	621	29-3
							2	Goldfussi	628	30
							3	ornatus	624	29-3
							4	ultimus	631	29
13	Ilacmus						1	distinctus	687	29
							2	Hisingeri	681	29
							3	Panderi	682	30-1
							4	Salteri	685	35
							5	transfuga	688	30
							6	Wahlenbergianus	684	34
14	Acidaspis						1	Buchi	716	36-1
							2	desiderata colonies .	919	36
							3	Keyserlingi	708	36
							4	primordialis	707	37
							5	tremenda	710	37
15	Calymene						1	declinata	570	43
							2	incerta	568	19
							3	parvula	571	19
							4	pulchra	575	19
16	Dalmanites						1	Angelini	918	23
							2	Deshayesi	550	26-1
							3	dubia	551	26
							4	Hawlei	549	26
							5	Morrisiana	559	27
							6	Phillipsi	557	22-1
							7	socialis	552	22-2
							8	solitaria	556	26-2

espèces de Trilobites en Bohême.

Division Silurienne supérieure.

E.			F.			G.			H.		
Faune 3^{me}.			Faune 4^{me}.			Faune 5^{me}.					
Page	Planche.	N ^o .	Page	Planche.	N ^o .	Page	Planche.	N ^o .	Page	Planche.	N ^o .
Bouchardi . . .	689	34									
ardus	691	34									
Normitzeri . . .	728	38	Leonhardi . . .	720	37	30 derelieta . . .	732	37			
Dufrenoyi . . .	741	38	24 Hoernesii . . .	723	38	<i>Hoernesii</i> . . .	723	38			
Reinitziana . . .	725	39	25 laeeralata . . .	746	39	31 monstrosa . . .	750	37			
Viray	751	39	26 Laportei . . .	750	39	32 ruderalis . . .	733	37			
Lawlei	920a	25	<i>radiata</i> . . .	749	39						
Leonhardi . . .	720	37	27 subterarmata .	749	39						
minuta	729	37	28 truncata . . .	747	39						
<i>nira</i>	735	39	29 vesiculosa . . .	715	38						
<i>nectinifera</i> . . .	731	39									
<i>Portlocki</i> . . .	744	38									
<i>Prevosti</i>	739	39									
<i>Propinqua</i> . . .	733	39									
<i>Rebellis</i>	920a	25									
<i>radiata</i>	749	39									
<i>Roemeri</i>	726	39									
<i>solitaria</i>	746	37									
<i>tricornis</i>	745	37									
<i>Verneuili</i>	710	38									
<i>Baylei</i>	573	19-43									
<i>Blumenbachi</i> . . .	566	19-43	<i>Blumenbachi</i> . . .	566	19-43	<i>interjecta</i> . . .	570	19-43			
<i>liademata</i>	567	19	9 interjecta . . .	570	19-43						
<i>enera</i>	574	19									
<i>alba</i>	560	26	10 rugosa	544	23-24	11 auriculata . . .	540	25			
.			12 cristata	546	24-27			
.			13 Fletcheri	547	23			
.			14 Hausmanni	538	24			
.			15 MacCoyi	548	23			
.			16 Reussi	543	25-27			
.			<i>rugosa</i>	544	23-24			
.			17 spinifera	541	25-27			

espèces de Trilobites en Bohême.

Division Silurienne supérieure.

E.			F.			G.			H.		
Faune 3 ^{me} .			Faune 4 ^{me} .			Faune 5 ^{me} .					
Page	Planche.	No.	Page	Planche.	No.	Page	Planche.	No.	Page	Planche.	No.
teyrichi . . .	789	42	14 Cordai . . .	798	40	<i>gibbus</i> . . .	792	41-42	<i>Sternbergi</i> . . .	795	41
ifurcatus . . .	800	41	15 gibbus . . .	792	41-42	17 minutus . . .	800	41			
awlei . . .	787	42	16 pauper . . .	799	41	<i>pauper</i> . . .	799	41			
<i>asignis</i> . . .	782	41	<i>Sternbergi</i> . . .	795	41	<i>Sternbergi</i> . . .	795	41			
btusatus . . .	786	41									
uenstedti . . .	790	40-42									
ternbergi? . . .	795	41									
<i>Konincki</i> . . .	495	18									
titida . . .	498	18									
<i>uirus</i> . . .	808	42									
<i>Barrandeiri</i> . . .	484	18	6 Barrandei . . .	486	18	<i>Barrandei</i> . . .	486	18			
epressa . . .	492	16	7 Cerberus . . .	489	18	9 convexa . . .	490	18			
alli . . .	483	18	8 Davidsoni . . .	490	18						
umillima . . .	492	18									
ovella . . .	491	18									
mbigua . . .	606	28	6 Haueri . . .	604	28	<i>Haueri</i> . . .	604	28			
steroelyta . . .	608	28									
<i>alnata</i> . . .	599	28									
<i>cabra</i> . . .	596	28									
plex . . .	608	28									
ronni . . .	519	20	7 Boecki . . .	513	20	<i>Boecki</i> . . .	513	20	<i>fecundus</i> . . .	514	21
ullicept . . .	527	22	8 breviceps . . .	518	22	<i>Bronni</i> . . .	519	20			
ecundus . . .	514	21	<i>Bronni</i> . . .	519	20	13 cephalotes . . .	509	20			
<i>ilockeri</i> . . .	525	22	9 emarginatus . . .	523	22	<i>fecundus</i> . . .	514	21			
apeziceps . . .	526	22	<i>fecundus</i> . . .	514	21	14 Hoenighausi . . .	522	21			
olborthi . . .	524	23	10 intermedius . . .	511	22	15 Sternbergi . . .	510	20			
.	11 miser . . .	521	23						
.	12 signatus . . .	521	23						

espèces de Trilobites en Bohême.

Division Silurienne supérieure.

E.			F.			G.			H.		
Faune 3 ^{me} .			Faune 4 ^{me} .			Faune 5 ^{me} .					
Page	Planche.	N ^o .	Page	Planche.	N ^o .	Page	Planche.	N ^o .	Page	Planche.	N ^o .
Donaulti . .	637	30									
Beaumonti .	826	43									
Bohemicus .	828	43									
Intercoctatus	824	43									
Transiens . .	828	43									
Forbesi . .	814	39									
Furchisoni .	812	43									
Rassifrons .	354	8	6	Montagnei . .	352	9	8	d'Orbignyanus	355	8	
Maumanni . .	917	8	7	reticulatus . .	353	9					
Angula . . .	347	8-9		venulosus . .	350	8-9					
Enulosus . .	350	8-9									
Attatus . . .	349	9									
Dwardsi . .	882	42	7	angusticeps . .	873	45-47		<i>Brongniarti</i>	866	46	
Saundersi . .	875	46	8	brevifrons . .	886	44	26	formosus . . .	851	46-47	
Antius . . .	877	48	9	Brongniarti .	866	46	27	furcifer . . .	858	48	
Wartschi . .	870	46	10	caelebs . . .	850	44-46	28	infaustus . .	887	48	
Planus . . .	863	42	11	campanifer .	844	44	29	porosus . . .	885	46-48	
Mulans . . .	862	48	12	Dormitzeri .	847	48		pustulatus . .	889	46-48	
			13	elongatus . .	841	44	30	Richteri . . .	888	48	
			14	Hawlei . . .	889	34	31	spinifer . . .	878	42	
			15	Kutorgai . .	854	47					
			16	oblongus . .	853	47					
			17	palifer . . .	859	45					
			18	pustulatus . .	889	46-48					
			19	Sieberi . . .	842	48					
			20	tenellus . . .	869	47					
			21	thysanopeltis	843	47					
			22	transversus .	855	47					
			23	umbellifer . .	879	44-48					
			24	vintor . . .	856	47					
			25	Zippei . . .	849	45					

Distribution verticale des

Division Silurienne inférieure.

N ^o .	GENRES.	Division Silurienne inférieure.								
		A B.		C.		D.		Page.	Planche.	
		Etages azoïques	N ^o .	Faune primordiale.	Page.	N ^o .	Faune seconde			Page.
35	Proctus									
36	Trilobites Genre indéterminé.									
								1 inchoatus.	914	34
								2 musca	914	26
								3 infaustus	915	34
								4 mutilus	915	34





La planche 50 représente d'une manière graphique la distribution verticale des Trilobites en Bohême, sujet que nous avons traité dans le texte de ce volume (p. 281).

La section idéale des étages et formations de notre bassin, servant de base à cette planche, est en harmonie avec celle que nous avons donnée sur la carte (p. 56). Cependant, nous avons été obligé de réduire la puissance des étages de la division inférieure, ou d'exagérer celle des étages de la division supérieure, afin d'avoir l'espace convenable, pour les notations que nous allons expliquer.

Les genres sont disposés par groupes d'apparition, de I à VIII. Chacun d'eux est représenté par une bande réservée en blanc, sur le dessin figurant le terrain. L'étendue de cette bande, à travers les formations, indique la durée de l'existence du genre correspondant. Le nombre absolu de ses espèces, dans chaque étage ou formation, est exprimé par des chiffres, et figuré approximativement par la largeur de la surface laissée en blanc.

D'autres chiffres, placés entre deux crochets, à droite des premiers, indiquent les réapparitions d'espèces déjà existantes dans les formations inférieures. La différence entre ces deux nombres donne le chiffre des espèces exclusivement propres à chaque étage ou formation.

Ces indications ne comprennent pas les Trilobites de genre indéterminé, distribués ainsi qu'il suit.

Étage D	} voir p. 914 à 917.	d. 3 1
		d. 5 3
Étage E	 2
		total 6

Outre les 5 genres dont la première apparition est indiquée dans les colonies, *Cheirusus* y est représenté par une des espèces caractéristiques de la Faune troisième, et *Acidaspis* par une forme également indépendante de la Faune seconde.

La disposition générale du dessin ne nous a pas permis de figurer ces faits, que nous prions le lecteur de remarquer.

La Planche 50 expose clairement les preuves de l'indépendance réciproque des 5 Faunes Trilobitiques, successives, plus ou moins locales, que nous distinguons en Bohême, en montrant, qu'il n'existe entr'elles qu'un petit nombre d'espèces communes, servant à les relier ensemble. La nature particulière des roches qui caractérisent nos divers étages, est en harmonie avec la différence des Faunes appartenant à chacun d'eux. Cependant, pour éviter tout malentendu, nous rappellerons que ces 5 faunes, quoique

distinctes en Bohême, sont loin d'avoir à nos yeux une égale importance. Notre Faune primordiale, si on considère le nombre des genres qui la composent, n'est inférieure à la Faune correspondante d'aucune autre contrée, bien que la Faune primordiale de Suède soit plus riche en espèces. On peut donc considérer notre première Faune, dans son ensemble, comme présentant l'équivalent de toute autre Faune de la même époque. Il en est à peu près de même de notre Faune seconde. Sous le double rapport du nombre des genres et des espèces Trilobitiques, elle est plus riche que la Faune correspondante de tout autre pays, à l'exception peut-être de celle de la Suède, sur laquelle nous manquons encore de documents suffisants. La classe des Crustacés étant la plus importante de cette époque, par son développement et la généralité de sa diffusion sur le globe, il nous semble, que ce fait permet d'envisager notre Faune seconde comme un tout comparable à toutes les autres Faunes de même âge, quoique quelques unes présentent une beaucoup plus grande richesse dans certaines classes, telles que les Céphalopodes et Brachiopodes. Ainsi, les noms de Faune primordiale et seconde, appliqués par nous à Bohême, sembleraient pouvoir s'étendre au monde Silurien. Au contraire, les distinctions que nous établissons dans notre division supérieure, constituent des Faunes qui nous paraissent purement locales. L'ensemble des Faunes 3^{me}, 4^{me} et 5^{me} de notre bassin n'est complètement représenté dans aucune autre contrée, malgré les analogies frappantes qui se manifestent çà et là, sur la surface de la division supérieure connue dans divers pays. Cependant, jusqu'à plus ample information, nous considérerons comme un seul tout, la Faune de notre division supérieure, lorsque nous la comparerons à celle de la division correspondante, dans les régions étrangères. C'est cet ensemble que nous nommons *Faune troisième*, sur la Pl. 51, figurant la distribution verticale des Trilobites dans les terrains paléozoïques.

La grande analogie que présentent les fossiles des étages les plus élevés de notre division supérieure avec ceux qui caractérisent la base des formations Dévonienues de diverses régions, fait sentir la nécessité d'une délimitation bien définie, entre le système Silurien et le Système Dévonien. C'est une question pour la solution de laquelle nous ne connaissons pas encore des documents assez complets. La tribu des Trilobites ne fournissant, vers cette époque, aucun nouveau type générique, ne peut contribuer à cette solution, que par le contraste des formes spécifiques. Nous nous bornons à indiquer, en passant, le groupe de *Dalmanites punctatus*. Stein sp. dont le pygidium est orné de pointes, et qui nous semble caractériser exclusivement les dépôts Dévonienus.

La planche 51 représente, d'une manière graphique, la distribution verticale et horizontale des genres, dans les principales régions paléozoïques.

Le trait noir, qui correspond à chaque genre, indique son extension verticale, à travers les divers systèmes géologiques. — L'épaisseur de ce trait figure approximativement la richesse en espèces, ou le nombre des espèces distinctes dans l'ensemble des contrées décrites. — Le nom de chacune de ces contrées est écrit en travers du trait, de sorte qu'on peut apprécier, d'un seul coup-d'œil, la fréquence géographique des divers genres.

Les principaux faits, que la Pl. 51 permet de saisir, ont été déjà indiqués dans le texte de ce volume (p. 288) et nous prions le lecteur de consulter ce passage, pour compléter l'explication que nous donnons ici.

La puissance moyenne relative des trois systèmes: Silurien, Dévonien et Carbonifère, n'étant pas encore bien déterminée, nous l'avons figurée sur la planche 51, par des proportions idéales. L'étendue verticale relative que nous donnons aux trois Faunes Siluriennes: *primordiale*, *seconde* et *troisième*, sans être parfaitement exacte, ne peut s'éloigner beaucoup de la réalité, qui reste encore à constater.

La séparation tranchée que nous indiquons sur ce tableau, entre la Faune primordiale et la Faune seconde, ne doit pas être considérée comme absolue. Nous avons seulement voulu indiquer, que nous ne connaissons jusqu'à ce jour, soit en Bohême, soit en Suède, aucune espèce Trilobitique commune à ces deux Faunes, entre lesquelles les Crustacés n'établissent, en somme, que des connexions très-peu intimes, par un ou deux genres. Il est très-possible, que ces liens soient multipliés et fortifiés par de nouvelles découvertes, dans l'avenir. En attendant, la disposition de notre planche 51 fait ressortir le contraste jusqu'ici existant entre ces deux Faunes Trilobitiques, tandis qu'elle montre la connexion beaucoup plus forte, établie par un assez grand nombre de genres et par quelques espèces de Trilobites, soit entre la Faune seconde et la Faune troisième, soit entre celle-ci et la Faune Dévonienne. Nous dirons d'ailleurs, en passant, que si l'on considère toutes les familles des fossiles paléozoïques, la somme des liens qu'elles fournissent entre les Faunes primordiale et seconde est encore peu considérable. Cette somme se réduit à la présence commune:

des genres	{	<i>Pugiunculus</i> parmi les Pétropodes	} en	Bohême
		<i>Orthis</i> " " Brachiopodes		
		<i>Sphaerontes?</i> " " Cystidées		
de l'espèce	{	<i>Lingula</i> " " Brachiopodes	} en	Angleterre
		<i>Cruziana</i> " " " "		
		<i>Chondrites</i> " " Plantes		
		<i>Lingula Davisi</i> " " Brachiopodes		

Les indications relatives à l'Angleterre sont dues à M. Salter, qui les a récemment communiquées à la *British Association*, réunie à Belfast. (1852) — Nous ignorons encore, s'il existe entre les Faunes primordiale et seconde de Suède, des connexions établies par des Mollusques ou autres fossiles, en dehors des Trilobites.

Nous ferons remarquer, que la série des 45 genres de Trilobites énumérés dans la Pl. 51, comme dans tous les tableaux de nos études générales, doit éprouver quelques modifications. Elles consistent, dans la suppression de 3 genres que nous avons admis provisoirement, et dans l'addition de quelques genres nouveaux.

1. Les 3 genres qui disparaissent, sont: *Peltara* M. Edw. qui devrait être réintégré parmi les *Olenus* — *Symphysurus* Goldf. que M. Angelin a réuni à *Nileus*, — *Griffithides* Portl. qui nous semble trop peu distinct de *Phillipsia*, pour pouvoir maintenir son indépendance.

2. Divers nouveaux genres paraissent devoir combler ces vides. Le premier, appartenant à la Faune primordiale, compenserait la disparition de *Peltara*. Il comprendrait les Trilobites décrits avec doute par M. Angelin, comme: *Proct? laevis*, *Pr? limbatus*, *Pr? excavatus*, *Pr? difformis*. (*Pal. Suecica*. I.)

Nous laissons à ce savant le soin de nommer et de définir ce nouveau type, dont la découverte est due à ses recherches. C'est aussi à lui de confirmer l'indépendance des deux Types *Eryx* et *Acontheus*, établis dans le même ouvrage, ainsi que l'existence d'un *Amphion* dans la même Faune primordiale.

Deux nouveaux genres, faisant partie de la Faune seconde, en Irlande, ont été récemment annoncés par M. Salter. (*Brit. assoc. 1852*.) L'un, nommé *Stygina*, appartient à la famille des *Asaphus*. Le type historique est *Styg. latifrons* Portl. sp. (As.) qui se distingue en partie du genre *Asaphus*, par le nombre de 9 segments thoraciques au lieu de 8, et sans doute par d'autres caractères, qui nous sont encore inconnus. L'autre type est *Cyphoniscus*, qui nous semble devoir se ranger dans la famille des *Proetus*, d'après le peu de connaissance que nous avons de la seule espèce qu'il comprend jusqu'à ce jour.

En introduisant ces nouveaux types, une fois dûment établis, dans la série des genres composant notre tableau, on voit que les grands traits qu'il est destiné à figurer, ne seront nullement altérés. L'indépendance des Faunes Siluriennes, et leurs connexions réciproques n'éprouvent aucune modification, qui puisse infirmer ce que nous avons dit à ce sujet, au chapitre de la distribution des Trilobites. (p. 288.)

Nous avons l'intention de joindre à l'explication de la Planche 51 une statistique des Trilobites, comprenant toutes les contrées paléozoïques. Ce travail n'a pu être achevé, faute de divers documents, qui nous manquent encore. Il sera joint au *Repertoire des Trilobites* qui sera prochainement publié, comme complément de notre premier volume.

Distribution verticale des Trilobites dans les terrains paléozoïques.

N ^{OS}	Genres.	Système Silurien.				Système Dévonien.	Système Carbonifère.
		Division inférieure.			Div ⁿ supérieure.		
		Base asiatique.	Faune primordiale.	Faune seconde.	Faune troisième.		
1	Paradoxides						
2	Olenus						
3	Peltura						
4	Conocephalites						
5	Ellipsocephalus						
6	Hydrocephalus						
7	Sao						
8	Arionellus						
9	Agnostus						
10	Asaphus						
11	Jlabenus						
12	Trimacrus						
13	Ampyx						
14	Ogygia						
15	Remopleurides						
16	Placoparia						
17	Amphion						
18	Zedus						
19	Aegina						
20	Nileus						
21	Nymphysurus						
22	Dionide						
23	Triarthrus						
24	Teleptus						
25	Bindymene						
26	Dalmania						
27	Cheirurus						
28	Lichas						
29	Calymene						
30	Acidaspis						
31	Homalonotus						
32	Harpes						
33	Bronteus						
34	Phacops						
35	Proetus						
36	Cyphaspis						
37	Éneriurus						
38	Sphaerexochus						
39	Staurocephalus						
40	Archusia						
41	Phillipsia						
42	Cromus						
43	Deiphon						
44	Harpides						
45	Griffithides						

Nombres des genres par

France

(9)

(11)

(70)

(10)

(2)









SMITHSONIAN INSTITUTION LIBRARIES



3 9088 00765 6408